

APPROXIMATION DIOPHANTINNE ET DISTRIBUTION LOCALE SUR UNE SURFACE TORIQUE II

ZHIZHONG HUANG

RÉSUMÉ. Nous étudions la distribution locale des points rationnels de hauteur bornée sur une surface torique, sur laquelle des courbes rationnelles cuspidales et des courbes rationnelles nodales toutes les deux contribuent aux meilleurs approximations en dehors d'un fermé de Zariski. En enlevant une partie mince, nous démontrons qu'il existe une mesure limite et une formule asymptotique pour le grossissement critique. Ceci est une version locale du principe de Batyrev-Manin-Peyre. Nous proposons une formule empirique pour le problème général de distribution locale ainsi que des heuristiques.

TABLE DES MATIÈRES

1. Introduction	2
2. Constante d'approximation et opération de grossissement	6
2.1. Constantes d'approximation et constantes essentielles	6
2.2. Opération de grossissement	7
2.3. Comparaison entre les courbes nodales et les courbes cuspidales	9
3. Géométrie et courbes rationnelles sur Y_3	10
3.1. Géométrie de Y_3	10
3.2. Calcul de hauteur	10
3.3. Symétries	11
3.4. Courbes nodales et courbes cuspidales sur Y_3	11
4. Dédution des constantes d'approximation et majoration naïve	12
4.1. Bornes inférieures uniformes	12
4.2. Constante essentielle	12
4.3. Majoration uniforme	13
5. Paramétrage par des courbes nodales	14
6. Parties minces	15
6.1. Définition	15
6.2. Ensemble mince dans Y_3	16
7. Congruences polynomiales en moyenne et équidistribution, d'après Erdős et Hooley	16
7.1. Ordre Moyen	17
7.2. Équirépartition modulo 1	19
7.3. Cas scindés	20
8. Dénombrement d'approximants	22
8.1. Finitude des paramètres	22
8.2. Réduction aux problèmes de congruences	22
8.3. Région R_1	24
8.4. Décompte de la partie mince	33
9. Perspectives et questions	34
9.1. Lien avec la notion de liberté	34
9.2. Interprétation de la mesure critique	35
Annexe A. Espaces de module des courbes rationnelles et théorie de déformation	35
Annexe B. Courbes rationnelles sur les variétés toriques	37
B.1. Torseur universel et relèvement des courbes rationnelles	37
B.2. Produire des courbes ayant des multiplicités restrictives	38
B.3. Compatibilité avec les exemples	39
Remerciement	45
Références	45

1. INTRODUCTION

Concernant les variétés ayant beaucoup de points rationnels, une question naturelle est combien il y en a de hauteur bornée et comment ils sont distribués. Dans des années 1990, Batyrev et Manin ont conjecturé une formule qui donne une prédiction pour l'ordre de croissance du cardinal de l'ensemble des points de hauteur bornée. Concernant la distribution globale des points rationnels sur X , Peyre a ensuite reformulé et raffiné leur conjecture sous une forme faisant intervenir des mesures, que nous énonçons comme suit. On note $X(\mathcal{A}_{\mathbf{Q}})^{\text{Br}}$ l'ensemble des points adélique de X pour lesquels l'obstruction de Brauer-Manin à l'approximation faible est triviale.

Conjecture 1.1 (Batyrev-Manin-Peyre). *Il existe un ouvert $U \subseteq X$ tel qu'en notant*

$$(1.1) \quad \delta_{U,B} = \sum_{\substack{P \in U(\mathbf{Q}) \\ H(P) \leq B}} \delta_P,$$

on ait

$$\frac{1}{B(\log B)^{\text{rg}(\text{Pic}(X))}} \delta_{U,B} \longrightarrow \mu_X^{\text{Br}}, \quad B \rightarrow \infty$$

au sens de convergence faible pour certaine mesure μ_X^{Br} déduite d'un produit de mesures $\prod_{\nu \in \text{Val}(\mathbf{Q})} \mu_{\nu}$ par restriction à $X(\mathcal{A}_{\mathbf{Q}})^{\text{Br}}$.

Remarquons qu'en fait, la partie ∞ -adique μ_{∞} est une mesure à densité continue relativement à la mesure de Lebesgue sur $X(\mathbf{Q}_{\nu})$. Tandis que la conjecture de Batyrev-Manin est vérifiée pour beaucoup de variétés presque de Fano voire singulières malgré quelques contre-exemples connus, cette conjecture concernant la distribution est rarement abordée dans la littérature, en dehors des cas classiques. Cependant le travail de Batyrev et Tschinkel [3] semble être en faveur d'elle pour les variétés toriques.

Nous nous demandons dans quelle mesure une version plus forte de ce principe soit valide. À savoir pour un ouvert analytique de la variété $D = D(B)$ dont la taille dépend de B , pourrions-nous espérer qu'il existe une mesure μ'_X telle que

$$(1.2) \quad \sum_{P \in D(B) \cap X(\mathbf{Q}) : H(P) \leq B} \delta_P \sim \text{Vol}(D(B)) B(\log B)^{r-1} \mu'_X, \quad B \rightarrow \infty?$$

Une motivation de considérer ce problème est l'étude de la *distribution locale* des points rationnels. Elle fut considérée en premier par S. Pagelot [34], où il a pris pour $D(B)$ des boules de rayon $\asymp B^{-\frac{1}{r}}$ et où il a constaté que la distribution des points autour d'un point rationnel fixé est différente (i.e. la mesure μ'_X) et cette différence n'est pas reflétée par la distribution globale (i.e. la mesure μ_X^{Br}) sur certaines surfaces. Pour établir l'existence de μ'_X , souvent il faut retirer certaines sous-variétés *localement accumulatrices* et bien choisir la constante r . Les travaux de D. McKinnon et M. Roth [31] et [32] sur l'approximation diophantienne sur les variétés fournissent une constante de nature arithmétique et géométrique, appelée *constante d'approximation* et notée α . S. Pagelot définit dans [34] la *constante essentielle* α_{ess} qui caractérise l'approximation diophantienne générique. En prenant r entre α et α_{ess} , nous pouvons récupérer plus d'informations sur la distribution des points rationnels de hauteur bornée qui sont « négligées » dans la considération (1.1). Voir par exemple des explications et des illustrations dans [22].

Dans cet article on considère la surface torique Y_3 d'éventail suivant. Admettant \mathbf{P}^2 et $\mathbf{P}^1 \times \mathbf{P}^1$ comme modèles

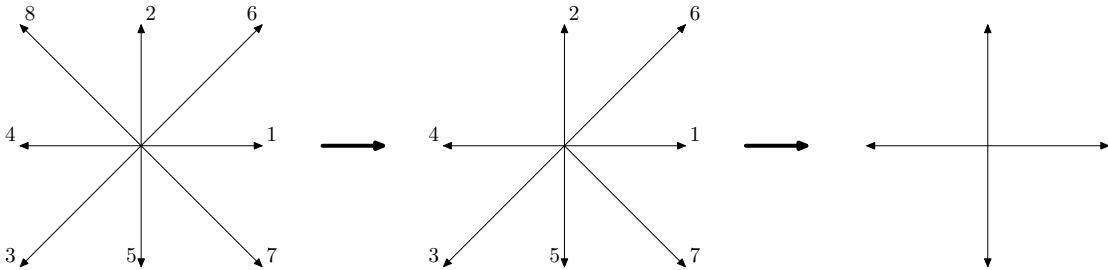


FIGURE 1. Les éventails de Y_4 , Y_3 et $\mathbf{P}^1 \times \mathbf{P}^1$

minimaux, elle est une surface de del Pezzo généralisée (cf. [11]) (c'est-à-dire la désingularisation minimale d'une surface de del Pezzo singulière de degré 5). C'est un fait empirique que la difficulté d'établir l'existence

de la mesure limite augmente lorsque le degré de la surface baisse. Ceci est en parallèle avec la conjecture de Batyrev-Manin sur la répartition globale.

Nous fixons tout au long ce travail le point central $Q = [1 : 1] \times [1 : 1]$. Toutes les constantes d'approximation et tous les degrés seront calculés par rapport au fibré anti-canonique. C'est la première fois que les courbes cuspidales entrent dans l'histoire. Notre premier résultat principal, concernant l'approximation de Q par d'autres points rationnels sur la variété définie sur \mathbf{Q} , énonce qu'avec les courbes nodales qui sont déjà des objets centraux d'étude pour la surface Y_4 [22], elles donnent en même temps des meilleurs approximaants en dehors d'un fermé de Zariski. (cf. Sections 3.4.2, 3.4.3)

Théorème 1.2 (cf. Proposition 4.1, Corollaire 4.3). *Nous avons*

- $\alpha(Q, Y_3) = 2$. Elle s'obtient sur les trois courbes rationnelles lisses l_i , ($1 \leq i \leq 3$) de degré minimal passant par Q . Ces courbes sont localement accumulatrices ;
- $\alpha_{\text{ess}}(Q) = \frac{5}{2}$. Elle peut être calculée sur des courbes nodales et des courbes cuspidales passant par Q .

Les courbes l_i , $1 \leq i \leq 3$ sont en fait les (transformations strictes des) sections de degré $(1, 1)$ joignant Q et l'un des 3 points éclatés dans $\mathbf{P}^1 \times \mathbf{P}^1$ (cf. (3.1)). Il s'en suit que la surface Y_3 vérifie la conjecture de D. McKinnon [31, Conjecture 2.9]. Bien que les courbes nodales et des courbes cuspidales aient la même constante d'approximation, le point Q est approché de nature radicalement différente suivant ce type de courbes (cf. Section 2.3). Le premier type correspond à l'approximation d'un nombre quadratique et le nombre des points rationnels entrant dans le zoom critique est faible. Il n'existe pas de mesure décrivant la distribution locale. Alors que pour le deuxième on approche un point rationnel sur le corps de base \mathbf{Q} . C'est le cas où l'on peut établir l'existence d'une mesure locale limite. Le fait intéressant ici est que les points sur les courbes cuspidales forme une partie *mince* de type II contenu dans un ensemble *semi-algébrique* pour la topologie réelle, qui domine son complémentaire pour le zoom critique. Mais il n'est pas clair *a priori* que les mesures de dimension 1 sur chaque courbe cuspidale se combinent en une mesure de dimension 2. En dépit de la difficulté pour démontrer l'existence de mesure limite au vu du paramétrage donné par des courbes nodales révélée dans [22], nous pouvons néanmoins démontrer l'existence d'une mesure locale pour le zoom critique en retirant cette partie mince. Pour une partie W de Y_3 , nous notons $\{\delta_{W,Q,B,r}\}$ la famille de mesures de zoom de facteur r comptant les points rationnels sur W de hauteur $\leq B$ (cf. §2.2).

Théorème 1.3 (cf. Théorèmes 8.6, 8.14, 8.15). *Soient $Z = \cup_{i=1}^3 l_i$, $U = Y_3 \setminus Z$.*

- (1) *Pour $2 \leq r < \frac{5}{2}$, nous avons*

$$\frac{1}{B^{1-\frac{1}{r}}} \delta_{Y_3, Q, B, r} \rightarrow \delta_r,$$

où δ_r est une mesure de dimension de Hausdorff 1 à support dans Z ;

- (2) *Pour $r = \alpha_{\text{ess}} = \frac{5}{2}$, il existe une partie mince, qui est la réunion de Z du type I et M du type II, telle qu'en notant $V = Y_3 \setminus (Z \cup M)$, nous ayons*

$$\frac{1}{B^{\frac{1}{5}}} \delta_{V, Q, B, \frac{5}{2}} \rightarrow \delta_{\frac{5}{2}},$$

où $\delta_{\frac{5}{2}}$ est une mesure de dimension de Hausdorff 2.

Il n'est pas ardu d'établir une majoration uniforme d'ordre de grandeur $B^{\frac{1}{5}+\delta}$ (cf. Proposition 4.4) pour $r = \frac{5}{2}$. Cependant, démontrer des formules asymptotiques ainsi que la convergences de mesures de zoom est beaucoup plus délicat. Nous renvoyons au théorème 8.6 pour l'énoncé précis sur la forme de la mesure $\delta_{\frac{5}{2}}$ et le terme d'erreur. Mentionnons que cette mesure fait apparaître les trois courbes qui sont localement accumulatrices. Ceci est en fait analogue du résultat pour la surface X_3 (cf. [23]).

Théorème 1.4 (cf. Proposition 8.16, Lemmes 8.17 et 8.18, Corollaire 8.19). *Soit M la partie mince comme ci-dessus. Soit $\chi(\varepsilon)$ la fonction caractéristique de la boule de rayon $\varepsilon > 0$. Nous avons que pour toute C courbe cuspidale,*

$$\delta_{M, Q, B, \frac{5}{2}}(\chi(\varepsilon)) \gg B^{\frac{1}{5}} \delta_C(\chi(\varepsilon)),$$

où δ_C est une mesure de dimension de Hausdorff 1 à support dans C . De plus

$$\delta_{M, Q, B, \frac{5}{2}}(\chi(\varepsilon)) \gg_{\ll \varepsilon} B^{\frac{1}{5}} \log B,$$

pour tout $\varepsilon > 0$ suffisamment grand. En particulier, la partie mince M est localement faiblement accumulatrice.

Les parties minces, dont la contribution a été considérée comme négligeable dans plupart de cas (cf. [39] et [5]), se montre parfois problématique dans le programme de Batyrev-Manin. Elles ont été reconsidérées depuis le premier contre-exemple de V. V. Batyrev et Yu. Tschinkel [2]. Mais c'est rare dans la littérature qu'on soit capable de contrôler le cardinal de la partie obtenue en retirant l'ensemble mince. La seule réussite de ce point de vue est le résultat du Rudulier [28] (cf. aussi [37]) où elle a considéré des schémas de Hilbert des points sur des surfaces. Le théorème ci-dessus montre que les parties minces ont aussi des influences non-négligeables pour le problème de distribution locale. Il nous fournit ainsi un autre exemple sur la gestion de ces ensembles.

L'heuristique directe du principe de Batyrev-Manin-Peyre (1.1) (cf. aussi (2.2.2)) pour le problème (1.2) suggère que le terme principal dans le zoom critique devrait être $B^{\frac{1}{5}}(\log B)^4$. Mais en réalité il est $B^{\frac{1}{5}}$ et donc cette heuristique mérite d'être améliorée. Nous proposons alors, compte tenu des exemples connus, une formule prédisant l'ordre de grandeur de la famille de mesures de zoom. Soit X une « bonne » variété. Nous désignons par $N_1(X)$ le groupe de Chow des 1-cycles modulo l'équivalence algébrique, et par $l(X)$ le rang du sous-groupe de $N_1(X)$ engendré par les classes des courbes rationnelles C vérifiant $\alpha(Q, C) = \alpha_{\text{ess}}$.

Formule Empirique 1.5 (version faible). *En dehors d'une partie mince M , nous avons que pour tout $\varepsilon > 0$,*

$$(1.3) \quad \delta_{X \setminus M, Q, B, \alpha_{\text{ess}}}(\chi(\varepsilon)) = O_\varepsilon \left(B^{1 - \frac{\dim X}{\alpha_{\text{ess}}}} (\log B)^{l(X)-1} \right).$$

Formule Empirique 1.6 (version forte). *Si $\alpha_{\text{ess}} > \dim X$, en dehors d'une partie mince M , nous avons*

$$(1.4) \quad \frac{1}{B^{1 - \frac{\dim X}{\alpha_{\text{ess}}}} (\log B)^{l(X)-1}} \delta_{X \setminus M, Q, B, \alpha_{\text{ess}}} \rightarrow \delta_{\alpha_{\text{ess}}}.$$

Esquissons d'où vient le facteur $l(X) \leq \text{rg}(N_1(X)) = \text{rg Pic}(X)$. Nous verrons dans l'appendice que les surfaces toriques $\mathbf{P}^2, X_1, X_2, X_3, \mathbf{P}^1 \times \mathbf{P}^1, Y_3$ vérifient la formule forte (1.4) hormis Y_4 , la dernière étant toutefois conforme à la formule faible (1.3) (nous avons qu'en fait $\alpha_{\text{ess}}(Q) = \dim Y_4 = 2$ pour Y_4). En effet, pour la surface Y_3 étudiée dans ce papier, toutes telles courbes appartiennent aux classes $m[\omega_{Y_3}^{-1}]$, $m \in \mathbf{N}_{\geq 1}$. Cependant il n'y qu'une seule classe des courbes rationnelles très libres C réalisant $\alpha(Q, C) = \alpha_{\text{ess}}(Q)$ pour les surfaces \mathbf{P}^2, X_1, X_2 . Détaillons la situation pour la surface X_3 étudiée dans [23]. Rappelons qu'elle est l'éclatement de \mathbf{P}^2 en trois points en position générale. Fixons Q un point dans l'orbite ouverte. Nous savons que $\alpha_{\text{ess}}(Q) = 3$ et que la classe C_1 des droites générales et celle C_2 des coniques passant par les trois points éclatés atteignent la constante essentielle. Or les cubiques singulières en Q de degré 6 (comme par exemple les courbes nodales $C_{a,b}$ (3.15) et les courbes cuspidales $R_{a,b}$ (3.13)) passant par les points éclatés contribuent également à $\alpha_{\text{ess}}(Q)$. Mais elles toutes appartiennent à la classe $C_1 + C_2$ ainsi qu'au sous-groupe engendré par C_1 et C_2 . Toutes les courbes qui jouent un rôle dans le zoom critique doivent être des combinaisons positives de C_1 et C_2 . Ceci est similaire à ce qui se passe sur $\mathbf{P}^1 \times \mathbf{P}^1$.

Heuristique géométrique. Pour soutenir ces formules empiriques, nous allons raconter l'analogie géométrique du principe de Batyrev-Manin-Peyre (Conjecture 1.1). Il s'agit d'une sorte de « distribution » des courbes rationnelles sur une variété algébrique. De ce point de vue, cela fournit aussi une interprétation des ordres de grandeur sur B et surtout sur $\log B$. À la lumière d'un théorème de McKinnon (Théorème 2.3), en prenant en compte seulement des courbes ayant des multiplicités suffisamment grandes (moralement elles croissent de façon proportionnelle par rapport au degré), il s'avère que le terme principal indique les ordres de grandeur actuels pour tous les résultats connus. Nous verrons les détails dans la section 2.2.3.

L'interprétation empirique déduites de ces exemples est que pour que la dimension de Hausdorff de la mesure limite du zoom critique soit grande, il faudrait « suffisamment » de familles de courbes rationnelles. En effet, parmi celles qui admettent une mesure limite pour le zoom critique, les surfaces $\mathbf{P}^1 \times \mathbf{P}^1, X_3$ et Y_3 donnent des mesures de dimension de Hausdorff 2. Alors que pour les autres la dimension est 1. Pour $X = \mathbf{P}^2, X_1, X_2$, comme l'a souligné avant, la seule famille de courbes très libre réalisant $\alpha_{\text{ess}}(Q)$ est en fait lisse et *très libres* de degré minimal. Quant à $\mathbf{P}^1 \times \mathbf{P}^1, X_3$ et Y_3 , nous pouvons construire une infinité de familles, dans lesquelles chaque courbe rationnelle donne toujours α_{ess} . Bien entendu le degré augmente autant qu'on veut, de même pour la multiplicité.

Nous manquons encore d'évidences pour dire plus sur le facteur arithmétique qui apparaît dans le terme principal.

Expliquons comment le zoom critique se traduit en des problèmes arithmétiques et comment la partie mince intervient. En considérant une famille de courbes nodales $\{C_{a,b}\}$ de paramètres $(a, b) \in \mathbf{N}_{\text{prem}}^2$, nous sommes amené à considérer les équations de Pell-Fermat

$$ax^2 - by^2 = c, \quad (x, y) \in \mathbf{Z}_{\text{prem}}^2,$$

de sorte que l'application rationnelle

$$\begin{aligned} \mathbf{P}^1 \times \mathbf{P}^1 &\dashrightarrow Y_3 \\ [a : b] \times [x : y] &\longrightarrow C_{a,b} \hookrightarrow Y_3. \end{aligned}$$

donne un paramétrage des points rationnels sur Y_3 par les $C_{a,b}$. L'idée clef ici est que plutôt que de dénombrer les points sur chaque courbe $C_{a,b}$, c'est-à-dire fixer le coupe (a, b) en comptant (x, y) , ce qui était la méthode adoptée dans [22], on compte directement les couples $(a, b) \times (x, y)$.

Plus précisément, il s'avère qu'il faut se concentrer sur les solutions des équations du type comme par exemple,

$$(1.5) \quad ax^2 - by^2 = b - a, \quad b - a \mid x - y, \quad b > a, \quad \text{pgcd}(a, b) = 1,$$

qui équivaut à

$$a(x^2 + 1) = b(y^2 + 1), \quad b - a \mid x - y.$$

Nous en déduisons que

$$a \mid y^2 + 1, \quad b \mid x^2 + 1,$$

puisque $\text{pgcd}(a, b) = 1$. Nous arrivons donc au paramétrage

$$x^2 = bk - 1, \quad y^2 = ak - 1, \quad k \in \mathbf{N},$$

et nous voyons que $\text{pgcd}(x^2 + 1, y^2 + 1) = k = k(x, y)$ et

$$a = \frac{y^2 + 1}{k(x, y)}, \quad b = \frac{x^2 + 1}{k(x, y)}.$$

La condition $b - a \mid x - y$ s'écrit $(x^2 - y^2)/k(x, y) \mid x - y$, qui est équivalente à $x + y \mid k(x, y)$. Alors la résolution de l'équation se transforme en un problème de congruence

$$k(x, y) \equiv 0[x + y] \Leftrightarrow x^2 \equiv y^2 \equiv -1[x + y].$$

Ce dénombrement correspond à un problème de distribution des racines de congruence, pour lequel nous appliquons un résultat de Hooley (cf. [20, Theorem 3], [21, Theorem 2]). La partie mince entre dans cette histoire en changeant le signe de l'équation (1.5) comme suit.

$$ax^2 - by^2 = a - b, \quad b - a \mid x - y, \quad \text{pgcd}(a, b) = 1, \quad b > a.$$

Dans ce cas nous sommes amené au problème de congruence

$$x^2 \equiv y^2 \equiv 1[x + y].$$

Ceci n'est plus quadratique mais linéaire puisque nous avons de manière équivalente,

$$(x + 1)(x - 1) \equiv 0[x + y],$$

qui admet en général plus de solutions.

Organisation du texte. Nous rappelons la définition des constante approximation et de l'opération de zoom dans la section 2. On y trouve aussi une comparaison entre l'heuristique géométrique globale et celle locale (§2.2.3). Une discussion de la géométrie de Y_3 occupe la section 3, où la famille de courbes nodales et celle de courbes cuspidales sont données en détails (§3.4). Nous démontrons le théorème 1.2 dans la section 4 et nous donnons une majoration uniforme naïve (Proposition 4.4) dont la preuve est courte, qui est un résultat plus faible que le théorème 1.3. Nous donnons le paramétrage des points rationnels par les courbes nodales dans la section 5. La définition de la partie mince est ensuite rappelée dans la section 6. En particulier pour la surface Y_3 nous démontrons que l'ensemble des points se situant sur les courbes cuspidales forme une partie mince (§6.2). Dans la section 7, nous réétudions, en suivant Erdős et Hooley, des problèmes de congruence polynomiales dans les cas irréductibles (§7.1) et scindés (§7.3), avec une référence spéciale sur la équirépartition modulo 1 des racines de congruence (§7.2). Le dénombrement se déroule dans la section 8. Nous établissons la convergence vague de la famille de mesures de zoom (§8.3) à condition que la partie mince soit retirée (§8.4). À la fin, quelques perspectives et questions seront discutés. Les appendices contiennent des rappels de faits généraux sur la théorie de déformation (Annexe A) et sur les courbes rationnelles des variétés toriques (Annexe B) et a pour but principal (§B.3) de démontrer la compatibilité des résultats pour les surfaces étudiées auparavant avec les formules 1.3 et 1.4.

Notations : $\mu(\cdot)$ désigne la fonction le Möbius, τ désigne la fonction donnant le nombre de diviseurs. p est réservé pour les nombres premiers, la condition La lettre $p^\nu \parallel n$ signifie que $p^\nu \mid n$ et $p^{\nu+1} \nmid n$. On désigne par $a = \square$ pour un nombre réel a si $\sqrt{a} \in \mathbf{Q}$. Soit $E \subset \mathbf{Z}^n$, on note E_{premier} le sous-ensemble de E définie par

$$E_{\text{premier}} = \{(x_1, \dots, x_n) \in E : \text{pgcd}(x_i, 1 \leq i \leq n) = 1\}.$$

Soient $b, c, m \in \mathbf{Z}$. L'expression $b \equiv c[m]$ signifie que $m \mid b - c$. Définissons une fonction arithmétique $g : \mathbf{N}_{\geq 1} \rightarrow \mathbf{N}_{\geq 1}$ donnée par

$$(1.6) \quad g(n) = \prod_p p^{\lceil \frac{v_p(n)}{2} \rceil}, \quad n \in \mathbf{N}.$$

Pour un intervalle $I \subset \mathbf{R}$, $\mathbf{1}_I(\cdot)$ désigne sa fonction caractéristique.

2. CONSTANTE D'APPROXIMATION ET OPÉRATION DE GROSSISSEMENT

2.1. Constantes d'approximation et constantes essentielles. La notion de constantes d'approximation fut introduite en premier par D. McKinnon dans [31]. Il s'agit d'une généralisation des notions classiques comme mesure d'irrationalité dans l'approximation diophantienne classique. Elle apparaît déjà dans plusieurs problèmes de distribution locale des points rationnels considérés en premier par S. Pagelot dans [34]. Elle est reprise et étudiée systématiquement par D. McKinnon et M. Roth dans [32]. Nous résumons quelques propriétés dont nous aurons besoin ici brièvement et référons le lecteur à [32, §2], [23, §1.1.3] et [22, §2] pour des détails et d'autres propriétés.

Soient X une variété projective irréductible définie sur \mathbf{Q} , $Q \in X(\bar{\mathbf{Q}})$ un point rationnel fixé et L un fibré en droite gros sur X tel qu'il induise une application birationnelle qui est un morphisme sur un ouvert contenant Q . Nous y associons une hauteur de Weil exponentielle H et nous fixons une distance archimédienne $d(\cdot, \cdot)$.

Définition 2.1 (McKinnon-Roth, cf. [22], Définition 2.2). Soit V une partie constructible de X . La constante d'approximation $\alpha(Q, V)$ est le supremum des $\delta > 0$ tels que l'inégalité du type de Liouville suivante

$$\exists C(\delta) > 0, \quad \forall y \in V(\mathbf{Q}) \setminus \{Q\}, \quad d(Q, y)^\delta H(y) > C(\delta),$$

soit valide.

D'après cette définition, la constante $\alpha(Q, V)$ est indépendante du choix de la distance et de la hauteur. Une petite valeur de la constante correspond à de meilleures approximations, contrairement à la mesure d'irrationalité (puisque nous avons déplacé la puissance de la hauteur à la distance).

Définition 2.2 (Pagelot). Soit V une partie constructible de X . La constante essentielle (par rapport à V) est

$$\alpha_{\text{ess}}(Q, V) = \sup_{\substack{Y \subseteq V \text{ partie constructible} \\ \text{dense pour la topologie de Zariski induite}}} \alpha(Q, Y).$$

Par convention, $\alpha_{\text{ess}}(Q) = \alpha_{\text{ess}}(Q, X)$. V est dit *localement accumulateur* s'il vérifie

$$\alpha_{\text{ess}}(Q, V) < \alpha_{\text{ess}}(Q).$$

La constante essentielle mesure donc la constante d'approximation générique en le point Q sur V , et les variétés localement accumulatrices contiennent des points plus proches de Q . Elle peut être utilisée pour interpréter le principe célèbre dans l'approximation diophantienne : toute approximation suffisamment « bonne » (i.e. dont la constante d'approximation est plus petite que la constante essentielle) devrait être faite sur certaines sous-variétés fermées strictes.

Les courbes rationnelles jouent un rôle très important dans l'approximation diophantienne. Leur constantes d'approximation sont calculées de la façon suivante. Elles sont sensibles aux singularités.

Théorème 2.3. Soient C une courbe rationnelle définie sur \mathbf{Q} et L un faisceau inversible ample sur C et $Q \in C(\bar{\mathbf{Q}})$. Soit $\phi : \mathbf{P}^1 \rightarrow C$ le morphisme de normalisation. Alors

$$\alpha(Q, C) = \alpha_{\text{ess}}(Q, C) = \min_{P \in \phi^{-1}(Q)} \frac{d}{m_P r_P},$$

où $d = \deg_C(L)$, m_P est la multiplicité de la branche de C passant par Q correspondant à P et

$$r(P) = \begin{cases} 0 & \text{si } k(P) \not\subset \mathbf{R}; \\ 1 & \text{si } k(P) = \mathbf{Q}; \\ 2 & \text{sinon,} \end{cases}$$

où par convention, $r_P = 0$ signifie que $\frac{d}{m_P r_P} = \infty$.

Nous soulignons ici que ce théorème implique que la seule façon d'augmenter le degré en préservant la constante d'approximation est d'augmenter simultanément *la multiplicité* de la courbe en ce point. Car un point *multiple* donne un certain nombre de branches, ce qui finalement ne contribue qu'à un facteur de division 2.

2.2. Opération de grossissement.

2.2.1. *Énoncé du problème.* On résume la définition de l'opération de zoom. Pour des détails, voir [22, §2.2] On note $C_Q^b(X)$ l'espace vectoriel des fonctions continues à support compact définie sur $(T_Q X)_{\mathbf{R}}$ à valeurs réelles. En ayant fixé un difféomorphisme local

$$\varrho : X(\mathbf{R}) \dashrightarrow (T_Q X)_{\mathbf{R}},$$

pour U une partie constructible de X , la famille de mesures de zoom $\{\delta_{U,Q,B,r}\}$ de facteur r par rapport à U est définie par

$$(2.1) \quad \int f \, d\delta_{U,Q,B,r} = \sum_{x \in U(\mathbf{Q}) : H_L(x) \leq B} f(B^{\frac{1}{r}} \rho(x)), \quad \forall f \in C_Q^b(X).$$

Plus le facteur de zoom r est grand, plus le zoom est faible (c'est-à-dire on compte plus de points). Si $r < \alpha(U, Q)$, alors on a $\delta_{U,Q,B,r} \rightarrow \delta_Q$ la mesure de Dirac concentré sur Q ([22, Proposition 2.8]). Ce zoom est « trop fort ». Supposons que U est un ouvert dense de X tel que

$$\alpha(Q, U) = \alpha_{\text{ess}}(Q) < \infty.$$

Le zoom plus intéressant est appelé *critique* avec le facteur de zoom $r = \alpha_{\text{ess}}(Q)$ car il semble exister souvent un « saut » de dimension du support de mesures de zoom quand le facteur r traverse α_{ess} . On espère aussi que pour $r > \alpha_{\text{ess}}(Q)$, les points se distribuent de façon plus uniforme sans « trou » autour de Q .

Problème 2.4. Existe-t-il $\beta = \beta(r), \gamma = \gamma(r) \geq 0$ et δ_r une mesure sur $(T_Q X)_{\mathbf{R}}$ tels que

$$\frac{\delta_{U,Q,B,r}}{B^{\beta}(\log B)^{\gamma}} \longrightarrow \delta_r$$

au sens de *convergence vague* ?

Remarque 2.5. La formulation de la série (2.1) dépende *a priori* de la hauteur et du difféomorphisme choisis. La dernière est évidemment fonctorielle : un changement d'une carte locale devrait produire une mesure limite qui est la composée de l'ancienne avec cette application. Compte-tenu de tous les exemples connus, le choix d'une hauteur équivalente ne contribue *a posteriori* qu'à une légère modification sur la mesure limite, à savoir *les conditions de seuils*. La partie de densité reste invariante et donc semble être une propriété intrinsèque et géométrique (cf. aussi la discussion dans la section 9)

2.2.2. *Heuristique de Batyrev-Manin.* La conjecture de Batyrev-Manin-Peyre 1.1 donne une prédiction sur les ordres de grandeur β, γ .

$$\begin{aligned} \int \chi(\varepsilon) \, d\delta_{U,Q,B,r} &= \int \chi(\varepsilon B^{-\frac{1}{r}}) \, d\delta_{U,B} \asymp_{\varepsilon} \text{Vol}(\mathbb{B}(0, \varepsilon B^{-\frac{1}{r}})) B(\log B)^{k-1} \\ &\asymp_{\varepsilon} B^{-\frac{n}{r}} \times B(\log B)^{k-1} = B^{1-\frac{n}{r}} (\log B)^{k-1}. \end{aligned}$$

Il se trouve qu'au moins pour $r = \alpha_{\text{ess}}$, la prédiction

$$\beta(\alpha_{\text{ess}}(Q)) = 1 - \frac{n}{\alpha_{\text{ess}}(Q)}$$

est en accord avec tous les exemples connus. Ceci n'est plus le cas pour celle de $\gamma(r)$.

2.2.3. *Heuristique géométrique.* Étant parallèle au principe de Batyrev-Manin pour les variétés définies sur un corps global, sa version géométrique est concernée par la distribution des courbes rationnelles de degré borné sur les variétés, que nous pouvons interpréter comme le dénombrement des points rationnels définis sur la corps de fonction de \mathbf{P}^1 . Ceci fut l'objet d'étude de [36] et [4] (cf. aussi [29]). Étant donnée une « belle » variété X définie sur un corps k , i.e. X lisse, projective, géométriquement intègre, le groupe de Néron-Severi $\text{NS}(X)$ est libre de rang fini avec $\text{rg Pic}(X) = \text{rg NS}(X)$, et le cône $C_{\text{eff}}(X)$ est engendré par un nombre fini de classes de diviseurs effectifs.

Principe géométrique global : On désigne par $\text{Mor}(\mathbf{P}^1, X)$ l'espace des morphismes $\mathbf{P}_k^1 \rightarrow X$. Nous avons $\text{Mor}(\mathbf{P}^1, X)(k) = X(k(\mathbf{P}^1))$.

Pour $y \in \text{NS}(X)^{\vee}$, $d \in \mathbf{N}_{\geq 1}$ et U une partie,

$$\text{Mor}_U(\mathbf{P}^1, X, y) = \{\mathcal{C} \in \text{Mor}(\mathbf{P}^1, X)(k) : \mathbf{P}^1 \rightarrow X : \mathcal{C}_*(\mathbf{P}^1) = y, \text{Im}(\mathcal{C}) \not\subset X \setminus U\},$$

$$\text{Mor}_U(\mathbf{P}^1, X, d) = \{\mathcal{C} \in \text{Mor}(\mathbf{P}^1, X)(k) : \mathbf{P}^1 \rightarrow X : H_{\omega_X^{-1}}(\mathcal{C}) = d, \text{Im}(\mathcal{C}) \not\subset X \setminus U\}.$$

Fixons $q \in \mathbf{R}_{>1}$. Considérons la fonction zêta globale (cf. [29, §6])

$$(2.2) \quad \mathcal{Z}_U(s) = \sum_{d \geq 1} \sum_{\substack{W \text{ comp. irréd. de} \\ \text{Mor}_U(\mathbf{P}^1, X, d)}} q^{-sd + \dim W}.$$

On devrait y penser comme un analogue de la fonction zêta des hauteurs en caractéristique positive (i.e. $k = \mathbf{F}_q$ un corps fini et q une puissance d'un nombre premier) :

$$\sum_{C \in X(k(\mathbf{P}^1))} \frac{1}{H(C)^s},$$

où l'on associe à chaque 1-cycle C la hauteur exponentielle :

$$H_{\omega_X^{-1}}(C) = q^{\deg_{\omega_X^{-1}}(C)}.$$

Supposons que les hypothèses suivantes sont vérifiées :

Hypothèse I : Il existe un partie dense U tel que $X \setminus U$ est une partie mince et pour tout $y \in \text{NS}(X)^\vee \cap \mathcal{C}_{\text{eff}}(X)^\vee$ de degré suffisamment grand, l'espace $\text{Mor}_U(\mathbf{P}^1, X, y)$ est de dimension espérée, i.e.

$$\dim \text{Mor}_U(\mathbf{P}^1, X, y) = \omega_X^{-1} \cdot y + \dim X.$$

Hypothèse II : Le nombre de composantes irréductibles de l'espace $\text{Mor}_U(\mathbf{P}^1, X, d)$ stabilisent pour tout d suffisamment grand. C'est-à-dire

$$\#\{\text{composantes irréductibles de } \text{Mor}_U(\mathbf{P}^1, X, d)\} \sim P(d)$$

pour certain polynôme $P(T) \in \mathbf{R}[T]$, dont le coefficient du terme dominant est noté $c(X) \in \mathbf{R}$. Remarquons que si X est une variété *homogène*, les hypothèses I et II sont vérifiées (cf. [35]). De plus tout $y \in \text{NS}(X)^\vee \cap \mathcal{C}_{\text{eff}}(X)^\vee$ est la classe d'une courbe rationnelle libre. Ceci implique aussi que $\deg P(T) = \text{rg Pic}(X) - 1$.

Avec les hypothèses ci-dessus, on devrait avoir l'estimation suivante du terme principal de (2.2). Pour $\Re(s)$ suffisamment grand, en notant $l_0 = \text{rg Pic}(X)$,

$$\begin{aligned} \mathcal{Z}_U(s) &\sim c(X) \sum_{d \geq 1} q^{-sd} \times q^{d + \dim X} \times d^{l_0 - 1} \\ &= c(X) \sum_{d \geq 1} q^{-(s-1)d + \dim X} d^{l_0 - 1} \\ &= \frac{c(X) q^{\dim X}}{(1 - q^{s-1})^{l_0}} H(s), \end{aligned}$$

où H est une fonction holomorphe en $\Re(s) > \sigma_0 \in]0, 1[$. Ce calcul nous dit que la fonction $\mathcal{Z}_U(s)$ a un pôle d'ordre l_0 en $s = 1$, d'où un raisonnement taubérien implique que *la fonction de comptage associée*

$$\#\{C \in \text{NS}(X)^\vee, q^{\deg_{\omega_X^{-1}}(C)} \leq B\} \sim c'(X) B(\log B)^{l_0 - 1}.$$

Principe géométrique local : Désormais nous basculons vers le sous-espace paramétrant les courbes rationnelles ayant des *multiplicités restrictives*. Nous référons à l'annexe A (Définition A.2) pour les détails. Fixons $Q \in U(k)$. Moralement une courbe $f : \mathbf{P}^1 \rightarrow X$ a la multiplicité *restrictive* $\mathcal{M}_Q^{\text{res}} = N \in \mathbf{N}$ en $Q \in \text{Im}(f)(\bar{k})$ si soit elle est de multiplicité cuspidale N en Q , soit $2 \mid N$ et elle est multi-branchée est en certaines branches Q la multiplicité cuspidale est $\frac{N}{2}$. La raison pour laquelle nous nous bornons à ces types de courbes vient du théorème 2.3. Ce sont les courbes dont le degré divisé par $\mathcal{M}_Q^{\text{res}}$ pourraient atteindre la constante d'approximation plus petite que possible ainsi que entrent dans certain zoom de facteur donné.

Nous considérons

$$\text{Mor}_Q(\mathbf{P}^1, X, d, \mathcal{M}_Q^{\text{res}} \geq N) = \{C \in \text{Mor}_U(\mathbf{P}^1, X, d) : Q \in \text{Im}(C)(\bar{k}), \mathcal{M}_Q^{\text{res}} \geq N\}.$$

Soit $r > 0$, où on devrait penser comme le facteur de zoom donné.

Hypothèse P : Supposons qu'il n'y a pas d'obstruction à la déformation de toute classe de courbes de degré $d \gg 1$ en fixant le point Q et conservant sa multiplicité restrictive. Nous avons d'après le théorème A.1 et la proposition A.3, si $\text{Mor}_Q(\mathbf{P}^1, X, d, \mathcal{M}_Q^{\text{res}} \geq \frac{d}{r}) \neq \emptyset$, il est de dimension espérée

$$\dim \text{Mor}_Q \left(\mathbf{P}^1, X, d, \mathcal{M}_Q^{\text{res}} \geq \frac{d}{r} \right) = d \left(1 - \frac{\dim X}{r} \right) + O(1),$$

où la constante implicite est toujours bornée en terme de la dimension de X

Notons $l_r(X)$ le rang du sous-groupe de $\text{NS}(X)^\vee$ engendré par les classes des courbes dans $\text{Mor}_Q(\mathbf{P}^1, X, d, \mathcal{M}_Q^{\text{res}} \geq \frac{d}{r})$. Supposons de plus que cet espace et sa classe de courbes satisfont à *Hypothèse II'* :

$$\#\{\text{composantes irréductibles de } \text{Mor}_U(\mathbf{P}^1, X, d, \mathcal{M}_Q^{\text{res}} \geq \frac{d}{r})\} \sim R(d), \forall d \gg 1$$

où $R(T) \in \mathbf{R}[T]$ est degré $l_r(X) - 1$. Nous remarquons que le cône engendré par les classes de courbes dans $\text{Mor}_U(\mathbf{P}^1, X, d, \mathcal{M}_Q^{\text{res}} \geq \frac{d}{r})$, $d \geq 1$ est une *face* de dimension $l_r(X)$ du cône polyédral engendré par $y \in \text{NS}(X)^\vee \cap \mathcal{C}_{\text{eff}}(X)^\vee$.

Considérons maintenant la fonction zêta locale

$$(2.3) \quad \mathfrak{Z}_{U,r}(s) = \sum_{d \geq 1} \sum_{\substack{W \text{ comp. irréd. de} \\ \text{Mor}_U(\mathbf{P}^1, X, d, \mathcal{M}_Q^{\text{res}} \geq \frac{d}{r})}} q^{-sd + \dim W}.$$

Nous devrions avoir qu'il existe $e(r, X, q) > 0$ tel que

$$\begin{aligned} \mathfrak{Z}_{U,r}(s) &\sim e(r, X, q) \sum_{d \geq 1} q^{-sd} \times q^{d(1 - \frac{\dim X}{r})} \times d^{l_r - 1} \\ &= e(r, X, q) \sum_{d \geq 1} q^{-d(s-1 + \frac{\dim X}{r})} d^{l_r - 1} \\ &= \frac{e(r, X, q)}{(1 - q^{s-1 + \frac{\dim X}{r}})^{l_r}} G(s), \end{aligned}$$

où $G(s)$ est holomorphe. On en conclut que $\mathfrak{Z}_{U,r}(s)$ devrait admettre un pôle en $s = 1 - \frac{\dim X}{r}$ d'ordre l_r . L'heuristique qu'on obtient de cette estimation est qu'en outre la puissance $1 - \frac{\dim X}{r}$ sur B , celle sur $\log B$ devrait être $l_r(X) - 1$, plus petite que l'exposante $\text{rg Pic}(X) - 1$ provenant de l'heuristique 2.2.2.

2.2.4. Variétés localement faiblement accumultrices. L'opération de zoom permet de détecter des sous-variétés possédant localement beaucoup de points dont le nombre domine celui sur le complémentaire même si leur constantes d'approximation ne soient pas plus petites.

Définition 2.6 ([22], Définition 2.7). Supposons que $\alpha_{\text{ess}}(Q) < \infty$. Un sous-ensemble $W \subset Y_3(\mathbf{Q})$ est dit *localement faiblement accumulateur* si $\alpha_{\text{ess}}(Q, W) = \alpha_{\text{ess}}(Q)$ et qu'il existe un ouvert U dense de X vérifiant $\alpha(Q, U) = \alpha_{\text{ess}}(Q)$ tel que pour toute partie dense V de W (pour la topologie induite) satisfaisant à $\alpha(Q, V) = \alpha_{\text{ess}}(Q)$ et pour tout $\varepsilon > 0$ suffisamment grand, on ait

$$\int \chi(\varepsilon) d\delta_{U \setminus W, Q, B, \alpha_{\text{ess}}(Q)} = o\left(\int \chi(\varepsilon) d\delta_{V, Q, B, \alpha_{\text{ess}}(Q)}\right), \quad B \rightarrow \infty.$$

2.3. Comparaison entre les courbes nodales et les courbes cuspidales. Comparons maintenant le zoom critique pour des courbes nodales et celui pour des courbes cuspidales. Le premier est essentiellement l'approximation des nombres *quadratiques irrationnels* par des nombres rationnels lorsque les tangentes en le point nodal sont irrationnelles. Le théorème classique sur la relation entre la résolution des équations de Pell-Fermat et l'approximation diophantienne des nombres quadratiques (cf. [22, Chapitres 3, 4] pour les détails) nous permet de déduire que les meilleurs approximants s'obtiennent de façon discrète. Mais l'approximation sur les courbes nodales est justement l'approximation des nombre *rationnels* si la tangente en le point de rebroussement est rationnelle. Par simplicité nous prendrons des courbes cubiques affines d'équation simple se plongeant dans \mathbf{P}^2 , toutes les courbes de singularités simples étant homéomorphes localement aux deux cas suivants.

On munit le fibré $\mathcal{O}(1)$ d'une hauteur de Weil absolue exponentielle H . Choisissons le point $Q = [0 : 0 : 1]$ à approcher et définissons la distance

$$d([u : v : w]) = \max\left(\left|\frac{u}{w}\right|, \left|\frac{v}{w}\right|\right).$$

Cas I. Considérons la courbe nodale $\mathcal{C} : y^2 = x^3 + ax^2$ pour $a \in \mathbf{Q}_{\geq 0}$, $a \neq \square$. Les tangentes en points $(0, 0)$ sont de pentes $\pm\sqrt{a}$. Un paramétrage est donné par

$$k \mapsto (k^2 - a, k(k^2 - a)).$$

On voit alors que la distance induite est $|k^2 - a|$, qui est équivalente à

$$\min(|k - \sqrt{a}|, |k + \sqrt{a}|).$$

Donc pour approcher l'origine $(0, 0)$, il faut que k approche $\pm\sqrt{a}$. La constante d'approximation est égale au degré (par rapport à $\mathcal{O}(1)$) divisé par 2 ($r_P = 2, \forall P$ dans le théorème 2.3).

Théorème 2.7 ([22] Théorème 1.3). *Nous avons $\alpha(Q, C) = \alpha_{\text{ess}}(Q, C) = \frac{3}{2}$, et*

$$\delta_{C, Q, \frac{3}{2}, B}(\chi(\varepsilon)) = O_\varepsilon(1).$$

Il n'existe pas de mesure limite sur cette courbe.

Cas II. Considérons la courbe cuspidale $C' : y^2 = x^3$ avec le point de rebroussement de première espèce Q ayant la tangente $y = 0$. Le point de clef est que quand on approche l'origine en suivant cette courbe, la distance diminue à la puissance 2. En effet, le paramétrage usuel pour cette courbe est

$$t \mapsto (t^2, t^3).$$

D'où la distance induite se calcule comme $|t^2|$. La constante d'approximation est alors divisée par 2 ($m_P = 2$ dans le théorème 2.3).

Théorème 2.8 (Pagelot, [34]). *Nous avons $\alpha(Q, C') = \alpha_{\text{ess}}(Q, C') = \frac{3}{2}$ et que*

$$\frac{1}{B^{\frac{3}{4}}} \delta_{C', Q, \frac{3}{2}, B}(\chi(\varepsilon)) \rightarrow \delta_{\frac{3}{2}},$$

une mesure de dimension de Hausdorff 1 à support dans C' .

3. GÉOMÉTRIE ET COURBES RATIONNELLES SUR Y_3

Nous considérons dans cet article la surface torique obtenue en éclatant 3 des 4 points invariants de $\mathbf{P}^1 \times \mathbf{P}^1$. Nous désignerons par Y_3 cette surface puisque Y_4 a été réservée pour la surface étudiée dans [22]. Sans perte de généralité, on peut supposer que Y_3 est l'éclatement en

$$P_1 = [1 : 0] \times [1 : 0], \quad P_2 = [0 : 1] \times [1 : 0], \quad P_3 = [1 : 0] \times [0 : 1].$$

3.1. Géométrie de Y_3 . Nous utilisons les coordonnées $[x : y] \times [s : t]$ de $\mathbf{P}^1 \times \mathbf{P}^1$ pour les points différents de $P_i, 1 \leq i \leq 3$. Rappelons l'éventail de Y_3 (Figure 1). Les relations primitives minimales centrées sont

$$\rho_1 + \rho_4 = 0, \quad \rho_2 + \rho_6 = 0, \quad \rho_3 + \rho_7 = 0.$$

Elles représentent les classes des (transformations strictes des) courbes rationnelles $l_i, 1 \leq i \leq 3$ définies par les équations

$$(3.1) \quad y = x, \quad t = s, \quad yt = xs.$$

On a trois diviseurs exceptionnels $E_i (1 \leq i \leq 3)$. On note $Z = \cup_{i=1}^3 l_i$ et $U = Y_3 \setminus Z$. Le diviseur anti-canonique dans ce cas là est

$$\omega_{Y_3}^{-1} = \mathcal{O}(2, 0) + \mathcal{O}(0, 2) - E_1 - E_2 - E_3,$$

avec une base S de ses sections globales données par

$$(3.2) \quad x^2st, \quad y^2st, \quad t^2xy, \quad s^2xy, \quad xyst, \quad y^2t^2.$$

On identifie localement $T_Q Y_3$ sur la carte $(y \neq 0) \cap (t \neq 0)$ à l'espace affine \mathbf{A}^2 via

$$(3.3) \quad \varrho : [x : y] \times [s : t] \mapsto (w, z) = \left(\frac{x}{y} - 1, \frac{s}{t} - 1 \right),$$

sur lequel on utilise la distance

$$(3.4) \quad d((w, z), \varrho(Q)) = \max(|w|, |z|).$$

La courbe $yt = xs$ s'écrivant $wz + w + z = 0$ (une hyperbole) sous ce difféomorphisme divise \mathbf{A}^2 en deux régions

$$(3.5) \quad R_1 = \{(w, z) : wz + w + z > 0\}, \quad R_2 = \{(w, z) : wz + w + z < 0\}.$$

3.2. Calcul de hauteur. Nous utilisons la hauteur de Weil absolue associée à $\omega_{Y_3}^{-1}$ définie par

$$H(P) = \frac{\max_{f \in S} (|f(P)|)}{\text{pgcd}(f(P), f \in S)}, \quad P \in (Y_3 \setminus \cup_{i=1}^3 E_i)(\mathbf{Q}).$$

Pour un point $P = [x : y] \times [s : t]$ avec

$$\text{pgcd}(x, y) = \text{pgcd}(s, t) = 1,$$

on a

$$(3.6) \quad \begin{aligned} & \text{pgcd}(x^2st, y^2st, t^2xy, s^2xy, xyst, y^2t^2) \\ &= \text{pgcd}(\text{pgcd}(x, s) \text{pgcd}(x, t) \text{pgcd}(y, s) \text{pgcd}(y, t), y^2t^2) \\ &= \text{pgcd}(x, t) \text{pgcd}(y, s) \text{pgcd}(y, t) \end{aligned}$$

3.3. Symétries. De la structure de l'éventail de Y_3 , nous constatons qu'il est symétrique par rapport à la droite engendrée par le 3-ième rayon. Cette surface admet donc l'automorphisme étendant celui de $\mathbf{P}^1 \times \mathbf{P}^1$ s'écrivant en coordonnées homogènes comme suit.

$$(3.7) \quad \Phi : [x : y] \times [s : t] \longmapsto [s : t] \times [x : y].$$

Il fixe le diviseur exceptionnel E_1 et échange E_2 avec E_3 et il préserve le diviseur anti-canonique $\omega_{Y_3}^{-1}$ ainsi que la hauteur associée définie dans la section 3.2. Dans les coordonnées (w, z) (3.3), l'application Φ n'est rien d'autre que la permutation des coordonnées

$$(\varrho \circ \Phi \circ \varrho^{-1})(w, z) = (z, w).$$

Cette symétrie nous permet de se ramener l'étude aux régions

$$(3.8) \quad S_1 = \{(w, z) \in \mathbf{R}^2 : w > 0, z > w\},$$

$$(3.9) \quad S_2 = \{(w, z) \in \mathbf{R}^2 : w < 0, wz + w + z > 0\},$$

$$(3.10) \quad S_3 = \{(w, z) \in \mathbf{R}^2 : w > 0, wz + w + z < 0\},$$

$$(3.11) \quad S_4 = \{(w, z) \in \mathbf{R}^2 : w < 0, z < w\}.$$

On a

$$S_1 \cup S_2 \subset R_1, \quad S_3 \cup S_4 \subset R_2.$$

3.4. Courbes nodales et courbes cuspidales sur Y_3 .

3.4.1. L'espace $\text{Mor}_{5,Q}(\mathbf{P}^1, Y_3)$. On note $\text{Mor}_{5,Q}(\mathbf{P}^1, Y_3)$ l'espace module des courbes rationnelles qui passent par Q de degré anticanonique 5. Il a plusieurs composantes irréductibles. Nous nous intéressons particulièrement à la composante \mathfrak{Mor} qui correspond à la relation

$$\mathcal{P} : \rho_2 + \rho_3 + \rho_4 + \rho_6 + \rho_7 = 0.$$

Notons \mathfrak{Comp} l'image de \mathfrak{Mor} dans $\text{Chow}(X)$. Nous avons

$$\dim \mathfrak{Comp} = \deg_{\omega_{Y_3}^{-1}}(\mathcal{P}) - \dim(\text{Aut}(\mathbf{P}^1)) = 5 - 3 = 2.$$

Ceci dit moralement que les courbes rationnelles appartenant à \mathfrak{Comp} forment une famille de dimension 2. En effet, si l'on considère $H^0(Y_3, \omega_{Y_3}^{-1})$, il contient précisément les sections de $\omega_{\mathbf{P}^1 \times \mathbf{P}^1}^{-1}$ qui s'annule en les points éclatés. Cela impose 3 conditions linéaires et on vérifie donc que

$$\begin{aligned} \dim H^0(Y_3, \omega_{Y_3}^{-1}) &= \dim H^0(\mathbf{P}^1 \times \mathbf{P}^1, \omega_{\mathbf{P}^1 \times \mathbf{P}^1}^{-1}) - 3 \\ &= 3 \times 3 - 3 = 6. \end{aligned}$$

En ajoutant la condition que la courbe passe par Q et soit singulière en Q , on obtient 3 conditions linéaires (dont 2 correspondent à l'annulation des dérivées partielles en Q) de plus sur les coefficients. Notons \mathfrak{V} ce sous-espace de $H^0(Y_3, \omega_{Y_3}^{-1})$. La dimension de la projectivisé $\mathbf{P}(\mathfrak{V})$ est 2. Puisque le lieu des zéros d'une section irréductible devient une équation cubique dans les coordonnées (w, z) , une section irréductible dans \mathfrak{V} définit une courbe cubique singulière en Q , donc rationnelle. Nous identifions donc les courbes dans \mathfrak{Comp} aux membres de $\mathbf{P}(\mathfrak{V})$ qui déterminent les courbes à 3 paramètres $c, d, e \in \mathbf{Z}_{\text{prem}}^3$ d'équations

$$c(y-x)^2st + d(t-s)^2xy + eyt(y-x)(t-s) = 0.$$

Elles correspondent à des courbes cubiques dans les coordonnées (w, z) singulières en Q . L'annulation de la matrice Hessienne donne que les tangentes en Q coïncident si et seulement si $e^2 = 4cd$, ce qui revient à la condition qu'il existe $(a, b) \in \mathbf{Z}_{\text{prem}}^2$ tel que

$$(3.12) \quad c = a^2, \quad d = b^2, \quad e = -2ab.$$

3.4.2. Famille de courbes cuspidales. Nous obtenons donc la famille de courbes cuspidales

$$(3.13) \quad R_{a,b} : b^2(y-x)^2st + a^2(t-s)^2xy - 2abyt(y-x)(t-s) = 0.$$

Dans les coordonnées (w, z) , elles s'écrivent

$$(3.14) \quad (az - bw)^2 + zw(a^2z + b^2w) = 0.$$

Nous avons (rappelons l'automorphisme Φ (3.7)) $\Phi(R_{a,b}) = R_{b,a}$ et la pente de la tangente en $Q = (0, 0)$ est $\frac{b}{a}$. Le paramétrage donné par les paramètres u, v, a, b n'est pas surjectif. L'image est un ensemble *mince* de la région S_2 . Nous en discutons plus loin dans la section 6.

3.4.3. *Famille de courbes nodales.* Si les coefficients c, d, e ne vérifient pas la condition (3.12), nous obtenons en général une famille de courbes nodales à 3 paramètres. Celles qui nous intéressent le plus est la sous-famille suivante, également utilisée pour l'étude de la surface Y_4 dans [22].

$$(3.15) \quad C_{a,b} : axy(s-t)^2 = bst(x-y)^2, \quad (a, b) \in \mathbf{Z}_{\text{prem}}^2.$$

Les tangentes en $Q = [1 : 1] \times [1 : 1]$ ont les pentes $\pm \sqrt{\frac{b}{a}}$. Elles sont donc irrationnelles si et seulement si $ab \neq \square$.

4. DÉDUCTION DES CONSTANTES D'APPROXIMATION ET MAJORATION NAÏVE

4.1. **Bornes inférieures uniformes.** Nous allons démontrer que la meilleure constante d'approximation est 2 par une estimation directe.

Proposition 4.1. *Nous avons*

$$\alpha(Q, Y_3) = 2.$$

Démonstration. Pour $P = [x : y] \times [s : t] \neq Q$, supposons que $s \neq t$. On a alors

$$\begin{aligned} H_{\omega_{Y_3}^{-1}}(P)d(P)^2 &\geq \frac{|t^2xy|}{\text{pgcd}(x, t) \text{pgcd}(y, s) \text{pgcd}(y, t)} \left(\frac{s}{t} - 1\right)^2 \\ &= \frac{|xy|}{\text{pgcd}(x, t) \text{pgcd}(y, s) \text{pgcd}(y, t)} (s-t)^2 \\ &\geq 1. \end{aligned}$$

Cela montre que $\alpha(Q, Y_3) \geq 2$. Mais les droites spéciales $l_i, 1 \leq i \leq 3$ de (3.1) vérifient $\alpha(Q, l_i) = 2$. D'où $\alpha(Q, Y_3) \leq \alpha(Q, l_i) = 2$. Ceci clôt la démonstration. \square

4.2. **Constante essentielle.** Ensuite on déduit une borne inférieure pour les points généraux dans Y_3 . On va l'utiliser pour obtenir la constante essentielle.

Proposition 4.2. *Pour $P = [x : y] \times [s : t]$ n'appartenant pas aux trois droites spéciales, à savoir*

$$(4.1) \quad x \neq y, \quad s \neq t, \quad xs \neq yt,$$

avec

$$d(P) \leq C, \quad C > 0,$$

il existe $D = D(C) > 0$ tel que

$$H_{\omega_{Y_3}^{-1}}(P)d(P)^{\frac{5}{2}} \geq D.$$

Démonstration. Commençons par l'estimation

$$\left| \frac{xs}{yt} - 1 \right| = \left| \frac{x}{y} \left(\frac{s}{t} - 1 \right) + \frac{x}{y} - 1 \right| \leq (2 + C) \max \left(\left| \frac{x}{y} - 1 \right|, \left| \frac{s}{t} - 1 \right| \right) = (2 + C)d(P).$$

Rappelons l'hypothèse (4.1), nous avons alors

$$\begin{aligned} &H_{\omega_{Y_3}^{-1}}(P)d(P)^{\frac{5}{2}} \\ &\geq \frac{|xyst|}{\text{pgcd}(x, t) \text{pgcd}(y, t) \text{pgcd}(y, s)} \left| \frac{y}{x} - 1 \right| \left| \frac{t}{s} - 1 \right| \left| \frac{xs}{yt} - 1 \right|^{\frac{1}{2}} (2 + C)^{-\frac{1}{2}} \\ &= \left(\frac{|y|}{\text{pgcd}(y, t) \text{pgcd}(y, s)} \frac{|t|}{\text{pgcd}(y, t) \text{pgcd}(x, t)} \frac{|yt - xs|}{\text{pgcd}(x, t) \text{pgcd}(y, s)} \right)^{\frac{1}{2}} |x - y||t - s|(2 + C)^{-\frac{1}{2}} \\ &\geq (2 + C)^{-\frac{1}{2}} \end{aligned}$$

\square

Corollaire 4.3. *Nous avons*

$$(4.2) \quad \alpha_{\text{ess}}(Q) = \frac{5}{2}.$$

Les courbes (3.1) sont les variétés localement accumulatrices.

Démonstration. Les courbes nodales $C_{a,b}$, $ab \neq \square$ vérifient $\alpha(C_{a,b}, Q) = \frac{5}{2}$ et leur réunion est dense dans l'ouvert $U = Y_3 \setminus (\cup_{i=1}^3 l_i)$. D'où

$$\alpha_{\text{ess}}(Q) \leq \alpha(Q, C_{a,b}) = \frac{5}{2}.$$

D'après la proposition 4.2, nous savons

$$\alpha_{\text{ess}}(Q) \geq \alpha(Q, U) \geq \frac{5}{2}.$$

Cela démontre (4.2). Alors que les courbes l_i , $1 \leq i \leq 3$ de (3.1) sont lisse et de degré 2 et donc vérifient que $\alpha(Q, l_i) = 2$ (théorème 2.3). \square

4.3. Majoration uniforme. Cette section est consacrée à la démonstration d'une majoration pour le zoom critique, qui est en faveur de l'heuristique de Batyrev-Manin.

Proposition 4.4. *Pour $\varepsilon > 0$ fixé, on a que, pour B suffisamment grand et pour tout $\delta > 0$,*

$$\delta_{U, Q, B, \frac{5}{2}}(\chi(\varepsilon)) \ll_{\delta, \varepsilon} B^{\frac{1}{5} + \delta}.$$

Démonstration. Écrivons la condition de zoom

$$H_{\omega_{Y_3}^{-1}}(P) \leq B, \quad d(P) \ll_{\varepsilon} B^{-\frac{2}{5}}.$$

Introduisons les notations

$$(4.3) \quad e_1 = \text{pgcd}(y, t), \quad e_2 = \text{pgcd}(x, t), \quad e_3 = \text{pgcd}(y, s);$$

$$(4.4) \quad f_1 = \frac{|y|}{e_1 e_3}, \quad f_2 = \frac{|t|}{e_1 e_2}, \quad f_3 = \frac{|yt - xs|}{e_2 e_3};$$

$$(4.5) \quad g_1 = \frac{|x|}{e_2}, \quad g_2 = \frac{|s|}{e_3}.$$

Reprenons la démonstration de la proposition 4.2,

$$1 \gg_{\varepsilon} H_{\omega_{Y_3}^{-1}}(P) d(P)^{\frac{5}{2}} \gg_{\varepsilon} (f_1 f_2 f_3)^{\frac{1}{2}} |x - y| |t - s|.$$

On voit que

$$(4.6) \quad |x - y|, \quad |t - s|, \quad f_1, \quad f_2, \quad f_3 \ll_{\varepsilon} 1.$$

Donc le dénombrement des points $[x : y] \times [s : t]$ est équivalent à celui des paramètres e_1, e_2, e_3, g_1, g_2 . On va en déduire des encadrements des paramètres e_i, g_i , afin de démontrer qu'ayant fixé g_1, g_2, e_1 , il n'y a qu'un nombre fini (dépendant de ε) de choix pour e_2, e_3 .

La condition de zoom

$$\left| \frac{x - y}{y} \right| \ll_{\varepsilon} B^{-\frac{2}{5}}, \quad \left| \frac{s - t}{t} \right| \ll_{\varepsilon} B^{-\frac{2}{5}}$$

implique que

$$(4.7) \quad |t| \gg_{\varepsilon} B^{\frac{2}{5}}, \quad |y| \gg_{\varepsilon} B^{\frac{2}{5}}.$$

D'où l'on déduit

$$(4.8) \quad |s| \gg_{\varepsilon} B^{\frac{2}{5}}, \quad |x| \gg_{\varepsilon} B^{\frac{2}{5}}.$$

La condition que la hauteur soit bornée implique que

$$|xs| e_1^2 e_2 e_3 \leq |xs| f_1 f_2 e_1^2 e_2 e_3 = |xyst| \leq B e_1 e_2 e_3.$$

D'où l'on déduit, grâce à (4.8)

$$(4.9) \quad e_1 \ll_{\varepsilon} B^{\frac{1}{5}}.$$

D'après (4.6),

$$f_3 = \frac{|yt - xs|}{e_2 e_3} = |f_1 f_2 e_1^2 - g_1 g_2| \ll_{\varepsilon} 1,$$

on voit qu'une fois que f_1 et e_1 sont choisis, il n'y a qu'un nombre fini de valeurs possibles pour le produit $g_1 g_2$. Puisque

$$(4.10) \quad \#\{(n_1, n_2) \in \mathbf{N}_{\geq 1}^2 : n_1 n_2 = n\} = \tau(n) = O(n^{\delta})$$

pour tout $\delta > 0$, on a donc démontré qu'ayant fixé f_1, e_1 , le nombre de possibilités pour le couple (g_1, g_2) est $O_{\delta, \varepsilon}(B^\delta)$. Il nous reste à déterminer e_2, e_3 . Soit $C_2(\varepsilon) > 0$ tel que

$$\max(|y - x|, |t - s|) \leq C_2(\varepsilon).$$

Fixons e_1 et f_1 ainsi que g_1 et g_2 . Comme $yt \neq xs$, on a

$$f_1 f_2 e_1^2 \neq g_1 g_2.$$

Démontrons que le cardinal des (e_2, e_3) possibles est majoré par (compte tenu des signes possibles de x, y, s, t)

$$4\#\{(u, v) \in \mathbf{Z}_{\text{prem}}^2 : |ug_1 - f_1 e_1 v| \leq C_2(\varepsilon) \text{ et } |vg_2 - f_2 e_1 u| \leq C_2(\varepsilon)\},$$

où on compte les points primitifs sur un réseau du déterminant $|f_3|$ dans un carré d'aire $4C_2(\varepsilon)^2$ dont l'intérieur contient l'origine. On en conclut qu'il n'y a qu'un nombre fini de choix pour e_2, e_3 une fois que f_1, e_1, g_1, g_2 sont choisis ([18, Lemma 2]). La majoration qui fallait démontrer résulte de (4.6), (4.9) et (4.10). \square

5. PARAMÉTRAGE PAR DES COURBES NODALES

On rappelle brièvement le paramétrage donné par la famille de courbes nodales (3.15) utilisé de manière cruciale dans [22]. L'équation de $C_{a,b}$ s'écrit sous les coordonnées (w, z) comme

$$a(1+w)z^2 = b(1+z)w^2.$$

Le paramétrage rationnel que l'on utilise est (cf. [22, 5.3.1])

$$(5.1) \quad \Psi : [a : b] \times [u : v] \mapsto [x : y] \times [s : t] = \left[\frac{bv(u-v)}{D_1 d_2 d_3} : \frac{u(bv-au)}{D_1 d_2 d_3} \right] \times \left[\frac{au(u-v)}{d_1 D_2 d_3} : \frac{v(bv-au)}{d_1 D_2 d_3} \right],$$

où

$$(5.2) \quad \begin{aligned} d_1 &= \text{pgcd}(u, b), & d_2 &= \text{pgcd}(v, a), & d_3 &= \text{pgcd}(u-v, b-a), \\ D_1 &= \text{pgcd}(u^2, b), & D_2 &= \text{pgcd}(v^2, a). \end{aligned}$$

Nous avons (cf. [22, 5.12])

$$(5.3) \quad \text{pgcd}(x, t) = \frac{v}{d_2}, \quad \text{pgcd}(y, s) = \frac{u}{d_1}, \quad \text{pgcd}(y, t) = \frac{bv-au}{d_1 d_2 d_3}$$

En le composant avec le difféomorphisme ϱ , nous obtenons donc le paramétrage des points dans les régions $S_i, 1 \leq i \leq 4$ comme suit :

$$(5.4) \quad (\varrho \circ \Psi)((a, b) \times (u, v)) = (w, z) = \left(\frac{au^2 - bv^2}{u(bv - au)}, \frac{au^2 - bv^2}{v(bv - au)} \right).$$

En particulier nous voyons que $\frac{z}{w} = \frac{u}{v}$, ce qui signifie que $\frac{u}{v}$ est la pente du point (w, z) .

Soient

$$(5.5) \quad T_1 = \left\{ (a, b) \times (u, v) \in \mathbf{N}_{\text{prem}}^2 \times \mathbf{Z}_{\text{prem}}^2 : b > a > 0, u > v > 0, \sqrt{\frac{b}{a}} < \frac{u}{v} < \frac{b}{a} \right\},$$

$$(5.6) \quad T_2 = \left\{ (a, b) \times (u, v) \in \mathbf{N}_{\text{prem}}^2 \times \mathbf{Z}_{\text{prem}}^2 : b > a > 0, u > -v > 0, -\frac{u}{v} > \sqrt{\frac{b}{a}} \right\},$$

$$(5.7) \quad T_3 = \left\{ (a, b) \times (u, v) \in \mathbf{N}_{\text{prem}}^2 \times \mathbf{Z}_{\text{prem}}^2 : b > a > 0, u > -v > 0, -\frac{u}{v} < \sqrt{\frac{b}{a}} \right\},$$

$$(5.8) \quad T_4 = \left\{ (a, b) \times (u, v) \in \mathbf{N}_{\text{prem}}^2 \times \mathbf{Z}_{\text{prem}}^2 : b > a > 0, u > v > 0, \frac{u}{v} < \sqrt{\frac{b}{a}} \right\},$$

Lemme 5.1. *Pour $P = (a, b) \times (u, v) \in \cup_{i=1}^4 T_i$, nous avons $au^2 - bv^2 < 0$ si et seulement si $P \in T_3 \cup T_4$.*

Démonstration.

$$au^2 - bv^2 < 0 \Leftrightarrow -\sqrt{\frac{b}{a}} < \frac{u}{v} < \sqrt{\frac{b}{a}} \Leftrightarrow (a, b) \times (u, v) \in T_3 \cup T_4.$$

\square

Proposition 5.2. *L'application $\varrho \circ \Psi$ donne une bijection entre l'ensemble T_i et l'ensemble des $(w, z) \in \mathbf{Q}^2$ satisfaisant à $\max(|w|, |z|) < 1$ dans S_i pour tout $1 \leq i \leq 4$.*

Démonstration. (cf. la démonstration du lemme 5.4 dans [22]) Étant donné $(w, z) \in \cup_{i=1}^4 S_i$ tel que $\max(|w|, |z|) < 1$, les égalités

$$(5.9) \quad \frac{b}{a} = \frac{z^2(1+w)}{w^2(1+z)} \quad (> 0), \quad \frac{u}{v} = \frac{z}{w}$$

détermine de façon unique les couples $(a, b) \in \mathbf{N}_{\text{prem}}^2$ et $(u, v) \in (\mathbf{N} \times \mathbf{Z})_{\text{prem}}$. Réciproquement, les égalités dans (5.9) nous permettent de résoudre (w, z) pour $(a, b) \times (u, v) \in \mathbf{N}_{\text{prem}}^2 \times (\mathbf{N} \times \mathbf{Z})_{\text{prem}}$ et la solution est donnée précisément par $\varrho \circ \Psi$ (5.4). De cette manière, nous avons que si $\max(|w|, |z|) < 1$,

$$\begin{aligned} \frac{b}{a} &= \frac{z^2(1+w)}{w^2(1+z)} > 1 \\ \Leftrightarrow (z-w)(z+w+zw) &> 0 \\ \Leftrightarrow z > w \text{ et } z+w+zw > 0 \quad \text{ou} \quad z < w \text{ et } z+w+zw < 0, \\ \Leftrightarrow (z, w) &\in \cup_{i=1}^4 S_i. \end{aligned}$$

De plus,

$$\begin{aligned} (w, z) \in S_1 &\Rightarrow \sqrt{\frac{1+w}{1+z}} \frac{z}{w} < \frac{z}{w} < \frac{z^2(1+w)}{w^2(1+z)} \Leftrightarrow \sqrt{\frac{b}{a}} < \frac{u}{v} < \frac{b}{a}, \\ (w, z) \in S_2 &\Rightarrow \sqrt{\frac{1+w}{1+z}} \left(-\frac{z}{w}\right) < -\frac{z}{w} \Leftrightarrow -\frac{u}{v} > \sqrt{\frac{b}{a}}, \\ (w, z) \in S_3 &\Rightarrow \sqrt{\frac{1+w}{1+z}} \left(-\frac{z}{w}\right) > -\frac{z}{w} > 1 \Leftrightarrow 1 < -\frac{u}{v} < \sqrt{\frac{b}{a}}, \\ (w, z) \in S_4 &\Rightarrow \sqrt{\frac{1+w}{1+z}} \frac{z}{w} > \frac{z}{w} > 1 \Leftrightarrow \sqrt{\frac{b}{a}} > \frac{u}{v} > 1. \end{aligned}$$

Nous avons donc établi

$$\varrho \circ \Psi(T_i) = \{(w, z) \in \mathbf{Q}^2 : (w, z) \in S_i, \max(|w|, |z|) < 1\}.$$

□

La distance (3.4) se calcule sur $\cup_{i=1}^4 S_i$ par

$$(5.10) \quad d((w, z), (0, 0)) = \max \left(\left| \frac{aw^2 - bv^2}{u(bv - au)} \right|, \left| \frac{au^2 - bv^2}{v(bv - au)} \right| \right) = \left| \frac{\frac{u^2}{v^2} - \frac{b}{a}}{\frac{b}{a} - \frac{u}{v}} \right|$$

puisque nous avons supposé $|\frac{b}{a}| > 1$ et d'où $|\frac{u}{v}| = |\frac{z}{w}| > 1$.

6. PARTIES MINCES

6.1. Définition. Des parties minces jouent le rôle dominant dans ce problème de comptage. Le phénomène d'accumulation globale est déjà constaté dans plusieurs travaux. Brièvement ils sont des sous-ensembles accumulateurs (souvent denses) contenant des points de hauteur bornée non-négligeable par rapport au complémentaire. L'énoncé original de Batyrev-Manin nécessite alors de renforcement par des conditions plus fortes (cf. par exemple [37]).

Définition 6.1. (cf. [39] §9.1) Soit V une variété intègre sur \mathbf{Q} . Une *partie mince* M est un sous-ensemble de $V(\mathbf{Q})$ vérifiant qu'il existe une variété X et un morphisme $f : X \rightarrow V$ tels que

- (1) $M \subseteq f(X(\mathbf{Q}))$;
- (2) Le morphisme f est génériquement fini et il n'admet pas de section rationnelle.

Avec toutes ces notations, la partie mince M est dite du *type I* si la fibre générique est vide. Elle est du *type II* si la variété X est intègre et le morphisme f est dominant.

Une partie mince du type I est donc contenue dans l'ensemble des points rationnels d'un fermé de Zariski. Alors que celle du type II est dense dans V pour la topologie de Zariski. En général une partie mince est une réunion finie de celles du type I et II.

6.2. Ensemble mince dans Y_3 . Considérons l'ensemble

$$(6.1) \quad M = \{(w, z) \in \mathbf{Q}^2 : -w - z - wz = \square \neq 0\} \subset S_2.$$

C'est un ensemble se trouvant dans la partie au-dessous de l'hyperbole $wz + w + z = 0$ et dense dans S_2 pour la topologie réelle.

D'après le paramétrage Ψ (5.1),

$$-w - z - wz = \square \Leftrightarrow -\frac{(au^2 - bv^2)(b - a)}{(bv - au)^2} = \square \Leftrightarrow \left(\frac{u^2}{v^2} - \frac{b}{a}\right) \left(1 - \frac{b}{a}\right) = \square,$$

Soit X la sous-variété de $\mathbf{A}_{x_1, x_2, x_3}^3$ d'équation

$$x_3^2 = (x_2^2 - x_1)(1 - x_1).$$

Considérons l'application rationnelle $\pi : X \dashrightarrow Y_3$ donnée par

$$\pi \left(x_1 = \frac{b}{a}, x_2 = \frac{u}{v}, x_3 \right) = \Psi((a, b) \times (u, v)).$$

Elle est donc génériquement de degré 2. Alors nous avons que $M \subset \text{Im}(\pi)(\mathbf{Q})$. D'où M est une partie mince dans Y_3 .

Proposition 6.2. *Un point $P = (w, z) \in \mathbf{Q}^2$ est dans M si et seulement s'il existe une courbe cuspidale $R_{a,b}$ passant par P .*

Démonstration. Une des courbes (3.14), vue comme une équation en $\lambda = \frac{b}{a}$, s'écrit comme

$$(6.2) \quad w^2(1+z)\lambda^2 - 2zw\lambda + z^2(1+w) = 0,$$

avec le discriminant

$$\Delta = 4w^2z^2(1 - (1+w)(1+z)) = -4w^2z^2(wz + w + z).$$

Donc un point $(w, z) \in \mathbf{Q}^2$ est sur $R_{a,b}$ seulement si

$$(6.3) \quad \Delta = \square \Leftrightarrow -(wz + w + z) = \square.$$

Réciproquement, si un point $(w, z) \in M$, alors l'équation (6.2) admet deux solutions rationnelles distinctes, qui correspondent à deux courbes cuspidales passant par M . \square

7. CONGRUENCES POLYNOMIALES EN MOYENNE ET ÉQUIDISTRIBUTION, D'APRÈS ERDÖS ET HOOLEY

Nous considérons ici une version de congruences polynomiales à résidu fixé à la Hooley. Elle diffère de plupart de méthodes utilisées dans le comptage des points entiers sur les toseurs universels principalement pour démontrer la conjecture de Batyrev-Manin-Peyre pour les surfaces de del Pezzo (cf. par exemple [1] et les références là-dedans). Nous serons concerné par des dénombrements analogues au cardinal de l'ensemble des $(l, m) \in \mathbf{N}^2$ tels que

$$(7.1) \quad \lambda_2 B^{\frac{1}{5}} \leq m \leq \lambda_1 B^{\frac{1}{5}}, \quad \tau_2 \leq \frac{l}{m} \leq \tau_1, \quad F(l) \equiv 0[m],$$

où $0 < \lambda_2 < \lambda_1, 0 < \tau_2 < \tau_1 \leq 1$ et $F(X) \in \mathbf{Z}[X]$ est un polynôme de degré ≥ 2 . Nous allons distinguer la discussion en deux cas séparément : $F(X)$ est irréductible ou non dans $\mathbf{Z}[X]$. En particulier au cas où $\deg F(X) = 2$, ceci est distingué par regarder son discriminant $\Delta(f) = \square$ dans \mathbf{Q} ou non.

Étant donné $F(X) \in \mathbf{Z}[X]$, on définit la fonction

$$(7.2) \quad \varrho_F(n) = \#\{0 \leq k \leq n-1 : F(k) \equiv 0[n]\}.$$

C'est une fonction arithmétique multiplicative.

$$\varrho_F(k_1 k_2) = \varrho_F(k_1) \varrho_F(k_2), \quad \text{si } \text{pgcd}(k_1, k_2) = 1.$$

Mais en général elle n'est pas complètement multiplicative. Elle admet la majoration (comme par exemple cf. [15, VIII, 8.4]) que pour certain $A_F > 1$,

$$(7.3) \quad \varrho_F(n) \ll A_F^{\omega(n)} \ll n^\varepsilon, \quad \forall \varepsilon > 0.$$

On y associe la série de Dirichlet (définie pour $\Re(s)$ suffisamment grand)

$$(7.4) \quad D_F(s) = \sum_{n=1}^{\infty} \frac{\varrho_F(n)}{n^s}.$$

7.1. Ordre Moyen. On discute premièrement le cas où $F(X)$ est irréductible sur $\mathbf{Z}[X]$. Une observation qui remonte à Erdős dit que la série $D_F(s)$ se comporte de façon similaire à la fonction zêta de Dedekind associée au corps de nombres engendré par une racine de $F(X)$. En conséquence on en déduit l'ordre moyen de ϱ_F (Proposition 7.1), à l'aide de méthode d'analyse complexe standard.

Lemme 7.1 (Erdős, [13]). *Supposons que $F(X) \in \mathbf{Z}[X]$ est irréductible. Soit θ une racine algébrique de $F(X)$ et notons $K_F = \mathbf{Q}(\theta)$ le corps de nombres qu'il génère. Alors nous avons*

$$D_F(s) = \zeta_{K_F}(s)\Psi(s),$$

où $\zeta_{K_F}(s)$ est la fonction zêta de Dedekind du corps K_F et $\Psi(s)$ est méromorphe et borné en la demi-plan $\Re(s) > \frac{1}{2} + \varepsilon, \forall \varepsilon > 0$. Par conséquent, la série $D_F(s)$ admet un pôle simple en $s = 1$.

Démonstration. (cf. [13], Lemma 10) Notons d_{K_F} le discriminant de l'extension K_F/\mathbf{Q} . Pour tout idéal premier $\mathcal{P} \triangleleft \mathcal{O}_{K_F}$, soit p le nombre premier divisé par \mathcal{P} . On sait qu'il existe $f_{\mathcal{P}} \in \mathbf{N}_{\geq 1}$ tel que

$$N_{K_F/\mathbf{Q}}(\mathcal{P}) = p^{f_{\mathcal{P}}}.$$

Tout d'abord nous rassemblons quelques propriétés basiques de la fonction ϱ_F . Nous avons $\forall p \nmid d_{K_F}$,

$$(1) \quad \varrho_F(p^\nu) = \varrho_F(p), \quad \forall \nu \geq 1;$$

$$(2) \quad \varrho_F(p) = \#\{\mathcal{P} \triangleleft \mathcal{O}_{K_F} : \mathcal{P} \mid p, f_{\mathcal{P}} = 1\} \leq \deg F(X).$$

L'énoncé (1) est classique. Voir par exemple [15, VIII, 8.4]. Le deuxième découle de la factorisation explicite de $F(X) \pmod p$, cf. [27, I, §8].

Rappelons que pour un corps de nombres K , notons $N_{K/\mathbf{Q}}(\cdot)$ la norme de K sur \mathbf{Q} , et la fonction de Dedekind est définie par

$$\zeta_K(s) = \prod_{\mathcal{P} \triangleleft \mathcal{O}_K} (1 - N_{K/\mathbf{Q}}(\mathcal{P})^{-s})^{-1} = \prod_p \prod_{\mathcal{P} \mid p} (1 - N_{K/\mathbf{Q}}(\mathcal{P})^{-s})^{-1},$$

où \mathcal{P} parcourt l'ensemble des idéaux premiers de l'anneau des entiers \mathcal{O}_K .

Écrivons formellement

$$(7.5) \quad D_F(s) = \prod_p A_p(s), \quad A_p(s) = \sum_{n=0}^{\infty} \frac{\varrho_F(p^n)}{p^{ns}}.$$

Définissons maintenant

$$\Psi_1(s) = \prod_{p \mid d_{K_F}} A_p(s) \prod_{\mathcal{P} \mid p} (1 - N_{K/\mathbf{Q}}(\mathcal{P})^{-s}), \quad \Psi_2(s) = \prod_{p \nmid d_{K_F}} A_p(s) \prod_{\mathcal{P} \mid p} (1 - N_{K/\mathbf{Q}}(\mathcal{P})^{-s}).$$

Nous voyons que Ψ_1 est bien holomorphe en $\Re(s) > 0$. Quant à Ψ_2 , d'après (2), en notons

$$\Psi_3(s) = \prod_{p \mid d_{K_F}} \prod_{\mathcal{P} \mid p: f_{\mathcal{P}} \geq 2} (1 - p^{-sf_{\mathcal{P}}})^{-1},$$

qui est évidemment holomorphe, bornée et sans zéros en $\Re(s) > \frac{1}{2} + \varepsilon$, nous avons

$$\begin{aligned} \Psi_2(s) &= \exp \left(\sum_{p \mid d_{K_F}} \left(\log A_p(s) + \sum_{\mathcal{P} \mid p} \log (1 - p^{-sf_{\mathcal{P}}}) \right) \right) \\ &= \exp \left(\sum_{p \mid d_{K_F}} \left(\log \left(1 + \varrho_F(p) \sum_{n=1}^{\infty} p^{-ns} \right) + \varrho_F(p) \log (1 - p^{-s}) + \sum_{\mathcal{P} \mid p: f_{\mathcal{P}} \geq 2} \log (1 - p^{-sf_{\mathcal{P}}}) \right) \right) \\ &= \Psi_3(s)^{-1} \exp \left(\sum_{p \mid d_{K_F}} \left(\log \left(1 + \varrho_F(p) \sum_{n=1}^{\infty} p^{-ns} \right) + \varrho_F(p) \log (1 - p^{-s}) \right) \right) \\ &= \Psi_3(s)^{-1} \exp \left(O \left(\sum_{p \mid d_{K_F}} \frac{\deg F(X)}{p^{2\Re(s)}} \right) \right). \end{aligned}$$

D'où nous déduisons que Ψ_2 est holomorphe et bornée en $\Re(s) > \frac{1}{2} + \varepsilon, \forall \varepsilon > 0$.

Au final observons que

$$D_F(s) = \Psi_1(s)\Psi_2(s)\zeta_{K_F}(s),$$

la fonction $\Psi = \Psi_1\Psi_2$ vérifie bien l'hypothèse souhaitée. \square

Proposition 7.2. *Il existe $\lambda \in]0, 1[$ dépendant du polynôme F tel que*

$$\sum_{n \leq X} \varrho_F(n) = Z_F X + O(X^\lambda),$$

où, avec les notations du lemme 7.1,

$$Z_F = \Psi(1) \lim_{s \rightarrow 1} (s-1) \zeta_{K_F}(s).$$

Démonstration. (cf. aussi [40, Lemma 2.1]) Notons $S(X) = \sum_{n=1}^X \varrho_F(n)$. Nous utilisons la formule de Perron (cf. [6, Lemma 5.4]). Soient $T > 0$ et $0 < a < 1 < b$. Supposons que $X \notin \mathbf{N}$. Soit $\lambda_0 > 0$ tel qu'en notant $\lambda_1 = 1 + \lambda_0, \lambda_2 = 1 - \lambda_0 > \frac{1}{2}$, nous avons

$$\begin{aligned} S(X) &= \frac{1}{2\pi i} \int_{\lambda_1 - iT}^{\lambda_1 + iT} D_F(s) \frac{X^s}{s} ds + O\left(\frac{X^c}{T} + \sum_{aX \leq k \leq bX} \varrho(k) \min\left(1, \frac{1}{T|\log \frac{X}{k}|\right)}\right) \\ &= \frac{1}{2\pi i} \int_{\lambda_1 - iT}^{\lambda_1 + iT} D_F(s) \frac{X^s}{s} ds + O\left(\frac{X^{1+\varepsilon}}{T}\right), \end{aligned}$$

puisque $\varrho_F(k) \ll_\varepsilon k^\varepsilon$ (7.3). D'après le théorème des résidus, en choisissant le rectangle γ joignant les points $\lambda_2 - iT, \lambda_2 + iT, \lambda_1 + iT, \lambda_1 - iT$, nous avons

$$\int_\gamma D_F(s) \frac{X^s}{s} ds = \text{Res}_{s=1} \left(D_F(s) \frac{X^s}{s} \right) = Z_F X.$$

D'après le théorème de Phragmén-Lindelöf ([41, II. Théorème 1.16]) on a l'estimation de sous-convexité suivante. (cf. [41, II §3.4] pour la fonction zêta de Riemann. En général on sait que $|\zeta_K(\frac{1}{2} + it)| \ll |t|^{[K:\mathbf{Q}]/6}$ [16] et la convergence absolue en $\Re(s) > 1$) Il existe $c_0 > 0$ tel que pour tout λ_0 suffisamment petit,

$$\zeta_{K_F}(\sigma + it) \ll_\varepsilon |t|^{c_0(1-\sigma)+\varepsilon}, \quad |t| \geq 1, \sigma \in [\lambda_2, 1].$$

Compte tenu du fait que Ψ est bornée, dans la région contournée par γ , nous obtenons que pour $T \geq 1$,

$$\int_{\lambda_2 \pm iT}^{\lambda_1 \pm iT} \left| \zeta_{K_F}(s) \Psi(s) \frac{X^s}{s} \right| ds \ll_\varepsilon \int_{\lambda_2}^{\lambda_1} \frac{X^\sigma}{T^{1-c_0\lambda_0-\varepsilon}} d\sigma \ll \frac{X^{\lambda_1}}{T^{1-c_0\lambda_0-\varepsilon}},$$

et que

$$\int_{\lambda_2 - iT}^{\lambda_2 + iT} \left| \zeta_{K_F}(s) \Psi(s) \frac{X^s}{s} \right| ds \ll X^{\lambda_2} \int_{-T}^T \frac{|\zeta(\lambda_2 + it)|}{t} dt \ll_\varepsilon X^{\lambda_2} \int_{-T}^T |t|^{c_0\lambda_0-1+\varepsilon} dt \ll_\varepsilon X^{\lambda_2} T^{c_0\lambda_0+\varepsilon}.$$

Nous choisissons $T = X^{\mu_0}$ avec $\mu_0 > 0$ vérifiant

$$\lambda' = \max(\lambda_1 - \mu_0(1 - c_0\lambda_0 - \varepsilon), \lambda_2 + \mu_0(c_0\lambda_0 + \varepsilon)) < 1.$$

Ceci est achevé en prenant λ_0 suffisamment petit, $\varepsilon < \lambda_0$ et

$$\frac{\lambda_0}{1 - \lambda_0(c_0 + 1)} < \mu_0 < \frac{1}{1 + c_0}.$$

En résumé, nous avons démontré que

$$S(X) = Z_F X + O(X^\lambda),$$

où

$$\lambda = \max(\lambda', 1 + \varepsilon - \mu_0) < \max(\lambda', 1 + \lambda_0 - \frac{\lambda_0}{1 - \lambda_0(c_0 + 1)}) < 1.$$

□

Remarque 7.3. Une formule asymptotique pour l'ordre moyen de ϱ_F est également obtenue par Hooley [19], [20] dans le cas quadratique par une méthode concrète mais complètement différente.

7.2. Équirépartition modulo 1. Nous continuons à supposer dans cette section que le polynôme $F(X)$ est irréductible. Hooley [21] a démontré le résultat suivant sur les résidus de congruences polynomiales. Ce théorème a été énoncé pour les polynômes primitifs, mais la même preuve applique pour tous les polynômes non-nécessairement primitifs.

Théorème 7.4 (Hooley [21], Theorem 1). *Soient $X > 1, h \in \mathbf{N}_{\geq 1}, d = \deg F(X) \geq 2$ et*

$$R(h, X) = \sum_{k \leq X} \sum_{\substack{F(v) \equiv 0[k] \\ 0 \leq v \leq k-1}} \exp\left(\frac{2\pi i h v}{k}\right).$$

Alors

$$R(h, X) = O_F\left(\frac{h^{\frac{1}{2}} X (\log \log X)^{\frac{1}{2}(d^2+1)}}{(\log X)^{\delta_d}}\right) \quad \text{où} \quad \delta_d = \frac{d - \sqrt{d}}{d!}.$$

(N.B. Le résultat original de Hooley omet l'ordre de grandeur de h . Mais on le récupère facilement de sa preuve.)

Le but de cette section est de démontrer :

Proposition 7.5. *Pour tout intervalle $I \subseteq [0, 1]$, nous avons*

$$\sum_{k \leq X} \sum_{\substack{F(v) \equiv 0[k] \\ 0 \leq v \leq k-1}} \mathbf{1}_I\left(\frac{v}{k}\right) = Z_F |I| X + O\left(X \frac{(\log \log X)^{\alpha_d}}{(\log X)^{\beta_d}}\right),$$

où

$$\alpha_d = \frac{1}{3}(d^2 + 1), \quad \beta_d = \frac{1}{3}\delta_d.$$

Nous notons (s_n) la suite construite en numérotant les nombres rationnels $\frac{v}{k} \in [0, 1[$ tels que $F(v) \equiv 0[k]$ par rapport à l'ordre croissant des dénominateurs. C'est-à-dire $\frac{v_1}{k_1} \leq \frac{v_2}{k_2}$ si et seulement si

$$k_1 \leq k_2, \quad \text{ou} \quad k_1 = k_2 \text{ et } v_1 \leq v_2.$$

Le théorème de Hooley implique que la suite (s_n) est équirépartie modulo 1. Nous avons besoin d'une estimation de la discrépance $D_N(s_n)$ de cette suite. Pour la définition de la discrépance, voir par exemple [26]. Les outils sont l'inégalité de Koksma-Denjoy (cf. [26, p. 143]) et celle de Erdős-Turán (cf. [26, Theorem 2.5 p. 112]).

Théorème 7.6 (Koksma-Denjoy). *Soient (x_n) une suite équirépartie modulo 1 et $N \geq 1$. Soit ϕ une fonction mesurable à variation bornée définie sur $[0, 1]$ (on note $V(\phi)$ la variation totale de ϕ). Alors*

$$\left| \frac{1}{N} \sum_1^N \phi(\{x_n\}) - \int_0^1 \phi \right| \leq V(\phi) D_N(x_n).$$

Théorème 7.7 (Erdős-Turán). *Soient x_i ($1 \leq i \leq N$) des nombres réel. Alors pour tout $m \in \mathbf{N}_{\geq 1}$, on a*

$$D_N(x_n) = O\left(\frac{1}{m} + \sum_{h=1}^m \frac{1}{h} \left| \frac{1}{N} \sum_{n=1}^N \exp(2\pi i h x_n) \right|\right),$$

où la constante implicite est absolue.

Corollaire 7.8. *Avec les notations ci-dessus, nous avons*

$$D_N(s_n) = O\left(\frac{(\log \log N)^{\frac{1}{3}(d^2+1)}}{(\log N)^{\frac{2}{3}\delta_d}}\right).$$

Démonstration. Fixons $N \in \mathbf{N}_{\geq 1}$ et notons

$$S(h, N) = \sum_{n=1}^N \exp(2\pi i h x_n).$$

Soit M le dénominateur de x_N . D'après la Proposition 7.2 et la relation suivante

$$\sum_{k < M} \varrho_F(k) < N \leq \sum_{k \leq M} \varrho_F(k),$$

nous en concluons qu'il existe C_1, C_2 deux constantes absolues positives telles que

$$C_1 M \leq N \leq C_2 M.$$

Nous avons aussi la comparaison suivante (cf. (7.3))

$$S(h, N) = R(h, M) + O(\varrho_F(M)) = R(h, M) + O(M^\varepsilon), \quad \forall \varepsilon > 0,$$

d'où nous calculons que pour tout $m \in \mathbf{N}_{\geq 1}$,

$$\begin{aligned} D_N(s_n) &= O\left(\frac{1}{m} + \sum_{h=1}^m \frac{1}{h} \left| \frac{1}{N} S(h, N) \right|\right) \\ &= O\left(\frac{1}{m} + \sum_{h=1}^m \frac{1}{h} \left| \frac{R(h, M) + M^\varepsilon}{M} \right|\right) \\ &= O\left(\frac{1}{m} + \sum_{h=1}^m \frac{1}{h} \left(h^{\frac{1}{2}} \frac{(\log \log M)^{\frac{1}{2}(d^2+1)}}{(\log M)^{\delta_d}} + \frac{1}{M^{1-\varepsilon}} \right)\right) \\ &= O\left(\frac{1}{m} + \sqrt{m} \frac{(\log \log M)^{\frac{1}{2}(d^2+1)}}{(\log M)^{\delta_d}} + \frac{\log m}{M^{1-\varepsilon}}\right) \end{aligned}$$

En prenant

$$m = \left\lceil \left(\frac{(\log M)^{\delta_d}}{(\log \log M)^{\frac{1}{2}(d^2+1)}} \right)^{\frac{2}{3}} \right\rceil,$$

nous obtenons que

$$D_N(s_n) = O\left(\frac{(\log \log M)^{\frac{1}{3}(d^2+1)}}{(\log M)^{\frac{2}{3}\delta_d}}\right) = O\left(\frac{(\log \log N)^{\frac{1}{3}(d^2+1)}}{(\log N)^{\frac{2}{3}\delta_d}}\right),$$

la majoration souhaitée. □

Démonstration de la Proposition 7.5. Posons

$$N = N(X) = \sum_{k \leq X} \varrho_F(k).$$

D'après la Proposition 7.2, $N \sim Z_F X$. Alors compte tenu de l'inégalité de Koksma-Denjoy (théorème 7.6) et du Corollaire 7.8,

$$\begin{aligned} \sum_{k \leq X} \sum_{\substack{F(v) \equiv 0 [k] \\ 0 \leq v \leq k-1}} \mathbf{1}_I\left(\frac{v}{k}\right) &= \sum_{n=1}^N \mathbf{1}_I(s_n) \\ &= N \int_0^1 \mathbf{1}_I(x) dx + O(ND_N(s_n)) \\ &= N|I| + O\left(\frac{N(\log \log N)^{\frac{1}{3}(d^2+1)}}{(\log N)^{\frac{2}{3}\delta_d}}\right) \\ &= Z_F|I|X + O\left(X \frac{(\log \log X)^{\frac{1}{3}(d^2+1)}}{(\log X)^{\frac{2}{3}\delta_d}}\right). \end{aligned}$$

□

7.3. Cas scindés. Nous nous intéresserons exclusivement dans cette section aux polynômes quadratiques *scindés*, i.e. réductible sur $\mathbf{Z}[X]$. Fixons $a \in \mathbf{N}_{\geq 1}, c \in \mathbf{Z}_{\neq 0}$. Définissons

$$F(X) = aX^2 + c, \quad G(X) = X^2 + ac.$$

Rappelons (7.2) la fonction ϱ_F (resp. ϱ_G). La fonction ϱ_G vérifie que pour p un nombre premier tel que $p \nmid 2ac$,

$$\varrho_G(p^r) = 1 + \left(\frac{-ac}{p}\right), \quad \forall r \geq 1,$$

(cf. [15, VIII, 8.4 Example (3)], rappelons qu'ici $\left(\frac{\cdot}{\cdot}\right)$ désigne le symbole de Jacobi). Une observation basique due à McKee [30] nous permet de relier ϱ_F à ϱ_G .

Lemme 7.9. *Nous avons*

$$\varrho_F(p^r) = \varrho_G(p^r), \quad \forall p \nmid 2a, r \in \mathbf{N}_{\geq 1},$$

et donc

$$\varrho_F(p^r) = 1 + \left(\frac{-ac}{p} \right), \quad \forall p \nmid 2ac, r \in \mathbf{N}_{\geq 1}.$$

Démonstration. Si $x_0 \in \mathbf{Z}$ est une solution de $F(x) \equiv 0[p^r]$, alors $y_0 = ax_0$ vérifie

$$G(y_0) = aF(x_0) \equiv 0[p^r].$$

et donc il est une solution de $G(y) \equiv 0[p^r]$. Réciproquement, soit $q \in \mathbf{N}$ tel que $aq \equiv 1[p^r]$. Si $y_0 \in \mathbf{Z}$ est une solution de la congruence $G(y) \equiv 0[p^r]$, alors $x_0 = y_0q$ satisfait à $F(x) \equiv 0[p^r]$. Il en suit que $\varrho_F(p^r) = \varrho_G(p^r)$. \square

Concernant les cas où

$$a/\text{pgcd}(a, c), -c/\text{pgcd}(a, c) \in \square,$$

ou de manière équivalente,

$$F(X) = \text{pgcd}(a, c)(bX + d)(bX - d)$$

dans $\mathbf{Z}[X]$ avec

$$b^2 = \frac{a}{\text{pgcd}(a, c)}, \quad d^2 = \frac{-c}{\text{pgcd}(a, c)}.$$

La fonction donnant le nombre de congruents ϱ_F ainsi que la série Dirichlet $D_F(s)$ sont de nature différente que celles dans les cas non-déployés. Le résultat principal est la proposition 7.11. En effet il s'agit ici de problèmes de diviseurs additifs au lieu d'être quadratiques. Ceci est déjà considéré en premier par Ingham [24], citant aussi des améliorations antérieures [14], [17], [12], où des formules asymptotiques de la forme suivante sont établies.

$$(7.6) \quad \sum_{n \leq X} \tau(n)\tau(n+h) \sim c(h)X(\log X)^2.$$

Cela fournit presque ce dont nous avons besoin, à savoir l'ordre moyen du type

$$\sum_{n \leq X} \tau((\lambda n + \sigma)(\lambda' n + \sigma')).$$

Lemme 7.10. *Nous avons*

$$D_F(s) = \zeta(s)^2 \Phi(s),$$

où $\Phi(s)$ est holomorphe, bornée et sans zéros en $\Re(s) > \frac{1}{2} + \varepsilon, \forall \varepsilon > 0$. En particulier la série $D_F(s)$ admet en $s = 1$ un pôle d'ordre 2 et converge absolument en $\Re s > 1$.

Démonstration. Conservons les notations (7.5) dans la preuve du lemme 7.1. Si $p \nmid 2ac$, nous avons $\varrho_F(p^r) = 2$ pour tout $r \in \mathbf{N}_{\geq 1}$. Alors pour un tel p ,

$$A_p(s) = 1 + \sum_{r=1}^{\infty} \frac{2}{p^{rs}} = \left(1 - \frac{1}{p^s}\right)^{-1} \left(1 + \frac{1}{p^s}\right) = \left(1 - \frac{1}{p^s}\right)^{-2} \left(1 - \frac{1}{p^{2s}}\right).$$

On définit

$$\Phi(s) = \left(\prod_{p|2ac} A_p(s) \left(1 - \frac{1}{p^s}\right)^2 \right) \times \left(\prod_{p \nmid 2ac} \left(1 - \frac{1}{p^{2s}}\right) \right).$$

Ceci est évidemment une fonction holomorphe en le demi-plan $\Re(s) > \frac{1}{2}$. \square

Proposition 7.11. *Il existe une constante $C_F > 0$ telle que*

$$\sum_{n \leq X} \varrho_F(n) \sim C_F X \log X.$$

Démonstration. La série $D_F(s)$ est bien à coefficients positifs. Puisque nous n'avons pas besoin de préciser le terme d'erreur, sachant le demi-plan de convergence et l'ordre du pôle, le terme principal découle d'un théorème taubérien bien connu (voir par exemple, [33]). \square

8. DÉNOMBREMENT D'APPROXIMANTS

8.1. Finitude des paramètres. Le lemme suivant donne tous les paramètres possibles qui sont de nombre finis quand on regarde le zoom dans un voisinage borné fixé.

Lemme 8.1. *Soient $\varepsilon > 0$. Nous avons que pour tout $P = [a : b] \times [u : v] \in U(\mathbf{Q})$ tel que $d(P)^{\frac{5}{2}} H_{\omega_{Y_3}^{-1}}(P) \leq \varepsilon$ (rappelons les notations (5.2)),*

$$D_1, \quad D_2, \quad \frac{|b-a|}{d_3}, \quad \frac{|au^2 - bv^2|}{D_1 D_2 d_3} \ll_{\varepsilon} 1.$$

Démonstration. Reprenons les notations (5.2) et rappelons encore la démonstration de la proposition 4.1. Compte tenu du paramétrage dans §.5, nous voyons que les quantités

$$\begin{aligned} |x-y| &= \frac{|au^2 - bv^2|}{D_1 d_2 d_3}, & |t-s| &= \frac{|au^2 - bv^2|}{D_2 d_1 d_3}, \\ f_1 &= \frac{|y|}{e_1 e_3} = \frac{d_1^2}{D_1}, & f_2 &= \frac{|t|}{e_1 e_2} = \frac{d_2^2}{D_2}, \\ f_3 &= \frac{|yt - xs|}{e_2 e_3} = \frac{|(b-a)(au^2 - bv^2)|}{D_1 D_2 d_3^2}. \end{aligned}$$

sont finies dans tout voisinage borné. Il en résulte alors que les quantités

$$\frac{|b-a|}{d_3}, \quad \frac{|au^2 - bv^2|}{D_1 D_2 d_3}$$

sont finies. De plus, l'égalité

$$|x-y| \times f_2 = \frac{|au^2 - bv^2|}{D_1 d_2 d_3} \times \frac{d_2^2}{D_2} = \frac{|au^2 - bv^2|}{D_1 D_2 d_3} \times d_2,$$

et la finitude ci-dessus impliquent que d_2 ainsi que D_2 sont finies grâce à la relation $d_2 \leq D_2 \leq d_2^2$. De même pour d_1 et D_2 en considérant $|t-s| \times f_1$. \square

8.2. Réduction aux problèmes de congruences. Le lemme suivant est une généralisation de la transformation faite dans l'introduction du texte pour les équations (1.5).

Lemme 8.2. *Pour $C_3 \in \mathbf{N}_{\geq 1}$, $D \in \mathbf{Z}_{\neq 0}$ avec $\text{pgcd}(C_3, D) = 1$, fixons $(u, v) \in \mathbf{Z}_{\text{prem}}^2$ tel que*

$$(8.1) \quad \min(u^2, v^2) > -\frac{D}{C_3},$$

alors il existe $(a, b) \in \mathbf{N}_{\text{prem}}^2$ tel que $C_3 \mid b-a$ et

$$(8.2) \quad \mathcal{E}_{C_3, D} : au^2 - bv^2 = \frac{b-a}{C_3} \times D$$

si et seulement si

$$(8.3) \quad (a, b) = \left(\frac{C_3 v^2 + D}{k(u, v)}, \frac{C_3 u^2 + D}{k(u, v)} \right),$$

où

$$k(x, y) = \text{pgcd}(C_3 x^2 + D, C_3 y^2 + D).$$

Démonstration. Étant donné un $(a, b) \in \mathbf{N}_{\text{prem}}^2$ vérifiant $\mathcal{E}_{C_3, D}$ (8.2), nous obtenons que

$$(C_3 u^2 + D)a = (C_3 v^2 + D)b,$$

et cela donne bien (8.3). Réciproquement, nous vérifions qu'avec l'expression (8.3), le couple $(a, b) \times (u, v)$ vérifie l'équation (8.2). D'après la définition de $k(u, v)$ la co-primalité de C_3 avec D , on a $\text{pgcd}(C_3, k(u, v)) = 1$, nous concluons de

$$k(u, v) \mid (C_3 u^2 + D) - (C_3 v^2 + D) = C_3(u^2 - v^2),$$

que

$$k(u, v) \mid u^2 - v^2.$$

D'où

$$C_3 \mid \frac{C_3(u^2 - v^2)}{k(u, v)} = \frac{C_3 u^2 + D}{k(u, v)} - \frac{C_3 v^2 + D}{k(u, v)} = b - a.$$

\square

Lemme 8.3. *Pour tout $(a, b) \times (u, v) \in \mathbf{N}_{\text{prem}}^2 \times \mathbf{Z}_{\text{prem}}^2$ vérifiant (8.2), nous avons*

$$\text{pgcd}(u^2, b) \text{pgcd}(v^2, a) \mid D, \quad \text{pgcd}(u - v, b - a) \mid \frac{b - a}{C_3}.$$

Démonstration. (cf. la démonstration du Théorème 5.6 dans [22].) Puisque

$$au^2 - bv^2 = a(u^2 - v^2) - (b - a)v^2,$$

nous avons

$$\text{pgcd}(u^2, b) \text{pgcd}(v^2, a) \text{pgcd}(u - v, b - a) \mid au^2 - bv^2. \quad \square$$

L'observation suivante est l'étape cruciale de la réduction du comptage aux problèmes de congruences. Introduisons la notation

$$(8.4) \quad c_3 = \frac{b - a}{d_3} = \frac{b - a}{\text{pgcd}(u - v, b - a)}.$$

Remplaçons désormais d_3 par c_3 . Attention à la différence de c_3 et C_3 . Nous avons en fait

$$(8.5) \quad C_3 \mid c_3,$$

grâce à l'équation (8.2) et le lemme 8.3,

$$\text{pgcd}(u - v, b - a) = \frac{b - a}{c_3} \mid \frac{b - a}{C_3}.$$

Proposition 8.4. *Fixons $q \in \mathbf{N}_{\geq 1}$. Pour tout $(a, b) \times (u, v) \in \mathbf{N}_{\text{prem}}^2 \times \mathbf{Z}_{\text{prem}}^2$ vérifiant (8.1) et (8.2), la condition*

$$(8.6) \quad u + v \mid qk(u, v).$$

équivalent à

$$(8.7) \quad \frac{c_3}{C_3} \mid q \Leftrightarrow \frac{b - a}{C_3 q} \mid \text{pgcd}(u - v, b - a).$$

Démonstration. Adaptons les notations introduite dans le lemme 8.2.

“ \Rightarrow ” Écrivons

$$qk(u, v) = \lambda(u + v)$$

pour $\lambda \in \mathbf{N}_{\geq 1}$. Définissons

$$q' = \frac{q}{\text{pgcd}(q, \lambda)}, \quad \lambda' = \frac{\lambda}{\text{pgcd}(q, \lambda)}.$$

Nous avons

$$q'k(u, v) = \lambda'(u + v), \quad \text{pgcd}(\lambda', q') = 1.$$

D'où nous déduisons que

$$q' \mid u + v, \quad \lambda' \mid k(u, v).$$

Cela nous permet d'écrire

$$\frac{b - a}{C_3} = \frac{u^2 - v^2}{k(u, v)} = \frac{q'(u - v)}{\lambda'},$$

et nous avons donc $\lambda' \mid u - v$. Alors

$$\begin{aligned} \text{pgcd}(u - v, b - a) &= \text{pgcd}\left(u - v, \frac{C_3(u^2 - v^2)}{k(u, v)}\right) \\ &= \text{pgcd}\left(u - v, \frac{C_3 q'(u - v)}{\lambda'}\right) \\ &= \frac{u - v}{\lambda'} \text{pgcd}(\lambda', C_3 q') \\ &= \frac{b - a}{C_3 q'}, \end{aligned}$$

puisque $\text{pgcd}(k(u, v), C_3) = 1$ et $\lambda' \mid k(u, v)$. D'où

$$\frac{b - a}{C_3 \text{pgcd}(u - v, b - a)} = q' \mid q.$$

“ \Leftarrow ” Soit $q' \mid q$ tel que

$$\begin{aligned} \frac{b-a}{C_3 q'} &= \frac{u^2 - v^2}{k(u, v) q'} = \text{pgcd}(u - v, b - a) \\ &= \text{pgcd}\left(u - v, \frac{C_3(u^2 - v^2)}{k(u, v)}\right) \\ &= \text{pgcd}\left(\frac{k(u, v)}{u + v} \times \frac{u^2 - v^2}{k(u, v)}, C_3 \times \frac{u^2 - v^2}{k(u, v) q'}\right), \end{aligned}$$

alors nous en déduisons que $u + v \mid q' k(u, v)$ et *a fortiori* $u + v \mid q k(u, v)$. \square

La prochaine proposition révèle que les courbes cuspidales change radicalement le dénombrement.

Proposition 8.5. *Rappelons l'ensemble mince M (6.1) et notons $A_{C_3, D}$ l'ensemble des $(a, b) \times (u, v) \in \mathbf{N}_{\text{prem}}^2 \times \mathbf{Z}_{\text{prem}}^2$ vérifiant (8.1) et (8.2). Nous avons $(\varrho \circ \Psi)(A_{C_3, D}) \cap M \neq \emptyset$ si et seulement si $C_3, -D \in \square$. En particulier dans ce cas nous avons la factorisation suivante de polynômes dans $\mathbf{Z}[X]$:*

$$C_3 X^2 + D = (\sqrt{C_3 X} + \sqrt{|D|})(\sqrt{C_3 X} - \sqrt{|D|}).$$

Par conséquent, $\varrho \circ \Psi$ restreignant à

$$\bigsqcup_{\substack{(C_3, D) \in \mathbf{N}_{\geq 1} \times \mathbf{Z} < 0 \\ \text{pgcd}(C_3, D) = 1}} A_{C_3, D} \cap (T_3 \cup T_4) \rightarrow (T_Q Y_3)_{\mathbf{R}}$$

est un paramétrage de l'ensemble mince

$$\{(w, z) \in M \cap (S_3 \cup S_4) : \max(|w|, |z|) < 1\}.$$

Les composantes cuspidales des courbes $\{R_{a, b}\}$ vivent seulement dans la région R_2 .

Démonstration. Prenons $(w, z) \in \mathbf{Q}^2 \cap (\cup_{i=1}^4 S_i)$. Rappelons le paramétrage pour les coordonnées (w, z) (5.4). Nous calculons

$$\begin{aligned} wz + w + z &= \frac{(au^2 - bv^2)^2}{uv(bv - au)^2} + \frac{au^2 - bv^2}{u(bv - au)} + \frac{au^2 - bv^2}{v(bv - au)} \\ &= \frac{(au^2 - bv^2)(b - a)}{(bv - au)^2}. \end{aligned}$$

Par la définition de l'ensemble M , $\varrho \circ \Psi(\cup_{i=1}^4 T_i) \cap M \neq \emptyset$ si et seulement si

$$(au^2 - bv^2)(b - a) = -\square.$$

En particulier nous voyons que $au^2 - bv^2 < 0$. Nous déduisons du lemme 5.1 que l'image d'un tel point est $\in (S_3 \cup S_4)$. De l'équation $\mathcal{E}_{C_3, D}$, la condition ci-dessus est équivalente à

$$-(b - a)^2 \frac{D}{C_3} = \square \Leftrightarrow -\frac{D}{C_3} = \square.$$

Le résultat en suit directement puisque nous avons imposé que D, C_3 soient premiers entre eux et que $C_3 > 0$. Le dernier énoncé suit de la proposition 6.2. \square

8.3. Région R_1 . Comme révélé précédemment, il n'y a pas de composantes cuspidales des courbes (3.13) qui rentrent dans la région R_1 . Donc cette région n'intersecte pas l'ensemble mince M .

8.3.1. Région S_1 . Pour $\varepsilon_1 > \varepsilon_2 > 0, \theta_1 > \theta_2 > 1$ fixés, on note

$$(8.8) \quad R(\varepsilon_i, \theta_j) = \{(w, z) \in S_1 : \varepsilon_2 < z \leq \varepsilon_1, \theta_2 w < z < \theta_1 w\},$$

une région trapézoïdale et $\chi_{\varepsilon_i, \theta_j}(\cdot) = \mathbf{1}_{R(\cdot)}$ la fonction caractéristique. Elle sert à une fonction de « test ».

Théorème 8.6. *On a*

$$\delta_{\varrho^{-1}(S_1) \cap U, Q, B, \frac{5}{6}}(\chi_{\varepsilon_i, \theta_j}) = B^{\frac{1}{5}} \left(\int \chi_{\varepsilon_i, \theta_j}(w, z) \frac{\mathbb{E}(wz\sqrt{w+z})}{wz\sqrt{w+z}} dw dz + O_{\varepsilon_i, \theta_j} \left(\frac{(\log \log B)^{\frac{5}{6}}}{(\log B)^{\frac{2-\sqrt{2}}{6}}} \right) \right),$$

où $\mathbb{E} :]0, \infty[\rightarrow]0, \infty[$ est une fonction croissante en escalier.

Remarque 8.7. La mesure apparaissant dans la minoration fait souligner les trois lignes qui sont localement accumulatrices et la somme de leur puissances est égale exactement à la constante essentielle. Ceci est en analogue avec le résultat [23] pour la surface torique de del Pezzo de degré 6.

8.3.2. *Déroulement de comptage.* Comme pour $P = [x : y] \times [s : t]$ tel que $\varrho \circ \Psi(P) \in S_1$,

$$(8.9) \quad \max(|x^2 st|, |y^2 st|, |t^2 xy|, |s^2 xy|, |xyst|, |y^2 t^2|) = |s^2 xy|,$$

La formule (cf. Section 3.2) pour calculer la hauteur par rapport aux paramètres a, b, u, v est donnée par, grâce à (5.1), (3.6) et (5.3), pour $(a, b) \times (u, v) \in T_1$,

$$\begin{aligned} H((\varrho \circ \Psi)(a, b) \times (u, v)) &= \frac{|s^2 xy|}{\text{pgcd}(x, t) \text{pgcd}(y, s) \text{pgcd}(y, t)} \\ &= \frac{a^2 b u^2 (u - v)^3}{D_1^2 D_2^2 d_3^3}, \end{aligned}$$

où les paramètres d_3, D_i sont définis par (5.2). La distance restreinte (3.4) est

$$(8.10) \quad d((\varrho \circ \Psi)(a, b) \times (u, v)) = \frac{\frac{u^2}{v^2} - \frac{b}{a}}{\frac{b}{a} - \frac{u}{v}}.$$

Pour le reste de cette section, D_1, D_2 désigneront des paramètres au lieu d'avoir le sens (5.2). L'équivalence établie dans la proposition 8.4 nous permet de faire lien avec le problème de congruences. Nous allons faire la partition des paramètres $(a, b) \times (u, v) \in T_1$ selon la famille des équations $(\mathcal{E}_{C_3, D})_{C_3 \in \mathbf{N}_{\geq 1}, D \in \mathbf{Z}_{\neq 0}}$ (8.2). D'après le lemme 5.1, $D > 0$. Pour $D_1, D_2 \in \mathbf{N}_{\geq 1}, D_1 D_2 \mid D, \text{pgcd}(D_1, D_2) = 1$ et $W \in \mathbf{N}_{\geq 1}, \text{pgcd}(W, D) = 1$, nous définissons $E_{C_3, D, W}^{\varepsilon_i, \theta_j}(D_i)$ l'ensemble des $(a, b) \times (u, v) \in T_1$ satisfaisant à l'équation $\mathcal{E}_{C_3, D}$ (8.2) et vérifiant (8.11), (8.12) et (8.13) suivantes.

$$(8.11) \quad D_1 = \text{pgcd}(u^2, b), \quad D_2 = \text{pgcd}(v^2, a),$$

$$(8.12) \quad \text{pgcd}(u - v, b - a) = \frac{b - a}{C_3 W},$$

et

$$(8.13) \quad \theta_2 < \frac{u}{v} < \theta_1, \quad \varepsilon_2 B^{-\frac{2}{5}} < \frac{\frac{u^2}{v^2} - \frac{b}{a}}{\frac{b}{a} - \frac{u}{v}} \leq \varepsilon_1 B^{-\frac{2}{5}},$$

$$(8.14) \quad \frac{a^2 b u^2 (u - v)^3}{D_1^2 D_2^2 d_3^3} = \frac{a^2 b u^2 (u - v)^3 C_3^3 W^3}{(b - a)^3 D_1^2 D_2^2} \leq B.$$

On a donc

$$(8.15) \quad \delta_{\varrho^{-1}(S_1) \cap U, Q, B, \frac{5}{2}}(\chi_{\varepsilon_i, \theta_j}) = \# \left(\bigsqcup_{\substack{C_3, D, W \in \mathbf{N}_{\geq 1}, \text{pgcd}(C_3 W, D) = 1 \\ D_1 D_2 \mid D, \text{pgcd}(D_1, D_2) = 1}} E_{C_3, D, W}^{\varepsilon_i, \theta_j}(D_i) \right)$$

La réunion dans (8.15) est en fait finie puisque la démonstration du lemme 8.1 et l'identité

$$c_3 = C_3 W$$

nous révèle que

$$C_3, D, W = O_{\varepsilon_1}(1).$$

8.3.3. *Conditions de seuils.* Nous allons trouver dans cette section pour chaque point $P = (a, b) \times (u, v) \in E_{C_3, D, W}^{\varepsilon_i, \theta_j}(D_i)$ une condition pour qu'il soit dénombré. Soit $(w, z) = \varrho \circ \Psi(P)$. Cette condition s'avère être une équation de seuil

$$(8.16) \quad zw \sqrt{z + w} > \frac{D^{\frac{5}{2}} C_3^{\frac{1}{2}} W^3}{D_1^2 D_2^2}.$$

Elle nous montre *a posteriori* que la condition de hauteur sert à certaine condition de seuils et celle de zoom joue le vrai rôle dans le dénombrement.

Lemme 8.8. Pour tout $P = (a, b) \times (u, v) \in T_1$ qui vérifie (8.14), (8.2), (8.11), (8.12), notons

$$(8.17) \quad (w_0, z_0) = B^{\frac{2}{5}} \varrho \circ \Psi(P) = (B^{\frac{2}{5}} w, B^{\frac{2}{5}} z).$$

Alors nous avons

$$(8.18) \quad z_0 w_0 \sqrt{z_0 + w_0} > \frac{D^{\frac{5}{2}} C_3^{\frac{1}{2}} W^3}{D_1^2 D_2^2}.$$

Démonstration. Tout d'abord d'après la définition de zoom, nous avons

$$(8.19) \quad z_0 = B^{\frac{2}{5}} z = B^{\frac{2}{5}} \frac{D(u+v)}{v(C_3 uv - D)}.$$

Nous obtenons que

$$(8.20) \quad \frac{z_0 C_3 uv^2}{D(u+v)} > B^{\frac{2}{5}}.$$

D'après le lemme 8.2,

$$a = \frac{C_3 v^2 + D}{k(u, v)}, \quad b = \frac{C_3 u^2 + D}{k(u, v)}.$$

La condition que la hauteur soit bornée s'écrit

$$(8.21) \quad W^3 (C_3 v^2 + D)^2 (C_3 u^2 + D) u^2 < B(u+v)^3 D_1^2 D_2^2.$$

Cette borne supérieure nous donne la majoration

$$\frac{C_3^3 W^3 u^4 v^4}{D_1^2 D_2^2 (u+v)^3} < B.$$

Ces deux inégalités donnent

$$\left(\frac{C_3^3 W^3}{D_1^2 D_2^2} \right)^{\frac{2}{5}} \frac{u^{\frac{8}{5}} v^{\frac{8}{5}}}{(u+v)^{\frac{6}{5}}} < \frac{z_0 C_3 uv^2}{D(u+v)},$$

qui elle-même implique

$$\frac{C_3^{\frac{1}{5}} W^{\frac{6}{5}} D}{D_1^{\frac{4}{5}} D_2^{\frac{4}{5}}} < z_0 \left(1 + \frac{v}{u}\right)^{\frac{1}{5}} \left(\frac{v}{u}\right)^{\frac{2}{5}}.$$

D'après la définition du paramétrage Ψ et du difféomorphisme ϱ (3.3), nous avons la relation entre les paramètres (u, v) et les coordonnées (w, z) ,

$$\frac{u}{v} = \frac{z}{w} = \frac{z_0}{w_0},$$

d'où nous obtenons

$$\frac{DC_3^{\frac{1}{5}} W^{\frac{6}{5}}}{D_1^{\frac{4}{5}} D_2^{\frac{4}{5}}} < z_0 \left(1 + \frac{w_0}{z_0}\right)^{\frac{1}{5}} \left(\frac{w_0}{z_0}\right)^{\frac{2}{5}} = z_0^{\frac{2}{5}} w_0^{\frac{2}{5}} (z_0 + w_0)^{\frac{1}{5}}.$$

En prenons la puissance $\frac{5}{2}$, nous obtenons la borne inférieure cherchée puisque $w_0, z_0 > 0$ dans la région S_1 . \square

Lemme 8.9. Conservant la notation (8.17). Il existe $\mu_0 > 0$ ne dépendant que de C_3, D, W, ε tel que pour tout $P = (a, b) \times (u, v) \in E_{C_3, D, W}^{\varepsilon_i, \theta_j}(D_i)$ vérifiant (8.11), (8.12) et

$$(8.22) \quad z_0 w_0 \sqrt{z_0 + w_0} \geq \frac{D^{\frac{5}{2}} C_3^{\frac{1}{2}} W^3}{D_1^2 D_2^2} + \mu_0 B^{-\frac{2}{5}}$$

avec les notations (8.17), alors (8.14) est vérifiée pour tout $B \gg_{C_3, D, W, \varepsilon} 1$.

Démonstration. Notons

$$\theta_0 = \frac{u}{v} = \frac{z_0}{w_0} > 1.$$

Nous avons

$$\frac{z_0^{\frac{5}{2}}}{\sqrt{z_0 + w_0}} = \frac{\theta_0^{\frac{5}{2}}}{\sqrt{1 + \theta_0}} \leq \frac{z_0^{\frac{5}{2}} D_1^2 D_2^2}{D^{\frac{5}{2}} C_3^{\frac{1}{2}} W^3} \ll_{C_3, D, W, \varepsilon} 1,$$

et d'où

$$(8.23) \quad \theta_0 \ll_{C_3, D, W, \varepsilon} 1.$$

Rappelons l'identité (8.19), nous avons

$$B^{\frac{2}{5}} = \frac{z_0 v (C_3 uv - D)}{D(u+v)}.$$

La condition de hauteur (8.21) est déduite d'une inégalité du type

$$C_3^3 W^3 u^4 v^4 + O_{C_3, D}(u^4 v^2) \leq \left(\frac{z_0 C_3 uv^2}{u+v} - O_{C_3, D, W}(1) \right)^{\frac{5}{2}} (u+v)^3 D_1^2 D_2^2,$$

elle-même étant déduite de, compte-tenu de (8.23),

$$\frac{W^3 C_3^3}{D_1^2 D_2^2} \frac{u^4 v^4}{(u+v)^3} (1 + \mu_1 B^{-\frac{2}{5}}) \leq \left(\frac{z_0 C_3 uv^2}{u+v} \right)^{\frac{5}{2}} (1 - \mu_2 B^{-\frac{2}{5}}),$$

où $\mu_1, \mu_2 > 0$ dépendant de C_3, D, W, ε . La preuve déroule essentiellement en suivant celle précédente. \square

Nous concluons des lemmes 8.8 et 8.9 dans cette section qu'en prenant une fonction de test (8.8), nous pouvons « oublier » la condition de hauteur (i.e. la condition (8.14)) en rajoutant la condition de seuil (8.16). À savoir,

$$(8.24) \quad \#E_{C_3, D, W}^{\varepsilon_i, \theta_j}(D_i) = \#\tilde{E}_{C_3, D, W}^{\varepsilon_i, \theta_j}(D_i) + O(\#\text{Er}_{C_3, D, W}^{\varepsilon_i, \theta_j}(D_i))$$

où $\tilde{E}_{C_3, D, W}^{\varepsilon_i, \theta_j}(D_i)$ consiste en les $(a, b) \times (u, v) \in T_1$ vérifiant (8.2), (8.11), (8.12), (8.13), (8.18) et $\text{Er}_{C_3, D, W}^{\varepsilon_i, \theta_j}(D_i)$ est l'ensemble des $(a, b) \times (u, v) \in T_1$ satisfaisant les mêmes conditions précédentes sauf (8.18) est remplacée par (cf. (8.22))

$$(8.25) \quad \frac{D^{\frac{5}{2}} C_3^{\frac{1}{2}} W^3}{D_1^2 D_2^2} \leq z_0 w_0 \sqrt{z_0 + w_0} \leq \frac{D^{\frac{5}{2}} C_3^{\frac{1}{2}} W^3}{D_1^2 D_2^2} + \mu_0 B^{-\frac{2}{5}}.$$

8.3.4. *Réduction du comptage.* Premièrement nous éliminons la condition de pgcd (8.12). Compte-tenu de la proposition 8.4, une inversion de Möbius nous donne

$$(8.26) \quad \#\tilde{E}_{C_3, D, W}^{\varepsilon_i, \theta_j}(D_i) = \sum_{q|W} \mu\left(\frac{W}{q}\right) \#B_{C_3, D}^{\varepsilon_i, \theta_j}(D_i, q)$$

où pour $q, D_1, D_2 \in \mathbf{N}_{\geq 1}$ fixés, $B_{C_3, D, W}^{\varepsilon_i, \theta_j}(D_i, q)$ est constitué des $(a, b) \times (u, v) \in T_1$ vérifiant (8.2), (8.6), (8.11), (8.13), (8.18).

Nous allons désormais nous concentrer sur un seul ensemble $B_{C_3, D, W}^{\varepsilon_i, \theta_j}(D_i, q)$ pour C_3, D, W, D_1, D_2, q fixés. Nous avons, grâce à la co-primalité pré-supposée,

$$D_1 = \text{pgcd}(u^2, b) = \text{pgcd}(u^2, au^2 - bv^2) = \text{pgcd}\left(u^2, \frac{b-a}{C_3}D\right) = \text{pgcd}(u^2, D).$$

De même manière,

$$D_2 = \text{pgcd}(v^2, a) = \text{pgcd}(v^2, D).$$

Donc nous pouvons appliquer l'inversion de Möbius pour éliminer ces pgcd. À l'aide du lemme 8.2, nous pouvons éliminer les paramètres a, b . Nous copions la condition de zoom et de pente dans (8.13) de ce point de vue ici.

$$(8.27) \quad \varepsilon_2 v (C_3 uv - D) \leq B^{\frac{2}{5}} D(u+v) \leq \varepsilon_1 v (C_3 uv - D), \quad \theta_2 < \frac{u}{v} < \theta_1.$$

Lemme 8.10.

$$(8.28) \quad \#B_{C_3, D, W}^{\varepsilon_i, \theta_j}(D_i, q) = \sum_{\substack{h_1, h_2 \in \mathbf{N}_{\geq 1} \\ D_1 h_1, D_2 h_2 | D \\ \text{pgcd}(h_1, h_2) = 1}} \mu(h_1) \mu(h_2) \#\mathcal{B}_{C_3, D, W}^{\varepsilon_i, \theta_j}(D_i h_i, q)$$

où $\mathcal{B}_{C_3, D, W}^{\varepsilon_i, \theta_j}(D_i h_i, q)$ est l'ensemble des $(u, v) \in \mathbf{N}_{\text{prem}}^2$ vérifiant (8.6), (8.27), (8.18) et

$$(8.29) \quad h_1 D_1 | u^2, \quad h_2 D_2 | v^2 \iff g(h_1 D_1) | u, \quad g(h_2 D_2) | v,$$

La condition de divisibilité (8.6) maintenant s'écrit,

$$(8.30) \quad q(C_3 u^2 + D) \equiv 0[u+v], \quad q(C_3 v^2 + D) \equiv 0[u+v].$$

L'une entre ces deux conditions implique l'autre. La restriction à la région S_1 demande $\frac{u}{v} > 1$ et impose donc l'unicité de couples de solutions (u, v) . Nous allons désormais nous concentrer sur u et $u+v$. Introduisons les notations m, n de sorte que

$$(8.31) \quad u = g(h_1 D_1) n, \quad u+v = m.$$

Alors la condition de co-primalité de (u, v) implique celle de (m, n) :

$$(8.32) \quad \text{pgcd}(u, v) = 1 \iff \text{pgcd}(m, n) = 1 \text{ et } \text{pgcd}(m, g(h_1 D_1)) = 1.$$

Maintenant (8.29) et (8.30) s'écrivent

$$(8.33) \quad m - g(h_1 D_1)n \equiv 0[g(h_2 D_2)], \quad q(C_3 g(h_1 D_1)^2 n^2 + D) \equiv 0[m].$$

Puisque $\text{pgcd}(h_1 D_1, h_2 D_2) = 1$, soient $1 \leq \gamma_1 < g(h_2 D_2)$ tel que

$$\gamma_1 g(h_1 D_1) \equiv 1[g(h_2 D_2)].$$

Nous obtenons

$$\gamma_1 m - \gamma_1 g(h_1 D_1)n \equiv \gamma_1 m - n \equiv 0[g(h_2 D_2)].$$

Puisque $v = m - g(h_1 D_1)n \geq 1$,

$$\gamma_1 \leq \gamma_1 m - \gamma_1 g(h_1 D_1)n \leq \gamma_1 m - n.$$

Il existe donc un entier $l \in \mathbf{N}_{\geq 1}$ tel que

$$(8.34) \quad \gamma_1 m - g(h_2 D_2)l = n,$$

et la condition de congruence dans (8.33) maintenant devient

$$(8.35) \quad q(C_3 g(h_1 D_1 h_2 D_2)^2 l^2 + D) \equiv 0[m]$$

avec la condition de co-primalité pour (m, l) déduite de (8.32) :

$$(8.36) \quad \text{pgcd}(m, g(h_1 D_1 h_2 D_2)) = \text{pgcd}(m, l) = 1.$$

Nous faisons une dernière inversion de Möbius qui élimine ces dernières conditions de pgcd. Soient

$$e_1 \mid \text{pgcd}(m, g(h_1 D_1)), \quad e_2 \mid \text{pgcd}(m, g(h_2 D_2)), \quad e_3 \mid \text{pgcd}(m, l),$$

tels que $\text{pgcd}(e_3, g(h_1 D_1 h_2 D_2)) = 1$. Alors $e_1 e_2 e_3 \mid qD$ sinon la congruence (8.35) n'a pas de solution. Écrivons

$$(8.37) \quad m = e_1 e_2 e_3 m', \quad l = e_3 l'.$$

Nous pouvons enfin réécrire (8.35) comme

$$(8.38) \quad \frac{q C_3 g(h_1 D_1 h_2 D_2)^2 e_3}{e_1 e_2} (l')^2 + \frac{qD}{e_1 e_2 e_3} \equiv 0[m'].$$

Les relations entre (l', m') et (u, v) sont, d'après (8.31), (8.34) et (8.37)

$$(8.39) \quad u + v = e_1 e_2 e_3 m', \quad u = g(h_1 D_1) e_3 (\gamma_1 e_1 e_2 m' - g(h_2 D_2) l').$$

En résumé, nous avons établi la formule suivant.

Lemme 8.11.

$$(8.40) \quad \# \mathcal{B}_{C_3, D, W}^{\varepsilon_i, \theta_j}(D_i h_i, q) = \sum_{\substack{e_1 e_2 \mid g(h_1 D_1 h_2 D_2), \text{pgcd}(e_1, e_2) = 1 \\ e_1 e_2 e_3 \mid qD, \text{pgcd}(e_3, g(h_1 D_1 h_2 D_2)) = 1}} \left(\prod_{j=1}^3 \mu(e_j) \right) \# \mathcal{C}_{C_3, D}^{\varepsilon_i, \theta_j}(D_i h_i, e_j, q),$$

où $\mathcal{C}_{C_3, D, W}^{\varepsilon_i, \theta_j}(D_i h_i, e_j, q)$ est l'ensemble des couples $(l', m') \in \mathbf{N}_{\geq 1} \times \mathbf{N}_{\geq 1}$ vérifiant les conditions (8.39) et (8.13) et

$$(8.41) \quad \mathcal{F}(l') \equiv 0[m'],$$

où

$$(8.42) \quad \mathcal{F}(X) = \mathcal{F}_{C_3, D, h_i D_i, e_j, q}(X) = \frac{q C_3 g(h_1 D_1 h_2 D_2)^2 e_3}{e_1 e_2} X^2 + \frac{qD}{e_1 e_2 e_3} \in \mathbf{Z}[X].$$

8.3.5. *Autre régions.* Des les régions S_2, S_3, S_4 , la situation est similaire, sauf un changement de hauteur qui finalement résulte en un changement mineur des seuils. Nous n'allons pas donner tous les détails.

Néanmoins nous remarquons que pour les régions S_2, S_3 , les polynômes (8.42) changent de signe. Avec les notations précédentes, nous avons $D < 0$ (Lemme 5.1). Puisqu'en écrivant

$$\frac{q C_3 g(h_1 D_1 h_2 D_2)^2 e_3}{e_1 e_2} X^2 + \frac{qD}{e_1 e_2 e_3} = \frac{q}{e_1 e_2 e_3} (C_3 (g(h_1 D_1 h_2 D_2) e_3 X)^2 + D) = \frac{q}{e_1 e_2 e_3} \mathcal{G}(X),$$

le (non-)scindage du polynôme $C_3 X^2 + D$ équivaut à celui de $\mathcal{G}(X)$. Le lemme 8.5 nous dit qu'en dehors de la partie mince M (6.1), au moins un des $C_3, -D \notin \square$. Donc ces polynôme restent non-scindés et nous conduisent toujours au problème du congruence quadratique.

8.3.6. *Une étape de clef.* Nous commençons par démontrer une formule asymptotique suivante. Les notations dans cette proposition et sa preuve sont indépendantes de celles utilisées avant.

Proposition 8.12. *Soient $A, X > 0$ et $0 < \vartheta_2 < \vartheta_1 < 1$ vérifiant $A > \vartheta_1$. Soit $G :]0, \vartheta_1] \rightarrow \mathbf{R}_{>0}$ une fonction continue. Soit $F(X) \in \mathbf{Z}[X]$ un polynôme irréductible de degré ≥ 2 . Rappelons α_d, β_d dans la Proposition 7.5. Alors nous avons*

$$\sum_{\substack{l, m \in \mathbf{N}, F(l) \equiv 0[m] \\ m^2 G(A - \frac{l}{m}) \leq X}} \mathbf{1}_{\vartheta_2, \vartheta_1} \left(A - \frac{l}{m} \right) = Z_F X^{\frac{1}{2}} \int_{\vartheta_2}^{\vartheta_1} \frac{dx}{\sqrt{G(x)}} + O \left(X^{\frac{1}{2}} \frac{(\log \log X)^{\frac{\alpha_d}{2}}}{(\log X)^{\frac{\beta_d}{2}}} \right).$$

Démonstration. Fixons $\alpha = \frac{\alpha_d}{2}, \beta = \frac{\beta_d}{2}$. Divisons l'intervalle $] \vartheta_2, \vartheta_1 [$ en $O \left(\frac{(\log X)^\alpha}{(\log \log X)^\beta} \right)$ sous-intervalles $\{J_k\}$ où

$$J_k = [r_k, r_{k+1}[, \quad r_{k+1} = r_k + \frac{(\log \log X)^\beta}{(\log X)^\alpha}$$

et définissons la fonction en escalier H par

$$H(x) = \min_{y \in J_k} G(y), \quad x \in J_k.$$

Puisque G est uniformément continue sur $[\vartheta_2, \vartheta_1]$, il existe $c_0 > 0$ une constante absolue telle que

$$(8.43) \quad 0 \leq \sup_{x \in] \vartheta_2, \vartheta_1 [} \left(\sqrt{G(x)^{-1}} - \sqrt{H(x)^{-1}} \right) < c_0 \frac{(\log \log X)^\beta}{(\log X)^\alpha}.$$

Si l'intervalle $]A - r_{k+1}, A - r_k[$ ne contient aucun entier, on définit $M_k = \lfloor A - r_{k+1} \rfloor$ et l'intervalle

$$I_k =]A - r_{k+1} - M_k, A - r_k - M_k[\subset]0, 1[.$$

Cependant si $]A - r_{k+1}, A - r_k[$ contient un entier \tilde{M}_k , définissons les intervalles

$$I_{1,k} = [0, A - r_k - \tilde{M}_k[, \quad I_{2,k} =]A - r_{k+1} - (\tilde{M}_k - 1), 1[, \quad I_k = I_{1,k} \cup I_{2,k}.$$

Alors $|J_k| = |I_k|$ et les solutions $(l, m) \in \mathbf{Z}^2$ du problème de congruence

$$F(l) \equiv 0[m], \quad A - \frac{l}{m} \in J_k$$

sont en bijection avec celles $(l', m) \in \mathbf{Z}^2$ de

$$F(l') \equiv 0[m], \quad \frac{l'}{m} \in I_k.$$

Nous avons, grâce à la Proposition 7.5 et (8.43),

$$\begin{aligned} \sum_{\substack{l, m \in \mathbf{N}_{\geq 1}, F(l) \equiv 0[m] \\ m^2 H(A - \frac{l}{m}) \leq X}} \mathbf{1}_{\vartheta_2, \vartheta_1} \left(A - \frac{l}{m} \right) &= \sum_{\substack{l, m \in \mathbf{N}_{\geq 1}, F(l) \equiv 0[m] \\ m^2 H(A - \frac{l}{m}) \leq X}} \sum_k \mathbf{1}_{J_k} \left(A - \frac{l}{m} \right) \\ &= \sum_k \sum_{\substack{l', m \in \mathbf{N}_{\geq 1}, F(l') \equiv 0[m] \\ m \leq \sqrt{\frac{X}{H(r_k)}}} \mathbf{1}_{I_k} \left(\frac{l'}{m} \right) \\ &= Z_F X^{\frac{1}{2}} \left(\sum_k \frac{|I_k|}{\sqrt{H(r_k)}} \right) + O \left(\sum_k X^{\frac{1}{2}} \frac{(\log \log X)^{\alpha_d}}{(\log X)^{\beta_d}} \right) \\ &= Z_F X^{\frac{1}{2}} \int_{\vartheta_2}^{\vartheta_1} \frac{dx}{\sqrt{G(x)}} + O \left(X^{\frac{1}{2}} \frac{(\log \log X)^\alpha}{(\log X)^\beta} \right). \end{aligned}$$

Or nous avons aussi,

$$\begin{aligned}
& \sum_{\substack{l,m \in \mathbf{N}_{\geq 1}, F(l) \equiv 0[m] \\ m^2 G(A - \frac{l}{m}) \leq X}} \mathbf{1}_{\vartheta_2, \vartheta_1} \left(A - \frac{l}{m} \right) \\
&= \sum_{\substack{l,m \in \mathbf{N}_{\geq 1}, F(l) \equiv 0[m] \\ m^2 H(A - \frac{l}{m}) \leq X}} \mathbf{1}_{\vartheta_2, \vartheta_1} \left(A - \frac{l}{m} \right) + O \left(\sum_{\substack{X^{\frac{1}{2}} / (\sqrt{H(A - \frac{l}{m})} + c_0 \frac{(\log \log X)^\beta}{(\log X)^\alpha}) < m \leq X^{\frac{1}{2}} / \sqrt{H(A - \frac{l}{m})} \\ F(l) \equiv 0[m]}} \mathbf{1}_{\vartheta_2, \vartheta_1} \left(A - \frac{l}{m} \right) \right) \\
&= Z_F X^{\frac{1}{2}} \int_{\vartheta_2}^{\vartheta_1} \frac{dx}{\sqrt{G(x)}} + O \left(X^{\frac{1}{2}} \frac{(\log \log X)^\alpha}{(\log X)^\beta} \right) \\
&\quad + O \left(\left(\sum_{\substack{m \leq X^{\frac{1}{2}} / \sqrt{H(A - \frac{l}{m})} \\ F(l) \equiv 0[m]}} - \sum_{\substack{m \leq X^{\frac{1}{2}} / (\sqrt{H(A - \frac{l}{m})} + c_0 \frac{(\log \log X)^\beta}{(\log X)^\alpha}) \\ F(l) \equiv 0[m]}} \right) \mathbf{1}_{\vartheta_2, \vartheta_1} \left(A - \frac{l}{m} \right) \right) \\
&= Z_F X^{\frac{1}{2}} \int_{\vartheta_2}^{\vartheta_1} \frac{dx}{\sqrt{G(x)}} + O \left(X^{\frac{1}{2}} \frac{(\log \log X)^\alpha}{(\log X)^\beta} \right).
\end{aligned}$$

Ceci achève la formule énoncée. \square

8.3.7. *Dénouement.* On désigne par \mathfrak{C} la courbe

$$\{(w, z) \in S_1 : zw\sqrt{z+w} = \frac{D^{\frac{5}{2}} C_3^{\frac{1}{2}} W^3}{D_1^2 D_2^2}\}.$$

Supposons pour la suite que la région $R(\varepsilon_i, \theta_j)$ (8.8) vérifie que $\text{dist}(\mathfrak{C}, R(\varepsilon_i, \theta_j)) \geq \eta > 0$ et donc l'ensemble $B_{C_3, D}^{\varepsilon_i, \theta_j}(D_i, q)$ vérifie la condition de seuil donné par les équations de seuils dans les lemmes 8.8 et 8.9 pour $B \gg_{C_3, D, \varepsilon_i, \theta_j} 1$. Il vérifie aussi (8.16).

Corollaire 8.13. *Il existe une constante $\mathcal{E} = \mathcal{E}_{C_3, D}(D_i h_i, e_j, q) > 0$ telle que*

$$(8.44) \quad \#_{C_3, D, W}^{\varepsilon_i, \theta_j}(D_i h_i, e_j, q) = B^{\frac{1}{5}} \mathcal{E} Z_{\mathcal{F}} \int \int \chi_{\varepsilon_i, \theta_j} \frac{\mathfrak{E}_{C_3, D, D_i, W}(zw\sqrt{z+w})}{zw\sqrt{z+w}} dz dw + O \left(B^{\frac{1}{5}} \frac{(\log \log B)^{\frac{5}{6}}}{(\log B)^{\frac{2-\sqrt{2}}{6}}} \right),$$

où

$$\mathfrak{E}_{C_3, D, D_i, W}(x) = \mathbf{1} \left\{ x : x > \frac{D^{\frac{5}{2}} C_3^{\frac{1}{2}} W^3}{D_1^2 D_2^2} \right\},$$

$\chi_{\varepsilon_i, \theta_j}$ est définie par (8.8), $\mathcal{F}(X) = \mathcal{F}_{C_3, D, h_i D_i, e_j, q}(X)$ est le polynôme (8.42) et la constante $f_{\mathcal{F}}(1)$ est définie dans la proposition 7.2.

Démonstration. Avec le changement de paramètres (8.39), nous avons

$$v = e_1 e_2 e_3 m' - u = e_3 g(D_1 h_1 D_2 h_2) l' - e_1 e_2 e_3 (\gamma_1 g(D_1 h_1) - 1) m',$$

et d'où

$$(8.45) \quad \frac{C_3}{D} \frac{uv^2}{u+v} = \frac{C_3 e_3^2 g(h_1 D_1 h_2 D_2)^3}{D e_1 e_2} (m')^2 \left(\frac{e_1 e_2 \gamma_1}{g(h_2 D_2)} - \frac{l'}{m'} \right) \left(\frac{e_1 e_2}{g_1 g_2} - \left(\frac{e_1 e_2 \gamma_1}{g(h_2 D_2)} - \frac{l'}{m'} \right) \right)^2.$$

Quitte à rajouter un terme d'erreur d'ordre grandeur $O(1)$, nous pouvons réécrire (8.27) comme

$$(8.46) \quad \frac{e_1 e_2 \gamma_1}{g(h_2 D_2)} - \frac{e_1 e_2}{g_1 g_2} \frac{\theta_1}{1 + \theta_1} < \frac{l'}{m'} < \frac{e_1 e_2 \gamma_1}{g(h_2 D_2)} - \frac{e_1 e_2}{g_1 g_2} \frac{\theta_2}{1 + \theta_2};$$

$$\varepsilon_2 (m')^2 G \left(A - \frac{l'}{m'} \right) \leq B^{\frac{2}{5}} \leq \varepsilon_1 (m')^2 G \left(A - \frac{l'}{m'} \right).$$

Remarquons $e_1 e_2 \mid g_1 g_2$ et $\gamma_1 g(h_1 D_1) \geq 1$. Nous avons donc

$$\frac{e_1 e_2 \gamma_1}{g(h_2 D_2)} - \frac{l'}{m'} \subset \left] \frac{e_1 e_2}{g_1 g_2} \frac{\theta_2}{1 + \theta_2}, \frac{e_1 e_2}{g_1 g_2} \frac{\theta_1}{1 + \theta_1} \right[\subset]0, 1[,$$

$$\frac{e_1 e_2 \gamma_1}{g_2} \geq \frac{e_1 e_2}{g_1 g_2} > \frac{e_1 e_2}{g_1 g_2} \frac{\theta}{1 + \theta}, \quad \forall \theta \geq 0.$$

Nous appliquons la proposition 8.12 avec

$$G(X) = \frac{C_3 e_3^2 g (h_1 D_1 h_2 D_2)^3}{D e_1 e_2} X \left(\frac{e_1 e_2}{g_1 g_2} - X \right)^2, \quad F(X) = \mathcal{F}_{C_3, D, h_1 D_1 h_2 D_2, e_j, q}(X)$$

$$A = \frac{e_1 e_2 \gamma_1}{g_2}, \quad \vartheta_i = \frac{e_1 e_2}{g_1 g_2} \frac{\theta_i}{1 + \theta_i}, \quad (i = 1, 2).$$

Il en suit que

$$\begin{aligned} \# \mathcal{C}_{C_3, D, W}^{\varepsilon_i, \theta_j}(D_i h_i, e_j, q) &= \left(\sum_{\substack{l', m' \in \mathbf{N}, F(l') \equiv 0 [m'] \\ (m')^2 \varepsilon_2 G(A - \frac{l'}{m'}) \leq B^{\frac{5}{6}}}} - \sum_{\substack{l', m' \in \mathbf{N}, F(l') \equiv 0 [m'] \\ (m')^2 \varepsilon_1 G(A - \frac{l'}{m'}) \leq B^{\frac{5}{6}}}} \right) \mathbf{1}_{\vartheta_2, \vartheta_1} \left(A - \frac{l'}{m'} \right) \\ &= B^{\frac{1}{5}} \frac{(D e_1 e_2)^{\frac{1}{2}} Z_{\mathcal{F}}}{(C_3 e_3^2 g (h_1 D_1 h_2 D_2)^3)^{\frac{1}{2}}} \left(\frac{1}{\sqrt{\varepsilon_2}} - \frac{1}{\sqrt{\varepsilon_1}} \right) \int_{\vartheta_1}^{\vartheta_2} \frac{dx}{\sqrt{x \left(\frac{e_1 e_2}{g_1 g_2} - x \right)^2}} + O \left(B^{\frac{1}{5}} \frac{(\log \log B)^{\frac{5}{6}}}{(\log B)^{\frac{2-\sqrt{2}}{6}}} \right) \\ &= B^{\frac{1}{5}} \frac{D^{\frac{1}{2}} Z_{\mathcal{F}}}{2 C_3^{\frac{1}{2}} e_3 g (D_1 h_1 D_2 h_2)} \int_{\varepsilon_2}^{\varepsilon_1} \int_{\theta_2}^{\theta_1} \frac{dz d\theta}{z^{\frac{3}{2}} \sqrt{\theta(1+\theta)}} + O \left(B^{\frac{1}{5}} \frac{(\log \log B)^{\frac{5}{6}}}{(\log B)^{\frac{2-\sqrt{2}}{6}}} \right) \\ &= B^{\frac{1}{5}} \frac{D^{\frac{1}{2}} Z_{\mathcal{F}}}{2 C_3^{\frac{1}{2}} e_3 g (D_1 h_1 D_2 h_2)} \int \int_{\substack{\varepsilon_2 \leq z \leq \varepsilon_1 \\ \theta_2 < \frac{z}{w} < \theta_1}} \frac{dz dw}{zw \sqrt{z+w}} + O \left(B^{\frac{1}{5}} \frac{(\log \log B)^{\frac{5}{6}}}{(\log B)^{\frac{2-\sqrt{2}}{6}}} \right). \end{aligned}$$

Nous obtenons donc la formule énoncée avec

$$\mathcal{E}_{C_3, D}(D_i h_i, e_j, q) = \frac{D^{\frac{1}{2}}}{2 C_3^{\frac{1}{2}} e_3 g (D_1 h_1 D_2 h_2)}.$$

□

Il nous reste à traiter le terme d'erreur introduit dans (8.24). Le même raisonnement comme précédemment nous donne l'estimation

$$(8.47) \quad \begin{aligned} \# \text{Er}_{C_3, D, W}^{\varepsilon_i, \theta_j}(D_i) &\ll_{C_3, D, W, \varepsilon_i} \\ B^{\frac{1}{5}} \int \int \chi \left(R(\varepsilon_i, \theta_j) \cap \left\{ (w, z) : \frac{D^{\frac{5}{2}} C_3^{\frac{1}{2}} W^3}{D_1^2 D_2^2} \leq zw \sqrt{z+w} \leq \frac{D^{\frac{5}{2}} C_3^{\frac{1}{2}} W^3}{D_1^2 D_2^2} + \mu_0(B^{-\frac{2}{5}}) \right\} \right) &\frac{dz dw}{zw \sqrt{z+w}} \\ + O \left(B^{\frac{1}{5}} \frac{(\log \log B)^{\frac{5}{6}}}{(\log B)^{\frac{2-\sqrt{2}}{6}}} \right) &= O \left(B^{\frac{1}{5}} \frac{(\log \log B)^{\frac{5}{6}}}{(\log B)^{\frac{2-\sqrt{2}}{6}}} \right). \end{aligned}$$

Rassemblons ensemble des égalités (8.15), (8.26), (8.28), (8.40), (8.44) et (8.47), nous sommes prêt à démontrer le théorème 8.6.

Démonstration du théorème 8.6. Dans ce qui suit, pour éviter des formules superflues, on écrira le terme d'erreur sous la forme non-explicite $o(B^{\frac{1}{5}})$ car il sera clair d'où viennent ces contributions. Soient $C_3, D, W, D_1, D_2, q \in \mathbf{N}$ tels que

$$\text{pgcd}(C_3 W, D) = \text{pgcd}(D_1, D_2) = 1, \quad D_1 D_2 \mid D, \quad q \mid W.$$

En les fixant et en sommant sur les formules (8.28), (8.40), (8.44), nous obtenons la formule pour le cardinal de l'ensemble $B_{C_3, D, W}^{\varepsilon_i, \theta_j}(D_i, q)$ comme suit. Il existe une constante

$$Z_{C_3, D, W}(D_i, q) = \sum_{\substack{h_1, h_2 \in \mathbf{N}_{\geq 1} \\ D_1 h_1, D_2 h_2 \mid D \\ \text{pgcd}(h_1, h_2) = 1}} \mu(h_1) \mu(h_2) \sum_{\substack{e_1 e_2 \mid g(h_1 D_1 h_2 D_2), \text{pgcd}(e_1, e_2) = 1 \\ e_1 e_2 e_3 \mid q D, \text{pgcd}(e_3, g(h_1 D_1 h_2 D_2)) = 1}} \left(\prod_{j=1}^3 \mu(e_j) \right) \frac{Z_{\mathcal{F}} D^{\frac{1}{2}}}{2 C_3^{\frac{1}{2}} e_3 g (D_1 h_1 D_2 h_2)}$$

telle que

$$\# B_{C_3, D, W}^{\varepsilon_i, \theta_j}(D_i, q) = B^{\frac{1}{5}} Z_{C_3, D, W}(D_i, q) \int \int \chi_{\varepsilon_i, \theta_j} \frac{\mathcal{E}_{C_3, D, D_i, W}(zw \sqrt{z+w})}{zw \sqrt{z+w}} dz dw + o(B^{\frac{1}{5}}).$$

Nous concluons de (8.26) qu'en fixant C_3, D, W, D_1, D_2 ,

$$\begin{aligned} \#\tilde{E}_{C_3, D, W}^{\varepsilon_i, \theta_j}(D_i) &= \sum_{q|W} \mu\left(\frac{W}{q}\right) B_{C_3, D, W}^{\varepsilon_i, \theta_j}(D_i, q) \\ &= B^{\frac{1}{5}} \int \int \chi_{\varepsilon_i, \theta_j} \frac{\mathbf{E}_{C_3, D, D_i, W}(zw\sqrt{z+w})}{zw\sqrt{z+w}} dz dw + o(B^{\frac{1}{5}}), \end{aligned}$$

où

$$\mathbf{E}_{C_3, D, D_i, W}(x) = \sum_{q|W} \mu\left(\frac{W}{q}\right) Z_{C_3, D, W}(D_i, q) \mathfrak{E}_{C_3, D, D_i, q}(x).$$

En reportant dans (8.15) et (8.24), rappelons l'estimation (8.47), nous obtenons finalement

$$\begin{aligned} \delta_{\varrho^{-1}(S_1) \cap U, Q, B, \frac{5}{2}}(\chi_{\varepsilon_i, \theta_j}) &= \sum_{\substack{C_3, D, W \in \mathbf{N}_{\geq 1} \\ \text{pgcd}(C_3 W, D) = 1}} \sum_{\substack{D_1 D_2 | D \\ \text{pgcd}(D_1, D_2) = 1}} \#\tilde{E}_{C_3, D, W}^{\varepsilon_i, \theta_j}(D_i) \\ &= B^{\frac{1}{5}} \int \int \chi_{\varepsilon_i, \theta_j}(w, z) \frac{\mathbf{E}(zw\sqrt{z+w})}{zw\sqrt{z+w}} dz dw + o(B^{\frac{1}{5}}). \end{aligned}$$

où

$$(8.48) \quad \mathbf{E}(x) = \sum_{\substack{C_3, D, W \in \mathbf{N}_{\geq 1} \\ \text{pgcd}(C_3 W, D) = 1}} \sum_{\substack{D_1 D_2 | D \\ \text{pgcd}(D_1, D_2) = 1}} \mathbf{E}_{C_3, D, D_i, W}(x).$$

□

8.3.8. Résultat pour d'autres régions. Esquissons la La méthode et les calculs sont presque pareils. Nous ne rentrerons pas dans des détails.

Région S_2 . Rappelons (3.9). Les points dans cette région sont (dans le voisinage $\max(|w|, |z|) < 1$) paramétrés par les couples $(a, b) \times (u, v) \in T_2$. Nous avons toujours (8.9) et (8.10), comme $0 < -w < z$. Le paramètre D reste positif en vertu du lemme 5.1.

Théorème 8.14.

$$\delta_{\varrho^{-1}(S_2) \cap U, Q, B, \frac{5}{2}}(\chi_{\varepsilon_i, \theta_j}) = B^{\frac{1}{5}} \left(\int \chi_{\varepsilon_i, \theta_j}(w, z) \frac{\mathbf{E}'(-wz\sqrt{z+w})}{-wz\sqrt{z+w}} dw dz + O_{\varepsilon_i, \theta_j} \left(\frac{(\log \log B)^{\frac{5}{6}}}{(\log B)^{\frac{2-\sqrt{2}}{6}}} \right) \right),$$

où $\mathbf{E}'(\cdot)$ est certaine fonction en escalier définie de façon analogue à $\mathbf{E}(\cdot)$ (8.48).

Régions S_3 et S_4 . Pour ces deux régions il y a une modification légère sur le calcul de la hauteur et celui de la distance en comparant avec (8.9) et (8.10). Par exemple dans S_4 ,

$$\max_{f \in S} |f| = |y^2 t^2|,$$

$$d((\varrho \circ \Psi)(a, b) \times (u, v)) = -z = -\frac{\frac{u^2}{b} - \frac{b}{a}}{\frac{b}{a} - \frac{u}{v}}.$$

Des calculs similaires montrent qu'elle ne donne pas de différence essentielle. C'est en fait la partie mince M qui obscurcit l'équidistribution des approximants locaux. Rappelons la proposition 8.5 et l'observation dans 8.3.5, l'ensemble mince M correspond aux paramètres $-C_3 D \in \square$. En dehors de M , autrement dit, en ne considérons que la famille d'équations $\mathcal{E}_{C_3, D}$ (8.2) avec $-C_3 D \notin \square$, nous pouvons démontrer :

Théorème 8.15.

$$\delta_{\varrho^{-1}(S_i) \cap U \setminus M, Q, B, \frac{5}{2}}(\chi_{\varepsilon_i, \theta_j}) = \begin{cases} B^{\frac{1}{5}} \left(\int \chi_{\varepsilon_i, \theta_j}(w, z) \frac{\mathbf{E}'(-wz\sqrt{-(w+z)})}{-wz\sqrt{-(w+z)}} dw dz + O_{\varepsilon_i, \theta_j} \left(\frac{(\log \log B)^{\frac{5}{6}}}{(\log B)^{\frac{2-\sqrt{2}}{6}}} \right) \right), & (i = 3); \\ B^{\frac{1}{5}} \left(\int \chi_{\varepsilon_i, \theta_j}(w, z) \frac{\mathbf{E}'(wz\sqrt{-(w+z)})}{wz\sqrt{-(w+z)}} dw dz + O_{\varepsilon_i, \theta_j} \left(\frac{(\log \log B)^{\frac{5}{6}}}{(\log B)^{\frac{2-\sqrt{2}}{6}}} \right) \right), & (i = 4). \end{cases}$$

où

$$\mathbf{E}''_{S_i}(\cdot) = \sum_{\substack{C_3, W \in \mathbf{N}_{\geq 1}, D \in \mathbf{Z}_{< 0} \\ \text{pgcd}(C_3 W, D) = 1, -DC_3 \notin \square}} \sum_{\substack{D_1 D_2 | D \\ \text{pgcd}(D_1, D_2) = 1}} \mathbf{E}''_{S_i, C_3, D, D_i, W}(\cdot)$$

est définie de façon analogue à des quantité dans la preuve du théorème 8.6.

8.4. Décompte de la partie mince. Dans cette partie, nous dénombrons les points dans la partie mince M qui rentrent dans le zoom critique. Rappelons-nous que M est entièrement dans la région R_2 . Dans l'esprit de l'équidistribution globale, il ne serait pas raisonnable à croire que la distribution locale autour de Q soit concentrée sur une partie semi-algébrique qui n'est pas dense pour la topologie réelle.

8.4.1. Une minoration sur la région R_2 . Dans la régions R_2 , grâce à la famille des courbes cuspidales (3.13), on est capable de localiser des points dans le grossissement ainsi qu'une minoration pour la famille de mesure $\{\delta_{\varrho^{-1}(R_2) \cap U, Q, B, \frac{5}{2}}\}$. Cependant, à cause de la complexité des conditions de divisibilité fournies par son paramétrage, nous n'allons pas l'utiliser ni donner des détails.

Proposition 8.16. *Pour tout fonction positive f , on a*

$$\delta_{\varrho^{-1}(R_2) \cap U, Q, B, \frac{5}{2}}(f) \geq B^{\frac{1}{5}} \delta_{R_{a,b}}(f),$$

où $\delta_{R_{a,b}}$ est la mesure limite de la famille $\{\delta_{R_{a,b}, Q, B, \frac{5}{2}}\}$.

Démonstration. Observons

$$\delta_{\varrho^{-1}(R_2) \cap U, Q, B, \frac{5}{2}}(f) \geq \delta_{R_{a,b}, Q, B, \frac{5}{2}}(f).$$

La minoration résulte directement du théorème 2.8. □

8.4.2. Minoration et majoration globale.

Lemme 8.17. *Pour $\varepsilon \gg 1$, nous avons*

$$\delta_{M, Q, B, \frac{5}{2}}(\chi(\varepsilon)) \gg_{\varepsilon} B^{\frac{1}{5}} \log B.$$

Démonstration. Nous nous bornons à la région S_4 . Nous avons

$$\max_{f \in S} |f| = |y^2 t^2|.$$

Compte-tenu du paramétrage (5.5), rappelons que $au^2 - bv^2 < 0$ (lemme 5.1) et $bv - au > 0$. Nous considérons $P = (a, b) \times (u, v) \in T_2$ vérifiant l'équation avec la divisibilité

$$au^2 - bv^2 = a - b, \quad b - a \mid u - v.$$

Nous avons alors

$$D_1 = D_2 = 1, \quad d_3 = b - a.$$

La condition de zoom $B^{\frac{2}{5}} d(P) \leq \varepsilon$ et la condition de hauteur se traduisent maintenant en

$$(8.49) \quad -\frac{\frac{u^2}{v^2} - \frac{b}{a}}{\frac{b}{a} - \frac{u}{v}} \leq \varepsilon B^{-\frac{2}{5}}, \quad \frac{uv(bv - au)^3}{D_1^2 D_2^2 d_3^3} = \frac{uv(bv - au)^3}{(b - a)^3} \leq B$$

Comme indiqué au début du texte, nous sommes ramené au problème de congruence

$$(8.50) \quad (u + 1)(u - 1) \equiv 0[u + v], \quad a = \frac{v^2 - 1}{k(u, v)}, \quad b = \frac{u^2 - 1}{k(u, v)}.$$

Avec cela nous récrivons (8.49) comme

$$(8.51) \quad \varepsilon v(uv + 1) \geq B^{\frac{2}{5}}(u + v), \quad uv(uv + 1)^3 \leq B(u + v)^3.$$

Nous précétons comme l'argument dans la démonstration du lemme 8.9. Ces deux inégalités donnent

$$\frac{u^4 v^4}{(u + v)^3} \leq B \leq \varepsilon^{\frac{5}{2}} \frac{u^{\frac{5}{2}} v^5}{(u + v)^{\frac{5}{2}}} \left(1 + O_{\varepsilon}(B^{-\frac{2}{5}})\right),$$

ce qui implique que pour B suffisamment grand,

$$\varepsilon \frac{v}{u} \sqrt{1 + \frac{v}{u}} \geq 1 - O_{\varepsilon}(B^{-\frac{2}{5}}) \geq \frac{1}{2}.$$

Soit $\theta > 1$ tel que

$$\frac{\theta^3}{1 + \theta} = 4\varepsilon^2, \quad \frac{2(1 + \theta)^{\frac{7}{2}}}{\theta^{\frac{5}{2}}} > 2^{\frac{46}{5}}.$$

Un tel θ existe lorsque ε est suffisamment grand. Alors tout (u, v) vérifiant (8.51) satisfait nécessairement à

$$1 + \frac{u}{v} \leq 4\varepsilon^2 \left(\frac{u}{v}\right)^3,$$

d'où $\frac{u}{v} \leq \theta$. Nous en concluons que la condition

$$\frac{(1+\theta)^3}{\varepsilon\theta} B^{\frac{2}{5}} \leq (u+v)^2 \leq 2^{\frac{16}{5}} B^{\frac{2}{5}}$$

implique (8.51). De plus, la condition $\text{pgcd}(u, v) = 1$, qui est équivalente à $\text{pgcd}(u, u+v) = 1$, est une condition nécessaire pour que la congruence (8.50) ait des solutions. Le dénombrement du zoom est donc minoré par le cardinal des $(l, m) \in \mathbf{N}_{\geq 1}^2$ tels que

$$C_1(\varepsilon)B^{\frac{1}{5}} \leq m \leq C_2(\varepsilon)B^{\frac{1}{5}}, \quad l^2 - 1 \equiv 0[m], \quad 1 \leq l \leq m < 2l.$$

Remarquons que si (l, m) est une solution, le couple $(m-l, m)$ l'est aussi mais elle vérifie $1 \leq m-l < l$. Ceci signifie que les solutions apparaissent en couples et exactement une nous convient. La majoration cherchée est donc la conséquence de la proposition 7.11 :

$$\delta_{M, Q, B, \frac{5}{2}}(\chi(\varepsilon)) \geq \frac{1}{2} \sum_{C_1(\varepsilon)B^{\frac{1}{5}} \leq m \leq C_2(\varepsilon)B^{\frac{1}{5}}} \varrho_{X^2-1}(m) \sim_{\varepsilon} B^{\frac{1}{5}} \log B.$$

□

Lemme 8.18. *Pour tout région R à support compact dans $S_3 \cup S_4$, nous avons*

$$\delta_{M, Q, B, \frac{5}{2}}(\chi(R)) \ll_R B^{\frac{1}{5}} \log B.$$

Démonstration. Chaque équation (8.2) contribue des points d'ordre de grandeur $O_{C_3, D}(B^{\frac{1}{5}} \log B)$ (À cette fin nous pouvons oublier la condition de zoom et celle de coprimauté). En effet, compte-tenu de la proposition 8.5, une telle contribution est majorée par

$$\sum_{k \leq CB^{\frac{1}{5}}} \varrho_{C_3 X^2 + D}(k) \sim_{C_3, D} B^{\frac{1}{5}} \log B,$$

où $C = C(C_3, D) > 0$. D'après un argument similaire pour obtenir les équations de seuil comme (8.16) dans les régions S_3 et S_4 , soit $\varepsilon > 0$ tel que $R \subset \mathbb{B}(0, \varepsilon)$, nous n'avons qu'un nombre de paramètres C_3, D possibles paramétrant localement M (cf. Proposition 8.5). D'où la majoration énoncée. □

Corollaire 8.19. *La partie mince M est localement faiblement accumulatrice.*

Démonstration. Ceci suit du fait que

$$\alpha(M, Q) = \alpha(R_{a,b}, Q) = \frac{5}{2} > \alpha(Q, Y_3) = 2$$

pour toute courbe cuspidale $R_{a,b}$ et des deux lemmes précédents. □

9. PERSPECTIVES ET QUESTIONS

9.1. Lien avec la notion de liberté. Avant la découverte des résultats pour Y_3 et Y_4 , la constante d'approximation des sous-variétés donne un indicateur fidèle pour détecter les points qui doivent être exclus pour l'existence d'une mesure du zoom critique. Suite à l'apparence de variétés localement faiblement accumulatrices et même de parties mince, nous ne pouvons plus espérer l'existence d'une distribution localement en simplement supprimant des sous-variétés strictes. Nous manquons un critère vis-à-vis aux points eux-même.

Dans [37], s'inspirant des études des courbes rationnelles sur les variétés, E. Peyre a introduit la notion de *liberté* pour les points rationnels originalement due à Bost. Ceci a pour but d'améliorer le principe de Batyrev-Manin. La liberté est définie par chaque point rationnel. L'espérance générale est que les points qui sont susceptible d'être accumulateurs ainsi qu'être exclus, ont la liberté réduite.

Comme déjà constaté par E. Peyre dans un travail non-publié, pour la surface $\mathbf{P}^1 \times \mathbf{P}^1$ où il n'y a pas d'accumulation globale, la liberté peut caractériser les deux droites (horizontale et verticale) contenant asymptotiquement les points plus proches du point Q . Il a d'espérer que ce phénomène puisse s'étendre aux cas plus généraux. Seulement des études plus approfondies nous permet donner des évidences à trancher.

9.2. Interprétation de la mesure critique. Comme premier exemple de variété torique non complètement symétrique, la fonction de densité, qui a des pôles définies par les équations (asymptotiques) de 3 droites localement accumulatrices, met en lumière de certaine « non-régularité » dans l'uniformité de la distribution des points rationnels. Plus précisément, la concentration proche de chaque droite n'est pas pareille. Ceci est reflétée par la puissance sur chaque équation. Dans un travail à venir, compte-tenu d'une autre variété torique obtenue en contractant le 6-ième rayon de l'éventail de Y_3 , qu'on va appeler Y_2 , un phénomène similaire est également constaté. La puissance sur les 2 droites localement accumulatrices dans ce cas est respectivement 1 et 2. Une explication *a priori* pourrait être **la configuration** des points éclatés. Elle façonne des courbes rationnelles qui réalisent l'approximation essentielle et finalement résulterait le mis en forme de la mesure limite.

Un phénomène surprenant est que pour la fonction de densité apparaissant dans *tous les exemples*, la somme des ordres de pôles vaut exactement la constante essentielle (le facteur de zoom que l'on a pris). En fait il apparaît déjà dans le raisonnement pour trouver les équations de seuils (8.16) (cf. §8.3.3). Ce phénomène devrait être partiellement de nature géométrique et il serait intéressant de trouver des interprétations ultérieures.

ANNEXE A. ESPACES DE MODULE DES COURBES RATIONNELLES ET THÉORIE DE DÉFORMATION

Tout au long de cet appendice fixons k un corps de caractéristique 0. Une *courbe rationnelle* signifie une courbe projective, réduite, irréductible et birationnelle à \mathbf{P}^1 .

Soient X un k -schéma, $n = \dim X$, B un sous-schéma de \mathbf{P}_k^1 dont la longueur sur k notée $l_k(B)$ est finie et $g : B \rightarrow X$ un k -morphisme. On note $\text{Mor}(\mathbf{P}_k^1, X, g, B)$ l'espace paramétrant les k -morphisms $f : \mathbf{P}_k^1 \rightarrow X$ tels que $f|_B = g$. On note aussi \mathcal{I}_B le faisceau d'idéaux de B . Le théorème général suivant décrit la géométrie de cet espace.

Théorème A.1 (cf. [25] II. Theorem 1.7, [10] 2.9-2.11). *Soit $f \in \text{Mor}(\mathbf{P}_k^1, X, g, B)(k)$. Alors*

— *L'espace tangent de Zariski de $\text{Mor}(\mathbf{P}_k^1, X, g, B)_{[f]}$ est isomorphe à $H^0(\mathbf{P}_k^1, f^*T_X \otimes \mathcal{I}_B)$.*

— *$\text{Mor}(\mathbf{P}_k^1, X, g, B)_{[f]}$ est une partie constructible d'un schéma lisse de dimension $h^0(\mathbf{P}_k^1, f^*T_X \otimes \mathcal{I}_B)$ dont le faisceau d'idéaux est engendré par $h^1(\mathbf{P}_k^1, f^*T_X \otimes \mathcal{I}_B)$ équations. En particulier,*

$$\dim \text{Mor}(\mathbf{P}_k^1, X, g, B)_{[f]} \geq h^0(\mathbf{P}_k^1, f^*T_X \otimes \mathcal{I}_B) - h^1(\mathbf{P}_k^1, f^*T_X \otimes \mathcal{I}_B).$$

— *Si $H^1(\mathbf{P}_k^1, f^*T_X \otimes \mathcal{I}_B) = 0$, $\text{Mor}(\mathbf{P}_k^1, X, g, B)$ est lisse en f de dimension $h^0(\mathbf{P}_k^1, f^*T_X \otimes \mathcal{I}_B)$.*

On appelle *dimension espérée* de $\text{Mor}(\mathbf{P}_k^1, X, g, B)_{[f]}$ le nombre

$$h^0(\mathbf{P}_k^1, f^*T_X \otimes \mathcal{I}_B) = \deg f^*T_X - (l_k(B) - 1) \dim X.$$

On désigne par $[u : v]$ les coordonnées homogènes de \mathbf{P}^1 et on choisit l'ouvert affine $\text{Spec}(k[T]) = (v \neq 0)$ de \mathbf{P}_k^1 . Fixons dans la suite $Q \in X(k)$ un point lisse. Soit $F(T) \in k[T]$ un polynôme. Considérons sa factorisation sur $k[T]$:

$$(A.1) \quad F(T) = \prod_{i=1}^{r_F} F_i(T)^{e_i},$$

où r_F est le nombre de facteurs irréductibles. Notons $d_F = \deg F(T)$, $d_i = \deg F_i(T)$, alors

$$l_k(B_F) = d_F = \sum_{i=1}^{r_F} e_i d_i.$$

Définissons

$$f_i = \begin{cases} 2e_i, & \text{si } d_i \geq 2; \\ e_i, & \text{si } d_i = 1. \end{cases}$$

Considérons le schéma

$$B_F = \text{Spec} \left(\frac{k[T]}{F(T)} \right)$$

et le morphisme $g_{B_F} : B_F \rightarrow X$ tel que $g(B_F(\bar{k})) = Q$ et le morphisme structurel soit le morphisme de zéro. Nous y associons le nombre

$$\mathcal{M}_F = \max_{1 \leq i \leq r_F} f_i \leq l_k(B_F).$$

Définition A.2. Soit une courbe rationnelle $f : \mathbf{P}_k^1 \rightarrow X$ telle que $Q \in \text{Im}(f)(\bar{k})$. La *multiplicité restrictive* $\mathcal{M}_Q^{\text{res}} \in \mathbf{N}$ en Q est définie comme

$$\mathcal{M}_Q^{\text{res}} = \max \{ \mathcal{M}_F : (B_F, g_{B_F}), f|_{B_F} = g_{B_F} \}.$$

Nous énonçons le théorème A.1 dans le cadre pour $\text{Mor}(\mathbf{P}_k^1, X, g_{B_F}, B_F)_{[f]}$ et \mathcal{I}_{B_F}

Proposition A.3. Soient $f : \mathbf{P}_k^1 \rightarrow X$ et $a_i, 1 \leq i \leq n$ définis de la manière

$$f^*T_X = \bigoplus_{i=1}^n \mathcal{O}(a_i).$$

S'il existe (B_F, g_{B_F}) comme ci-dessus tel que $f|_{B_F} = g_{B_F}$, alors le schéma $\text{Mor}(\mathbf{P}_k^1, X, g_{B_F}, B_F)_{[f]}$ est lisse en f et de dimension espérée

$$h^0(\mathbf{P}_k^1, f^*T_X \otimes \mathcal{I}_{B_F}) = \deg f^*T_X - (l_k(B_F) - 1)n,$$

si $a_i \geq l_k(B_F), \forall 1 \leq i \leq n$.

Démonstration. Nous avons

$$H^1(\mathbf{P}_k^1, f^*T_X \otimes \mathcal{I}_{B_F}) = H^1(\mathbf{P}_k^1, \bigoplus_{i=1}^n \mathcal{O}(a_i - l_k(B_F))) = 0.$$

L'énoncé résulte donc du théorème précédent. □

Nous serons intéressé principalement par les deux cas suivants, qui ont la longueur minimale pour garantir la multiplicité restrictive fixée.

Cas I : Pour tout $N \in \mathbf{N}_{\geq 1}$, considérons le schéma

$$B_N = \text{Spec} \left(\frac{k[T]}{(T-a)^N} \right).$$

Il est un sous-schéma fermé de longueur finie de \mathbf{P}_k^1 à support en $a \in k$ dont le faisceau d'idéaux $I_{B_N} \simeq \mathcal{O}_{\mathbf{P}^1}(-N)$. Supposons qu'il existe $f : \mathbf{P}^1 \rightarrow X$ tel que $f([a : 1]) = Q \in X(k)$ soit un point lisse et que

$$g_N = f|_{B_N} : \text{Spec} \left(\frac{k[T]}{(T-a)^N} \right) \rightarrow X,$$

soit le morphisme de zéro. Ceci signifie que localement les équations qui paramètrent cette courbe annulent en Q à l'ordre au moins N . La courbe a donc une singularité « cuspidale » en Q d'ordre au moins N . Nous avons dans ce cas

$$\mathcal{M}_{(T-a)^N} = N = l_k(B_N).$$

Soient $a_i \in \mathbf{N}, 1 \leq i \leq n$ tel que

$$f^*T_X = \bigoplus_{i=1}^n \mathcal{O}_{\mathbf{P}^1}(a_i).$$

D'après la proposition précédente, la courbe f peut être déformée en conservant l'ordre d'annulation N en Q (on dit dans ce cas f est libre sur B_N) uniquement si $a_i \geq N, \forall 1 \leq i \leq n$.

Cas II : Supposons que $2 \mid N$ et fixons $F_2(T) \in k[T]$ irréductible de degré 2. Considérons maintenant le sous-schéma de \mathbf{P}_k^1 :

$$B_{N, F_2} = \text{Spec} \left(\frac{k[T]}{F_2(T)^{\frac{N}{2}}} \right).$$

Il est de dimension 0 à support sur les racines de $F(T)$, chacun étant de longueur $\frac{N}{2}$. Il est donc de même longueur que B_N défini précédemment et $\mathcal{M}_{F_2} = N$. Nous notons $g_{N, F_2} : B_{N, F_2} \rightarrow X$ le morphisme de zéro envoyant ces points à Q . Un morphisme $f : \mathbf{P}^1 \rightarrow X$ dont la restriction à B_{N, F_2} est égale à g_{N, F_2} paramètre une courbe rationnelle localement ayant 2 branches et chacune est de multiplicité nodale $\frac{N}{2}$ en Q . Une exemple basique est $m = 2$ et

$$(A.2) \quad F_2(T) = T^2 - a, \quad a \in k \setminus k^2,$$

qui est un représentant du comportement local de la courbe avec la paramétrisation (5.4).

Corollaire A.4. Soit $f : \mathbf{P}^1 \rightarrow X$ birationnel sur son image qui est une courbe rationnelle.

— Supposons que $f|_{B_N} = g_N$. Alors si f est libre sur B_N , nous avons

$$\deg f^*T_X \geq (N-1) \dim X + 3.$$

— Supposons que $f|_{B_{N, F_2}} = g_{N, F_2}$. Alors si f est libre sur B_{N, F_2} , nous avons

$$\deg f^*T_X \geq (N-1) \dim X + 2.$$

Démonstration. Le morphisme $\text{Mor}_{\text{bir}}(\mathbf{P}^1, X)^{\text{sn}} \rightarrow \text{Chow}(X)$ est affine et $\text{Aut}(\mathbf{P}^1)$ invariant (cf. [25, II 2.7]). La liberté d'envoyer deux points différents sur deux autres est de dimension 2. Nous avons alors dans chaque cas

$$\dim \text{Mor}(\mathbf{P}_k^1, X, g_N, B_N)_{[f]} \geq \dim \text{Aut}(\mathbf{P}^1) = 3,$$

$$\dim \text{Mor}(\mathbf{P}_k^1, X, g_{N, F_2}, B_{N, F_2})_{[f]} \geq 2.$$

□

Ainsi, ayant fixé le degré, une courbe nodale est plus « facile » d'être déformé qu'une courbe cuspidale.

ANNEXE B. COURBES RATIONNELLES SUR LES VARIÉTÉS TORIQUES

B.1. Torseur universel et relèvement des courbes rationnelles. La notion du toseur universel fut introduite en premier par Colliot-Thélène et Sansuc [7] pour des variétés rationnelles. Pour les variétés toriques elle a reçu une description explicite grâce aux travaux de Cox [8] et de Salberger [38].

Fixons un réseau entier $N \simeq \mathbf{Z}^n$ et son dual $M = N^\vee$. Soit X une variété torique déployée lisse projective, définie par un éventail $\Delta \subset N_{\mathbf{R}}$ complet et régulier. On note $T = \text{Spec}(k[M]) \simeq \mathbf{G}_m^n$. On peut identifier l'ensemble des caractères (resp. co-caractères) $X_*(\mathcal{T}) \simeq N$ (resp. $X^*(\mathcal{T}) \simeq M$). Notons Δ_{\max} l'ensemble des cônes maximaux (c'est-à-dire les cônes de dimension n) et $\Delta(1) = \{\varrho_1, \dots, \varrho_{n+r}\}$ l'ensemble des vecteurs primitifs des rayons (c'est-à-dire les cônes de dimension 1) dans Δ , chacun correspondant à un des diviseurs au bord D_i , $1 \leq i \leq n+r$.

Définition B.1. On appelle *relation* toute égalité $\mathcal{P} : \sum_i a_i \varrho_i = 0$, $a_i \in \mathbf{Z}$. On note $\mathcal{P}(1) \subset \Delta(1)$ les rayons ϱ_i tels que $a_i \neq 0$. Elle est dite *positive* si tous les coefficients a_i sont positifs.

Rappelons la suite exacte de \mathbf{Z} -modules fondamentale :

$$(B.1) \quad 0 \longrightarrow X^*(\mathcal{T}) \longrightarrow \mathbf{Z}^{\Delta(1)} \longrightarrow \text{Pic}(X) \longrightarrow 0.$$

L'équivalence algébrique et l'équivalence rationnelle coïncidant sur les variétés torique (cf. [9, Proposition 6.3.15]), on peut donc identifier $\text{Pic}(X)$ avec $\text{NS}(X)$. On note $N_1(X)$ le groupe des 1-cycles modulo les équivalences algébriques. En dualisant (B.1), on a

$$(B.2) \quad 0 \longrightarrow N_1(X) \xrightarrow{f} \mathbf{Z}^{\Delta(1)} \xrightarrow{g} X_*(\mathcal{T}) \longrightarrow 0.$$

Pour une courbe C dans X , son image sous l'application f est donnée par

$$f([C]) = (\langle D_i \cdot C \rangle)_i \in \mathbf{Z}^{\Delta(1)}.$$

Pour $(a_i)_i \in \mathbf{Z}^{\Delta(1)}$,

$$g((a_i)_i) = \sum_{i=1}^{n+r} a_i \rho_i.$$

D'où le groupe $N_1(X)$, comme étant le noyau de g , est en bijection avec l'ensemble des relations, qui s'injectent dans $\mathbf{Z}^{\Delta(1)}$.

Considérons la suite exacte des tores déployés correspondant à la suite exacte de \mathbf{Z} -modules (B.1) :

$$(B.3) \quad 1 \longrightarrow T_{\text{NS}} \longrightarrow \mathbf{G}_m^{\Delta(1)} \longrightarrow \mathcal{T} = \mathbf{G}_m^n \longrightarrow 1.$$

On considère l'ouvert de l'espace affine $\mathbf{A}^{\Delta(1)}$ avec les coordonnées $(X_i)_{i \in \Delta(1)}$:

$$(B.4) \quad \mathfrak{T} = \mathbf{A}^{\Delta(1)} \setminus \bigcup_{\substack{\mathcal{P} \subset \Delta(1) \\ \bigcap_{i \in \mathcal{P}} D_i = \emptyset}} \left(\bigcap_{i \in \mathcal{P}} (X_i = 0) \right) = \mathbf{A}^{\Delta(1)} \setminus \left(\bigcap_{\sigma \in \Delta_{\max}} \left(\prod_{i \notin \sigma(1)} X_i = 0 \right) \right)$$

qui contient le tore $\mathbf{G}_m^{\Delta(1)}$. Alors on a que X est isomorphe au quotient géométrique $\mathfrak{T} // T_{\text{NS}}$. Étant donné une famille de rayons $\{\rho_1, \dots, \rho_n\}$ engendrant le réseau $N = X_*(\mathcal{T})$ les autres éléments de $\Delta(1)$ s'écrivent

$$(B.5) \quad \rho_{n+j} = - \sum_{i=1}^n a_{i,j} \rho_i, \quad a_{i,j} \in \mathbf{Z}, \quad 1 \leq j \leq r.$$

On note $\{\varrho_1^\vee, \dots, \varrho_n^\vee\}$ sa base duale de $X^*(\mathcal{T})$. L'application $\pi : \mathfrak{T} \rightarrow \mathfrak{T} // T_{\text{NS}} \simeq X$ s'écrit dans les coordonnées de $\mathbf{A}^{\Delta(1)}$, qu'on appelle *coordonnées de Cox* :

$$(B.6) \quad \pi : \pi^{-1}\mathcal{T} \longrightarrow \mathcal{T} \\ (X_1, \dots, X_{n+r}) \longmapsto \left(\prod_{j=1}^{n+r} X_j^{\langle \varrho_i^\vee, \varrho_j \rangle} \right)_{1 \leq i \leq n} = \left(\frac{\prod_{i \in I^+} X_i^{a_{1,i}}}{\prod_{j \in I^+} X_j^{a_{1,j}}}, \dots, \frac{\prod_{i \in I^+} X_i^{a_{n,i}}}{\prod_{j \in I^+} X_j^{a_{n,j}}} \right),$$

où pour $I \in \{1, \dots, n\}$, on désigne par I^+ (resp. I^-) l'ensemble des indices $j \in \{1, \dots, n+r\}$ tel que $\langle \varrho_I^\vee, \varrho_j \rangle > 0$ (resp. < 0) et $a_{I,j} = |\langle \varrho_I^\vee, \varrho_j \rangle| \in \mathbf{N}$. Notons T une indéterminée. Une courbe rationnelle est un $k(T)$ -point de X . On a la suite exacte longue de groupes de cohomologie

$$0 \rightarrow T_{\text{NS}}(k[T]) \rightarrow \mathfrak{T}(k[T]) \rightarrow X(k[T]) \rightarrow H_{\text{ét}}^1(\text{Spec}(k[T]), T_{\text{NS}}),$$

et l'on a

$$H_{\text{ét}}^1(\text{Spec}(k[T]), T_{\text{NS}}) = 0,$$

puisqu'il est factoriel, le morphisme

$$\mathfrak{T}(k[T]) \rightarrow X(k[T])$$

est donc surjectif. Une courbe rationnelle est représentée par une famille de polynômes homogènes $(f_i(u, v))$, $1 \leq i \leq n+r$ vérifiant la condition de co-primalité déduite de (B.4) :

$$(B.7) \quad \forall \mathcal{P} \subset \Delta(1), \bigcap_{\varrho_i \in \mathcal{P}} D_i = \emptyset \implies \text{pgcd}_{\varrho_i \in \mathcal{P}}(f_i(u, v)) = 1.$$

Leur *multi-degré* $\mathbf{d} = (d_1, \dots, d_{n+r})$ donne une relation positive

$$\sum_{i=1}^{n+r} d_i \varrho_i = 0.$$

Proposition B.2. *Les relations positives représentent des morphismes $\mathbf{P}^1 \rightarrow X$ non-constants dont l'image rencontre l'orbite ouverte.*

Démonstration. Les coefficients valent les nombres d'intersection avec les diviseur au bord. Si cette relation est positive, alors la courbe les intersecte proprement. \square

Notation : $N_{\mathcal{T}}(X) \subset N_1(X)$ désigne désormais l'ensemble des classes des 1-cycles rencontrant \mathcal{T} et s'identifie d'après Proposition B.2 à l'ensemble des relations positives.

B.2. Produire des courbes ayant des multiplicités restrictives. L'idée est qu'en composant avec des morphismes ramifiés $\mathbf{P}^1 \rightarrow \mathbf{P}^1$, nous pouvons augmenter le degré d'une courbe rationnelle et sa multiplicité restrictive.

On désigne par $[u : v]$ les coordonnées homogènes de \mathbf{P}^1 . Soit $h : \mathbf{P}^1 \rightarrow X$ de multi-degré \mathbf{d} envoyant $[0 : 1]$ à $Q \in \mathcal{T}(k)$. Pour un revêtement ramifié $\phi : \mathbf{P}^1 \rightarrow \mathbf{P}^1$ de degré m , définissons $f = h \circ \phi : \mathbf{P}^1 \rightarrow X$

$$\begin{array}{ccc} & \xrightarrow{f} & \\ \mathbf{P}^1 & \xrightarrow{\phi} \mathbf{P}^1 & \xrightarrow{h} X. \end{array}$$

Alors le multi-degré de f est $m\mathbf{d}$.

B.2.1. Soit ϕ définie par

$$[u : v] \longmapsto [u^m, v^m].$$

Si (avec les notations dans l'Annexe A et avec $a = 0$ dans B_N) $h|_{B_N} = g_N$, alors $f|_{B_{mN}} = g_{mN}$.

B.2.2. Soit ϕ définie par

$$[u : v] \mapsto [u^2 - av^2, v^2].$$

Notons $F_2(T) = T^2 - a$. Si $h|_{B_N} = g_N$, alors $f|_{B_{2N, F_2}} = g_{2N, F_2}$.

De cette manière nous pouvons construire des courbes de multi-degré arbitrairement grand avec les multiplicités restrictives augmentent aussi vite. Bien que les images des morphismes restent la même, si h est déjà libre sur B_N , alors le morphisme composé f est libre sur B_{nN} (ou B_{2N, F_2}) et donc à l'aide de déformation, les images des nouveaux morphismes devraient couvrir une partie dense de la variété.

Par contre, si le morphisme initial h satisfait à $h|_{B_{N, F_2}} = g_{N, F_2}$ pour certain $F_2(T)$ irréductible, les processus ci-dessus ne donnent pas la multiplicité restrictive souhaitée. Ceci pourrait expliquer pourquoi les courbes cuspidales sont importantes pour le problème général de distribution locale.

B.3. Compatibilité avec les exemples. Le but de section est de démontrer que les résultats pour toutes les surfaces étudiées jusqu'au présent, soumises à la condition $\alpha_{\text{ess}} > 2$, sont conformes à la formule empirique forte (1.4). De même pour la cohérence avec la formule faible (1.3) pour la seule surface Y_4 avec $\alpha_{\text{ess}} = 2$. Tout au long de cette section $Q \in \mathcal{T}(\mathbf{Q})$ et l'on peut choisir $Q = (1, 1)$. Le « degré » signifie toujours celui par rapport au fibré anti-canonique sauf explicitement mentionné.

En général il est naturel d'espérer que les courbes cuspidales se produisent lorsque le degré augmente. Toutefois déterminer de façon explicite la plus grande multiplicité N possible pour tout multi-degré d d'une variété torique arbitraire semble être difficile. La démonstration se fera cas par cas. Rappelons qu'on a identifié $N_{\mathcal{T}}(X)$ à toutes les relations positives. On dit qu'une relation positive $\sum_i a_i \varrho_i = 0$ est *irréductible* si elle ne peut pas être écrite en somme de deux relations positives $\sum_i b_i \varrho_i = 0, \sum_i c_i \varrho_i = 0$ avec $a_i = b_i + c_i$.

Lemme B.3. *Pour $X = \mathbf{P}^2, X_1, X_2, \mathbf{P}^1 \times \mathbf{P}^1, X_3, Y_3, Y_4, N_{\mathcal{T}}(X)$ est le cône engendré par les classes des relations irréductibles de degré à 4.*

Démonstration. Étant donné une relation positive $\mathcal{P} : \sum_{1 \leq i \leq n+r} c_i \varrho_i = 0, c_i \geq 0$. Supposons que l'hypothèse suivante est vérifiée.

(*) Il existe i tel que $c_i > 0$, $-\varrho_i$ est un rayon de l'éventail et son coefficient dans \mathcal{P} est non-nul.

Soit a_1 le minimum de tous ces coefficients. Alors on peut séparer la relation $a_i \varrho_i + a_i(-\varrho_i) = 0$ dans \mathcal{P} et l'on obtient une autre relation positive centrée à coefficients plus petits. Continuons ce processus. À la fin on obtient soit la relation nulle, soit une relation positive centrée qui ne vérifie pas (*). Compte-tenu des éventails de X . Dans le dernier cas le nombre de rayons dans \mathcal{P}' la relation qui reste contient est soit 3 ou soit 4 (tout collection de 5 rayons contient des rayons opposées). Par énumération, à automorphisme près,

$$\mathcal{P}'(1) = \{\varrho_1, \varrho_2, \varrho_3\} \quad \text{ou} \quad \{\varrho_1, \varrho_2, \varrho_3, \varrho_7\}.$$

Il est routine de vérifier que dans le second cas la relation peut être décomposée davantage en les deux relations de 3 rayons $\{\varrho_1, \varrho_2, \varrho_3\}$ et $\{\varrho_2, \varrho_3, \varrho_7\}$ dont le degré est respectivement 3 et 4. \square

Remarque B.4. La décomposition d'une relation positive en somme de celles de plus petit degré n'est pas unique.

Avant de poursuivre des analyses, nous esquissons l'idée principale. En effet, choisissons une coordonnée de Cox (B.6)

$$\left(\frac{\prod_{i \in I^+} X_i^{a_{I,i}}}{\prod_{j \in I^-} X_j^{a_{I,j}}} \right)_{1 \leq I \leq \dim X}$$

et supposons que

(**) il existe I tel que pour tout $i \in I^+$ et $j \in I^-$, les rayons ϱ_i, ϱ_j n'appartiennent pas à un cône maximal.

Étant donné une famille de polynômes homogènes $\{f_k(u, v)\}$ à deux variables paramétrant une courbe rationnelle $f : \mathbf{P}^1 \rightarrow X$ telle que $\mathcal{M}_Q^{\text{res}} = N$ en $Q = (1, \dots, 1)$, (on note parfois $X_i^{a_{I,i}}(f) = f_i^{a_{I,i}}$) ceci implique que le polynôme

$$\prod_{i \in I^+} X_i^{a_{I,i}}(f) - \prod_{j \in I^-} X_j^{a_{I,j}}(f) = \prod_{i \in I^+} f_i^{a_{I,i}} - \prod_{j \in I^-} f_j^{a_{I,j}}$$

est divisible par des facteurs disons $(u - av)^N$ ou $F_2(u, v)^{\frac{N}{2}}$ où $a \in k$ et F_2 l'homogénéisation de (A.2) avec $m \geq 2$. Dans tous les cas, grâce à la condition de co-primalité (B.7) et la condition (**), nous avons

$$(B.8) \quad \sum_{i \in I^+} a_{I,i} \deg f_i \left(= \sum_{j \in I^-} a_{I,j} \deg f_j \right) \geq N.$$

Car sinon on aurait $\prod_{i \in I^+} f_i^{a_{I,i}} = \prod_{j \in I^-} f_j^{a_{I,j}}$, ce qui est absurde grâce à (B.7) et donc les polynômes f_i, f_j pour $i \in I^+, j \in I^-$ sont premiers deux à deux. Considérant plus de coordonnées de Cox nous permet d'obtenir plus de contraintes sur le multi-degré.

Convention : Quand on dit qu'une courbe ayant la multiplicité restrictive $\mathcal{M}_Q^{\text{res}}$ est très libre, on prétend que cette courbe puisse être déformation en conservant cette multiplicité.

B.3.1. *Les surfaces \mathbf{P}^2, X_1, X_2 .* Nous ne donnerons que le raisonnement pour X_2 car en effet cela suffira pour tous les cas dont nous discutons ici. Rappelons le résultat suivant énoncé par S. Pagelot (cf. [23] Théorème 7.1).

Théorème B.5. *Nous avons $\alpha_{\text{ess}}(Q, X_2) = 3$. Soient l_1, l_2 les transformations strictes des droites joignant Q et chacun des points éclatés dans \mathbf{P}^2 et $U = X_2 \setminus \cup_{i=0}^2 l_i$. Nous avons*

$$\frac{1}{B^{\frac{1}{3}}} \delta_{U, Q, 3, B} \rightarrow \delta_3$$

une mesure de dimension de Hausdorff 1.

Nous allons montrer que $\alpha_{\text{ess}}(Q)$ ne peut qu'être atteinte sur les droites générales passant par Q et *a fortiori* $l_r(X)$ pour $r = \alpha_{\text{ess}} = 3$ (la valeur critique) est égal au rang du sous-groupe engendré par la classes de ces droites et vaut donc 1. Les courbes singulières apparaissent en premier dans $|\omega_X^{-1}|$ de degré ≥ 7 . Elles sont négligeables dans le zoom critique (de facteur 3). Voyons le Figure 2 l'éventail de X_2 . Soient

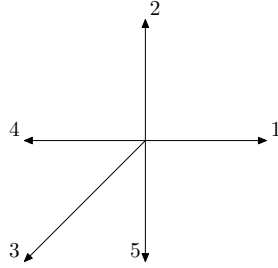


FIGURE 2. L'éventail de X_2

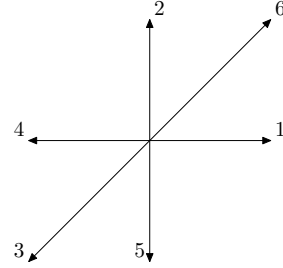


FIGURE 3. L'éventail de X_3

$$\mathcal{P}_1 : \varrho_1 + \varrho_4 = 0, \quad \mathcal{P}_2 : \varrho_3 + \varrho_5 = 0, \quad \mathcal{P}_3 : \varrho_1 + \varrho_2 + \varrho_3 = 0.$$

les relations positives irréductibles. La troisième correspond à la tiré en arrière de $\mathcal{O}(3)$ sur \mathbf{P}^2 . Nous avons d'après le lemme B.3,

$$N_{\mathcal{T}}(X_2) = \mathbf{N}C_1 + \mathbf{N}C_2 + \mathbf{N}C_3.$$

Prenons les rayons ϱ_1, ϱ_2 . Ils nous donnent les coordonnées de Cox

$$(X_1, \dots, X_5) \mapsto \left(\frac{X_1}{X_3 X_4}, \frac{X_2}{X_3 X_5} \right).$$

Proposition B.6. *Les courbes rationnelles de degré N dont $\mathcal{M}_Q^{\text{res}} \geq \frac{N}{3}$ appartiennent à la classe de \mathcal{P}_3 (i.e. la tiré en arrière de $\omega_{\mathbf{P}^2}^{-1}$). Par conséquent, nous avons $3 \mid N$ et $\mathcal{M}_Q^{\text{res}} = \frac{N}{3}$.*

Démonstration. Supposons qu'une telle courbe $f : \mathbf{P}^1 \rightarrow X_2$ est de relation

$$\sum_{i=1}^3 m_i \mathcal{P}_i = 0 \Leftrightarrow (m_1 + m_3)\varrho_1 + (m_2 + m_3)\varrho_2 + m_3\varrho_3 + m_1\varrho_4 + m_2\varrho_5 = 0,$$

dont la classe est paramétrée par $\mathbf{m} = (m_1, m_2, m_3) \in \mathbf{N}^3$. Elle est donc de degré

$$N = 2(m_1 + m_2) + 3m_3.$$

Depuis l'éventail de X_2 , nous obtenons la condition de co-primalité

$$\text{pgcd}(X_1(f), X_i(f)) = \text{pgcd}(X_2(f), X_j(f)) = 1, \quad i = 3, 4; \quad j = 3, 5,$$

ainsi que les inégalités suivantes

$$\deg X_1(f) = m_1 + m_3 \geq \frac{N}{3}, \quad \deg X_2(f) = m_2 + m_3 \geq \frac{N}{3}.$$

Les solutions sont $m_1 = m_2 = 0, m_3 = \frac{N}{3}$ et d'où $3 \mid N$. On peut supposer que f est birationnel sur son image (sinon il suffit de considérer sa factorisation en la partie birationnelle). Cette courbe est donc la transformation stricte d'une courbe C de $\mathcal{O}(1)$ -degré m_3 sur \mathbf{P}^2 . Si C serait singulière en Q de multiplicité r , d'après la formule de Plücker sur le genre arithmétique, nous aurions

$$\frac{1}{2}(m_3 - 1)(m_3 - 2) \geq \frac{1}{2}r(r - 1).$$

Cela impliquerait que $\mathcal{M}_Q^{\text{res}} \leq r < m_3 = \frac{N}{3}$ si $m_3 > 2$, ce qui contredit l'hypothèse initiale. Donc C doit être soit une conique ($m_3 = 2$), soit une droite ($m_3 = 1$). Mais seulement le dernier cas est possible puisque C est lisse et donc $\frac{N}{3} = m_3 = 1$. \square

B.3.2. La surface $\mathbf{P}^1 \times \mathbf{P}^1$. Nous racontons d'abord les résultats sur la distribution locale de ces deux surfaces.

Théorème B.7 ([34]). $\alpha_{\text{ess}}(Q, \mathbf{P}^1 \times \mathbf{P}^1) = 4$. Soient l_1, l_2 les droites de degré 2 passant par Q sur $\mathbf{P}^1 \times \mathbf{P}^1$. Sur $U = \mathbf{P}^1 \times \mathbf{P}^1 \setminus (l_1 \cup l_2)$, nous avons

$$\frac{1}{B^{\frac{1}{4}}} \delta_{U, Q, 4, B} \rightarrow \delta_4,$$

une mesure de dimension de Hausdorff 2.

Maintenant le but est de démontrer que $l_4(\mathbf{P}^1 \times \mathbf{P}^1) = 1$. Rappelons les familles de courbes (3.13) et (3.15). Elles appartiennent à la classes $[\omega_{\mathbf{P}^1 \times \mathbf{P}^1}^{-1}]$ (resp. $[\omega_{X_3}^{-1}]$). À l'aide des processus dans la section B.2, les courbes ayant des multiplicités restrictives arbitrairement grandes existent.

Proposition B.8. Les classes représentant des courbes rationnelles de degré N dont $\mathcal{M}_Q^{\text{res}} \geq \frac{1}{4}N$ sont $\frac{N}{4}[\omega_{\mathbf{P}^1 \times \mathbf{P}^1}^{-1}]$, $N \in 4\mathbf{N}_{\geq 1}$. Par conséquent,

$$l_4(\mathbf{P}^1 \times \mathbf{P}^1) = \text{rg } \mathbf{Z}[\omega_{\mathbf{P}^1 \times \mathbf{P}^1}^{-1}] = 1.$$

Démonstration. Nous avons $\text{Pic}(\mathbf{P}^1 \times \mathbf{P}^1) = \mathbf{Z}p_1^* \mathcal{O}_{\mathbf{P}^1}(1) \oplus \mathbf{Z}p_2^* \mathcal{O}_{\mathbf{P}^1}(1)$. Soit $f : \mathbf{P}^1 \rightarrow \mathbf{P}^1 \times \mathbf{P}^1$ une courbe rationnelle de classe $\mathcal{O}(m_1, m_2)$. Elle est de degré $N = 2(m_1 + m_2)$ et vérifie

$$f^* T_{\mathbf{P}^1 \times \mathbf{P}^1} \simeq \mathcal{O}(m_1) \oplus \mathcal{O}(m_2).$$

La condition de très liberté et de multiplicité $\geq \frac{1}{4}N = \frac{1}{2}(m_1 + m_2)$ entraîne que

$$\min(m_1, m_2) \geq \frac{1}{2}(m_1 + m_2),$$

d'où $m_1 = m_2$ et donc $N = 4m_1$. \square

B.3.3. La surface X_3 . Rappelons le résultat principal de [23].

Théorème B.9 ([23], Théorème 1.5). $\alpha_{\text{ess}}(Q, X_3) = 3$. Soient $l_i, 1 \leq i \leq 3$ les droites de degré 2 passant par Q et $U = X_3 \setminus (\cup_{i=1}^3 l_i)$. Nous avons

$$\frac{1}{B^{\frac{1}{3}} \log B} \delta_{U, Q, 3, B} \rightarrow \delta_3,$$

une mesure de dimension de Hausdorff 2.

La situation ici est différente. Les (transformations strictes) des droites générales (ne passant par les 3 points éclatés), dont classe est notée C_1 et les coniques passant par ces points éclatés, dont classe est notée C_2 , achèvent la constante essentielle 3 mais elles ne sont pas algébriquement équivalentes. La classe des courbes (3.15) et (3.13) est exactement $C_1 + C_2$ et ainsi toutes les courbes construites par composition avec les revêtements ramifiés $\mathbf{P}^1 \rightarrow \mathbf{P}^1$ ont leur classes engendrées par C_1 et C_2 . Il s'agit maintenant de démontrer :

Proposition B.10. Les classes des courbes rationnelles de degré N dont $\mathcal{M}_Q^{\text{res}} \geq \frac{1}{3}N$ appartiennent au sous-groupe $\langle C_1, C_2 \rangle$ de $N_1(X)$. Par conséquent, $3 \mid N$, $\mathcal{M}_Q^{\text{res}} = \frac{N}{3}$ et

$$l_3(X_3) = \text{rg}(\mathbf{Z}P_2 \oplus \mathbf{Z}P_4) = 2.$$

Démonstration. De la structure de l'éventail de X_3 (Figure 3), les relations *irréductibles* positives de degré ≤ 4 sont

$$\begin{aligned} \mathcal{P}_1 : \varrho_1 + \varrho_4 = 0, \quad \mathcal{P}_2 : \varrho_2 + \varrho_5 = 0, \quad \mathcal{P}_3 : \varrho_3 + \varrho_6 = 0; \\ \mathcal{P}_4 : \varrho_1 + \varrho_2 + \varrho_3 = 0, \quad \mathcal{P}_5 : \varrho_4 + \varrho_5 + \varrho_6 = 0. \end{aligned}$$

Nous avons alors

$$N_\tau(X_3) = \sum_{i=1}^5 \mathbf{N} \mathcal{P}_i.$$

Tout 1-cycle est paramétré par un multiple $\mathbf{m} = (m_1, \dots, m_5)$ avec $m_i \in \mathbf{N}$. Remarquons que deux paramètres peuvent correspondre à une même classe, e.g. $(1, 1, 1, 0, 0)$ et $(0, 0, 0, 1, 1)$ donnent la même relation $\sum_{i=1}^6 \varrho_i = 0$. Les classes de $\mathcal{P}_4, \mathcal{P}_5$ sont exactement C_1, C_2 .

Prenons les rayons $\{\varrho_1, \varrho_2\}$. Les coordonnées de Cox sont données par

$$(X_1, \dots, X_6) \mapsto (y_1, y_2) = \left(\frac{X_1 X_6}{X_3 X_4}, \frac{X_2 X_6}{X_3 X_5} \right).$$

D'où on obtient aussi une troisième coordonnée de Cox :

$$y_3 = \frac{y_1}{y_2} = \left(\frac{X_1 X_5}{X_2 X_4} \right)$$

Définir une courbe rationnelle très libre paramétrée par $\mathbf{m} = (m_1, \dots, m_5)$ équivaut à donner une famille de polynômes $f_i(u, v)$ à deux variables dont les degrés homogènes vérifient

$$\begin{aligned} \deg f_1 = m_1 + m_4, \quad \deg f_2 = m_2 + m_4, \quad \deg f_3 = m_3 + m_4, \\ \deg f_4 = m_1 + m_5, \quad \deg f_5 = m_2 + m_5, \quad \deg f_6 = m_3 + m_5; \end{aligned}$$

Ils doivent aussi vérifier les conditions de co-primalité (B.7) :

$$\begin{aligned} \text{pgcd}(f_1, f_i) = \text{pgcd}(f_6, f_i) = 1, \quad i = 3, 4; \\ \text{pgcd}(f_2, f_i) = \text{pgcd}(f_6, f_i) = 1, \quad i = 3, 5; \\ \text{pgcd}(f_1, f_i) = \text{pgcd}(f_5, f_i) = 1, \quad i = 2, 4. \end{aligned}$$

Elle est de degré anti-canonique

$$N = 2(m_1 + m_2 + m_3) + 3(m_4 + m_5).$$

Pour qu'elle soit très libre et $\mathcal{M}_Q^{\text{res}} \geq \frac{1}{3}N$, il faut que les degrés de ces polynômes vérifient (d'après (B.8))

$$(B.9) \quad \min(\deg f_1 + \deg f_6, \deg f_2 + \deg f_6, \deg f_1 + \deg f_5) \geq \frac{1}{3}N.$$

Ceci s'écrit en les inégalités suivantes.

$$(B.10) \quad m_1 + m_3 \geq 2m_2, \quad m_1 + m_2 \geq 2m_3, \quad m_2 + m_3 \geq 2m_1.$$

Nous vérifions facilement qu'elles équivalent à

$$m_1 = m_2 = m_3.$$

Nous en concluons alors que la relation représentant une telle courbe est de la forme

$$\sum_{i=1}^5 m_i \mathcal{P}_i = 0 \Leftrightarrow (m_1 + m_4) \mathcal{P}_4 + (m_1 + m_5) \mathcal{P}_5 = 0.$$

Nous avons aussi

$$N = 6m_1 + 3(m_4 + m_5),$$

et donc inégalité (B.9) est en fait une égalité, ce qui implique que plus grand possible $\mathcal{M}_Q^{\text{res}}$ est exactement $\frac{N}{3}$. \square

B.3.4. *La surface* Y_3 . Puisque que l'ordre de grandeur dans le théorème 1.2 est $B^{\frac{1}{5}}$, nous démontrons

Proposition B.11. *Les classes représentant une courbe rationnelle de degré N dont $\mathcal{M}_Q^{\text{res}} \geq \frac{2}{5}N$ sont $\frac{1}{5}N[\omega_{Y_3}^{-1}]$. Nous avons alors $\mathcal{M}_Q^{\text{res}} = \frac{2}{5}N$ et*

$$l_{\frac{5}{2}}(Y_3) = \text{rg } \mathbf{Z}[\omega_{Y_3}^{-1}] = 1.$$

Démonstration. Au vu de l'éventail de Y_3 (Figure 1), il y a les relations positives irréductibles de degré ≤ 4 suivantes.

$$\begin{aligned} \mathcal{P}_1 : \varrho_1 + \varrho_4 &= 0, & \mathcal{P}_2 : \varrho_2 + \varrho_5 &= 0, & \mathcal{P}_3 : \varrho_3 + \varrho_6 &= 0; \\ \mathcal{P}_4 : \varrho_1 + \varrho_2 + \varrho_3 &= 0, & \mathcal{P}_5 : \varrho_4 + \varrho_5 + \varrho_6 &= 0, & \mathcal{P}_6 : \varrho_2 + \varrho_4 + \varrho_7 &= 0; \\ \mathcal{P}_7 : 2\varrho_2 + \varrho_3 + \varrho_7 &= 0, & \mathcal{P}_8 : 2\varrho_4 + \varrho_6 + \varrho_7 &= 0. \end{aligned}$$

D'après le lemme B.3, nous avons

$$N_{\mathcal{T}}(Y_3) = \sum_{i=1}^8 \mathbf{N}\mathcal{P}_i.$$

En particulier,

$$[\omega_{Y_3}^{-1}] = \varrho_2 + \varrho_3 + \varrho_4 + \varrho_6 + \varrho_7.$$

Ainsi tout 1-cycle est paramétré par un multiple $\mathbf{m} = (m_1, \dots, m_8)$ avec $m_i \in \mathbf{N}$ à 8 paramètres (Rappelons que cette paramétrisation n'est pas unique). Un tel cycle est de degré

$$N_{\mathbf{m}} = 2(m_1 + m_2 + m_3) + 3(m_4 + m_5 + m_6) + 4(m_7 + m_8).$$

Nous allons démontrer que $\mathcal{M}_Q^{\text{res}} \geq \frac{2}{5}N_{\mathbf{m}}$ si et seulement si

$$(B.11) \quad m_1 = m_2 = m_4 = m_5 = 0, \quad m_7 = m_8 \quad \text{et} \quad m_3 = m_6 + m_7.$$

Une relation dont le paramètre \mathbf{m} vérifiant (B.11) s'écrit donc

$$\begin{aligned} 0 &= m_7(2\varrho_2 + \varrho_3 + \varrho_7) + m_8(2\varrho_4 + \varrho_6 + \varrho_7) + m_6(\varrho_2 + \varrho_4 + \varrho_7) + m_3(\varrho_3 + \varrho_6) \\ &= (2m_7 + m_6)(\varrho_2 + \varrho_3 + \varrho_4 + \varrho_6 + \varrho_7). \end{aligned}$$

Elle est bien un multiple de $[\omega_{Y_3}^{-1}]$. De plus

$$N_{\mathbf{m}} = 5m_6 + 10m_7$$

vérifie $5 \mid N_{\mathbf{m}}$.

La preuve suivante consiste à analyser la paramétrisation donnée par le torseur universel de base $\{\varrho_1, \varrho_2\}$.

$$(X_1, \dots, X_7) \mapsto (y_1, y_2) = \left(\frac{X_1 X_6 X_7}{X_3 X_4}, \frac{X_2 X_6}{X_3 X_5 X_7} \right).$$

Troisième coordonnée :

$$y_3 = \frac{y_1}{y_2} = \frac{X_1 X_5 X_7^2}{X_2 X_4}.$$

Une relation $\sum_{i=1}^8 m_i \mathcal{P}_i = 0$ s'écrit

$$\begin{aligned} (m_1 + m_4)\varrho_1 + (m_2 + m_4 + m_6 + 2m_8)\varrho_2 + (m_3 + m_4 + m_8)\varrho_3 \\ + (m_1 + m_5 + m_6 + 2m_7)\varrho_4 + (m_2 + m_5)\varrho_5 + (m_3 + m_5 + m_7)\varrho_6 + (m_6 + m_7 + m_8)\varrho_7 = 0. \end{aligned}$$

Étant donné 7 polynômes homogènes à deux variables $f_i(u, v)$, $1 \leq i \leq 7$ de degré respectivement

$$\begin{aligned} \deg f_1 &= m_1 + m_4, & \deg f_2 &= m_2 + m_4 + m_6 + 2m_8, \\ \deg f_3 &= m_3 + m_4 + m_8, & \deg f_4 &= m_1 + m_5 + m_6 + 2m_7, \\ \deg f_5 &= m_2 + m_5, & \deg f_6 &= m_3 + m_5 + m_7, & \deg f_7 &= m_6 + m_7 + m_8. \end{aligned}$$

Pour qu'ils définissent une courbe rationnelles, la condition de co-primalité

$$\begin{aligned} \text{pgcd}(f_3, f_i) &= \text{pgcd}(f_4, f_i) = 1, & i &= 1, 6, 7; \\ \text{pgcd}(f_2, f_i) &= \text{pgcd}(f_6, f_i) = 1, & i &= 3, 5, 7; \\ \text{pgcd}(f_2, f_i) &= \text{pgcd}(f_4, f_i) = 1, & i &= 1, 5, 7. \end{aligned}$$

En imposant la condition que la courbe ait la multiplicité restrictive $\geq \frac{2}{5}N_{\mathbf{m}}$, nous obtenons

$$\min(\deg f_2 + \deg f_4, \deg f_3 + \deg f_4, \deg f_2 + \deg f_6) \geq \frac{2}{5}N_{\mathbf{m}},$$

d'où nous déduisons le système d'inégalités suivantes

$$(B.12) \quad m_1 + m_3 + 2m_7 \geq 4m_2 + m_4 + m_5 + m_6 + 3m_8;$$

$$(B.13) \quad m_2 + m_3 + 2m_8 \geq 4m_1 + m_4 + m_5 + m_6 + 3m_7;$$

$$(B.14) \quad m_1 + m_2 + 2(m_7 + m_8) + 4m_6 \geq m_4 + m_5 + 4m_3.$$

Les inéquations (B.12) + (B.13) entraînent

$$2m_3 \geq 3(m_1 + m_2) + 2(m_4 + m_5 + m_6) + m_7 + m_8.$$

En reportant dans (B.14) et en éliminant m_3 et m_6 , nous obtenons

$$6(m_1 + m_2) + 4(m_4 + m_5) \leq -(m_4 + m_5) + (m_1 + m_2).$$

La seule solution est $m_1 = m_2 = m_4 = m_5 = 0$. Alors les inégalités (B.12), (B.13), (B.14) s'écrivent maintenant

$$(B.15) \quad m_3 + 2m_7 \geq m_6 + 3m_8;$$

$$(B.16) \quad m_3 + 2m_8 \geq m_6 + 3m_7;$$

$$(B.17) \quad m_7 + m_8 + 2m_6 \geq 2m_3.$$

Les dernières deux impliquent, en éliminant $m_3 - m_6$, que $m_7 = m_8$, ainsi que $m_3 = m_6 + m_7$. C'est ce qui fallait démontrer. \square

B.3.5. La surface Y_4 . Énonçons le résultat pour Y_4 démontré dans [22]. Il s'agit ici d'une vérification de la formule faible (1.3).

Théorème B.12 ([22], Théorème 1.2). $\alpha_{\text{ess}}(Q, Y_4) = 2$. Soient $l_i, 1 \leq i \leq 4$ les droites de degré 2 passant par Q et $U = Y_4 \setminus (\cup_{i=1}^4 l_i)$. Alors $\alpha(U, Q) = \alpha_{\text{ess}}(Q, Y_4) = 2$ et

$$\delta_{U, Q, 2, B}(\chi(\varepsilon)) = O_\varepsilon(1).$$

Alors le but est à prouver

Proposition B.13. La seule classe de degré N représentant des courbes rationnelles très libres dont $\mathcal{M}_Q^{\text{res}} \geq \frac{N}{2}$ vérifient $4 \mid N$ et elle est $\frac{N}{4}[\omega_{Y_4}^{-1}]$. De plus, $\mathcal{M}_Q^{\text{res}} = \frac{N}{2}$ et une telle courbe ne peut avoir pas la multiplicité de type cuspidale. Par conséquent,

$$l_2(Y_4) = \text{rg } \mathbf{Z}[\omega_{Y_4}^{-1}] = 1.$$

En effet, toutes ces courbes sont dans la famille de courbes (3.15) avec toutes les déformations des composées avec les revêtements multiples.

Démonstration. L'éventail de Y_4 est dans la Figure 1. Il y a 12 relations positives de degré ≤ 4 :

$$\begin{aligned} \mathcal{P}_1 : \varrho_1 + \varrho_4 = 0, \quad \mathcal{P}_2 : \varrho_2 + \varrho_5 = 0, \quad \mathcal{P}_3 : \varrho_3 + \varrho_6 = 0, \quad \mathcal{P}_4 : \varrho_7 + \varrho_8 = 0; \\ \mathcal{P}_5 : \varrho_1 + \varrho_2 + \varrho_3 = 0, \quad \mathcal{P}_6 : \varrho_4 + \varrho_5 + \varrho_6 = 0, \quad \mathcal{P}_7 : \varrho_2 + \varrho_4 + \varrho_7 = 0, \quad \mathcal{P}_8 : \varrho_1 + \varrho_5 + \varrho_8 = 0; \\ \mathcal{P}_9 : 2\varrho_1 + \varrho_3 + \varrho_8 = 0, \quad \mathcal{P}_{10} : 2\varrho_2 + \varrho_3 + \varrho_7 = 0, \\ \mathcal{P}_{11} : 2\varrho_4 + \varrho_6 + \varrho_7 = 0, \quad \mathcal{P}_{12} : 2\varrho_5 + \varrho_6 + \varrho_8 = 0. \end{aligned}$$

Une classe dans $N_\tau(X)$ est donc paramétrée par un multi-indice de 12 paramètres $\mathbf{m} = (m_1, \dots, m_{12})$:

$$\begin{aligned} \sum_{i=1}^{12} m_i \mathcal{P}_i = 0 \Leftrightarrow & (m_1 + m_5 + m_8 + 2m_9)\varrho_1 + (m_2 + m_5 + m_7 + 2m_{10})\varrho_2 \\ & + (m_3 + m_5 + m_9 + m_{10})\varrho_3 + (m_1 + m_6 + m_7 + 2m_{11})\varrho_4 \\ & + (m_2 + m_6 + m_8 + 2m_{12})\varrho_5 + (m_3 + m_6 + m_{11} + m_{12})\varrho_6 \\ & + (m_4 + m_7 + m_{10} + m_{11})\varrho_7 + (m_4 + m_8 + m_9 + m_{12})\varrho_8 = 0. \end{aligned}$$

Nous avons donc

$$N = 2 \sum_{i=1}^4 m_i + 3 \sum_{i=5}^8 m_i + 4 \sum_{i=9}^{12} m_i.$$

La classe anti-canonique est

$$[\omega_{Y_4}^{-1}] : \mathcal{P}_3 + \mathcal{P}_4 \Leftrightarrow \varrho_3 + \varrho_6 + \varrho_7 + \varrho_8 = 0.$$

Nous allons démontrer qu'une telle relation d'indice m vérifie $m_3 = m_4 \neq 0$ et

$$(B.18) \quad m_1 = m_2 = m_5 = m_6 = \cdots = m_{12} = 0.$$

En conséquence cette relation est un multiple de celle de $[\omega_{Y_4}^{-1}]$ et $N = 4m_3$.

En choisissant les rayons ϱ_1, ϱ_2 , nous obtenons les coordonnées de Cox comme d'habitude

$$(X_1, \dots, X_8) \mapsto \left(\frac{X_1 X_6 X_7}{X_3 X_4 X_8}, \frac{X_2 X_6 X_8}{X_3 X_5 X_7} \right),$$

nous obtenons les conditions de co-primalité comme suit :

$$\text{pgcd}(f_1, f_i) = \text{pgcd}(f_6, f_i) = \text{pgcd}(f_7, f_i) = 1, \quad i = 3, 4, 8;$$

$$\text{pgcd}(f_2, f_i) = \text{pgcd}(f_6, f_i) = \text{pgcd}(f_8, f_i) = 1, \quad i = 3, 5, 7.$$

En l'utilisant nous sommes ramené à résoudre des inégalités déduites des coordonnées de Cox :

$$\deg f_1 + \deg f_6 + \deg f_7 = m_1 + \sum_{i=1}^8 m_i + 2m_9 + m_{10} + 2m_{11} + m_{12} \geq \frac{N}{2},$$

$$\deg f_2 + \deg f_6 + \deg f_8 = m_2 + \sum_{i=1}^8 m_i + m_9 + 2m_{10} + 2m_{11} + m_{12} \geq \frac{N}{2}.$$

Nous en déduisons (B.18).

Soit $f : \mathbf{P}^1 \rightarrow X$ une telle courbe. Nous devons avoir

$$f^*T_X = \mathcal{O}\left(\frac{N}{2}\right) \oplus \mathcal{O}\left(\frac{N}{2}\right).$$

Pour garantir qu'elle soit très libre, il faut que $m_3 = m_4 (\neq 0)$, ce qui signifie bien que $4 \mid N$ et cette courbe appartient à la classe $\frac{N}{4}\omega_{Y_4}^{-1}$.

Au final pour voir que la multiplicité restrictive de f ne peut pas être cuspidale, on peut supposer que f est birationnel sur son image. Sinon il suffit de décomposer f en la partie ramifiée et la partie birationnelle et considérer la dernière. Nous voyons

$$N = \deg f^*T_X = \left(\frac{N}{2} - 1\right) \dim X + 2 < \left(\frac{N}{2} - 1\right) \dim X + 3.$$

L'affirmation découle donc du corollaire A.4. □

REMERCIEMENT

Ce travail fait suite de la thèse de doctorat de l'auteur réalisée à l'Université Grenoble Alpes. Il tient à remercier Emmanuel Peyre de son encouragement pendant ces années et David Bourqui de son intérêt qu'il a porté à ce projet. Ses reconnaissances s'adressent également à Régis de la Bretèche et Zhiyu Tian pour des discussions éclairantes. L'hospitalité du Max-Planck-Institut für Mathematik est sincèrement appréciée.

RÉFÉRENCES

- [1] Stephan Baier and Ulrich Derenthal. Quadratic congruences on average and rational points on cubic surfaces. *Acta Arithmetica*, 171(2) :145–171, 2015.
- [2] Victor V. Batyrev and Yuri Tschinkel. Rational points on some fano cubic bundles. *Comptes rendus de l'Académie des sciences. Série 1, Mathématique*, 323(1) :41–46, 1996.
- [3] Victor V. Batyrev and Yuri Tschinkel. Manin's conjecture for toric varieties. *J. Algebr. Geom.*, 7(1) :15–53, 1998.
- [4] David Bourqui. Algebraic points, non-anticanonical heights and the Severi problem on toric varieties. *Proc. Lond. Math. Soc. (3)*, 113(4) :474–514, 2016.
- [5] Tim Browning and Daniel Loughran. Sieving rational points on varieties. *arXiv :1705.01999*, 2017.
- [6] Timothy D. Browning. *Quantitative arithmetic of projective varieties*. Basel : Birkhäuser, 2009.
- [7] Jean-Louis Colliot-Thélène and Jean-Jacques Sansuc. La descente sur les variétés rationnelles. II. *Duke Math. J.*, 54 :375–492, 1987.
- [8] David A. Cox. The homogeneous coordinate ring of a toric variety. *J. Algebr. Geom.*, 4(1) :17–50, 1995.
- [9] David A. Cox, John B. Little, and Henry K. Schenck. *Toric varieties*, volume 124 of *Graduate Studies in Mathematics*. American Mathematical Society, Providence, RI, 2011.
- [10] Olivier Debarre. *Higher-dimensional algebraic geometry*. New York, NY : Springer, 2001.
- [11] Ulrich Derenthal. Singular del pezzo surfaces whose universal torsors are hypersurfaces. *Proceedings of the London Mathematical Society*, 108(3) :638–681, 2014.
- [12] J.-M. Deshouillers and H. Iwaniec. An additive divisor problem. *J. Lond. Math. Soc., II. Ser.*, 26 :1–14, 1982.

- [13] P. Erdős. On the sum $\sum_{k=1}^x d(f(k))$. *J. London Math. Soc.*, 27 :7–15, 1952.
- [14] Theodor Estermann. Über die darstellungen einer zahl als differenz von zwei produkten. *Journal für die reine und angewandte Mathematik*, 164 :173–182, 1931.
- [15] G.H. Hardy and E.M. Wright. An introduction to the theory of numbers. 5th ed. Oxford etc. : Oxford at the Clarendon Press. XVI, 426 p., 1979.
- [16] D. R. Heath-Brown. The growth rate of the Dedekind zeta-function on the critical line. *Acta Arith.*, 49(4) :323–339, 1988.
- [17] D.R. Heath-Brown. The fourth power moment of the Riemann zeta function. *Proc. Lond. Math. Soc. (3)*, 38 :385–422, 1979.
- [18] D.R. Heath-Brown. Diophantine approximation with square-free numbers. *Math. Z.*, 187 :335–344, 1984.
- [19] Christopher Hooley. On the representation of a number as the sum of a square and a product. *Mathematische Zeitschrift*, 69 :211–227, 1958.
- [20] Christopher Hooley. On the number of divisors of quadratic polynomials. *Acta Math.*, 110 :97–114, 1963.
- [21] Christopher Hooley. On the distribution of the roots of polynomial congruences. *Mathematika*, 11 :39–49, 1964.
- [22] Zhizhong Huang. Approximation diophantienne et distribution locale sur une surface torique. *arXiv :1703.01772*, 2017.
- [23] Zhizhong Huang. Distribution locale des points rationnels de hauteur bornée sur une surface de del pezzo de degré 6. *International Journal of Number Theory*, 13(07) :1895–1930, 2017.
- [24] A. E. Ingham. Some asymptotic formulae in the theory of numbers. *J. Lond. Math. Soc.*, 2 :202–208, 1927.
- [25] János Kollár. *Rational curves on algebraic varieties*, volume 32 of *Ergebnisse der Mathematik und ihrer Grenzgebiete. 3. Folge. A Series of Modern Surveys in Mathematics*. Springer-Verlag, Berlin, 1996.
- [26] Lauwerens Kuipers and Harald Niederreiter. *Uniform distribution of sequences*. Pure and Applied Mathematics. New York. John Wiley & Sons., xiv, 390 p., 1974.
- [27] Serge Lang. *Algebraic number theory*, volume 110 of *Graduate Texts in Mathematics*. Springer-Verlag, New York, second edition, 1994.
- [28] Cécile Le Rudulier. *Points algébriques de hauteur bornée*. PhD thesis, Université Rennes 1, 2014.
- [29] Brian Lehmann and Sho Tanimoto. Geometric manin’s conjecture and rational curves. *arXiv preprint arXiv :1702.08508*, 2017.
- [30] James McKee. A note on the number of divisors of quadratic polynomials. In *Sieve methods, exponential sums, and their applications in number theory. Proceedings of a symposium, Cardiff, UK, July 17–21, 1995*, pages 275–281. Cambridge : Cambridge University Press, 1997.
- [31] David McKinnon. A conjecture on rational approximations to rational points. *J. Algebr. Geom.*, 16(2) :257–303, 2007.
- [32] David McKinnon and Mike Roth. Seshadri constants, Diophantine approximation, and Roth’s theorem for arbitrary varieties. *Invent. Math.*, 200(2) :513–583, 2015.
- [33] W. Narkiewicz. *Number theory. Transl. from the Polish by S. Kanemitsu*. Singapore : World Scientific. xii, 371 p., 1983.
- [34] Sébastien Pagelot. *Étude de la distribution asymptotique fine des points rationnels de hauteur bornée*. Manuscrit non-publié. Université de Grenoble I, 2008.
- [35] Nicolas Perrin. Courbes rationnelles sur les variétés homogènes. *Ann. Inst. Fourier*, 52(1) :105–132, 2002.
- [36] Emmanuel Peyre. Points de hauteur bornée sur les variétés de drapeaux en caractéristique finie. *Acta Arith.*, 152(2) :185–216, 2012.
- [37] Emmanuel Peyre. Liberté et accumulation. *Doc. Math.*, 22 :1615–1659, 2017.
- [38] Per Salberger. Tamagawa measures on universal torsors and points of bounded height on Fano varieties. In *Nombre et répartition de points de hauteur bornée*, pages 91–258. Paris : Société Mathématique de France, 1998.
- [39] Jean-Pierre Serre. *Lectures on the Mordell-Weil theorem. Transl. and ed. by Martin Brown from notes by Michel Waldschmidt*. 3rd ed. Wiesbaden : Vieweg, 3rd ed. edition, 1997.
- [40] G. Tenenbaum. Sur une question d’Erdős et Schinzel. II. *Invent. Math.*, 99(1) :215–224, 1990.
- [41] Gérald Tenenbaum. *Introduction à la théorie analytique et probabiliste des nombres*. Paris : Société Mathématique de France, 2ème éd. edition, 1995.